

АЗӘРБАЙЧАН ССР ЕЛМЛӘР АКАДЕМИЈАСЫ
АКАДЕМИЯ НАУК АЗЕРБАЙДЖАНСКОЙ ССР

МӘРҮЗЭЛӘР ДОКЛАДЫ

ТОМ XXI ЧИЛД

10

АЗӘРБАЙЧАН ССР ЕЛМЛӘР АКАДЕМИЈАСЫ НӘШРИЈАТЫ
ИЗДАТЕЛЬСТВО АКАДЕМИИ НАУК АЗЕРБАЙДЖАНСКОЙ ССР

Бакы—1965—Баку

АЗЭРБАЙЧАН ССР ЕЛМЛЭР АКАДЕМИЈАСЫ
АКАДЕМИЯ НАУК АЗЕРБАЙДЖАНСКОЙ ССР

МЭРҮЗЭЛЭР ДОКЛАДЫ

ТОМ XXI ЧИЛД

№ 10

АЗЭРБАЙЧАН ССР ЕЛМЛЭР АКАДЕМИЈАСЫ НЭШРИЈАТЫ
ИЗДАТЕЛЬСТВО АКАДЕМИИ НАУК АЗЕРБАЙДЖАНСКОЙ ССР
БАКЫ—1965—БАКУ

Р. З. ХАЛИЛОВА

О СПЕКТРАЛЬНОЙ ФУНКЦИИ ПОЛУОГРАНИЧЕННОГО
САМОСОПРЯЖЕННОГО РАСШИРЕНИЯ ОБЫКНОВЕННОГО
ДИФФЕРЕНЦИАЛЬНОГО ОПЕРАТОРА

(Представлено академиком АН Азербайджанской ССР З. И. Халиловым)

Пусть H —совокупность сильно измеримых векторных функций, определенных R_1 , со значениями в гильбертовом пространстве H_1 таких, что

$$\int_{-\infty}^{\infty} \|f(x)\|^2_{H_1} dx < \infty.$$

Введем в H скалярное произведение:

$$[f_1, f_2] = \int_{-\infty}^{+\infty} (f_1(x), f_2(x))_{H_1} dx.$$

Норма есть

$$\|f\| = \left(\int_{-\infty}^{+\infty} \|f(x)\|^2_{H_1} dx \right)^{\frac{1}{2}}.$$

По такой норме H полон и есть, таким образом, гильбертово пространство.

C_0^k —линейное многообразие в H k -раз непрерывно сильно дифференцируемых финитных векторных функций. Определим на C_0^{2m} оператор L , порожденный обыкновенным дифференциальным выражением.

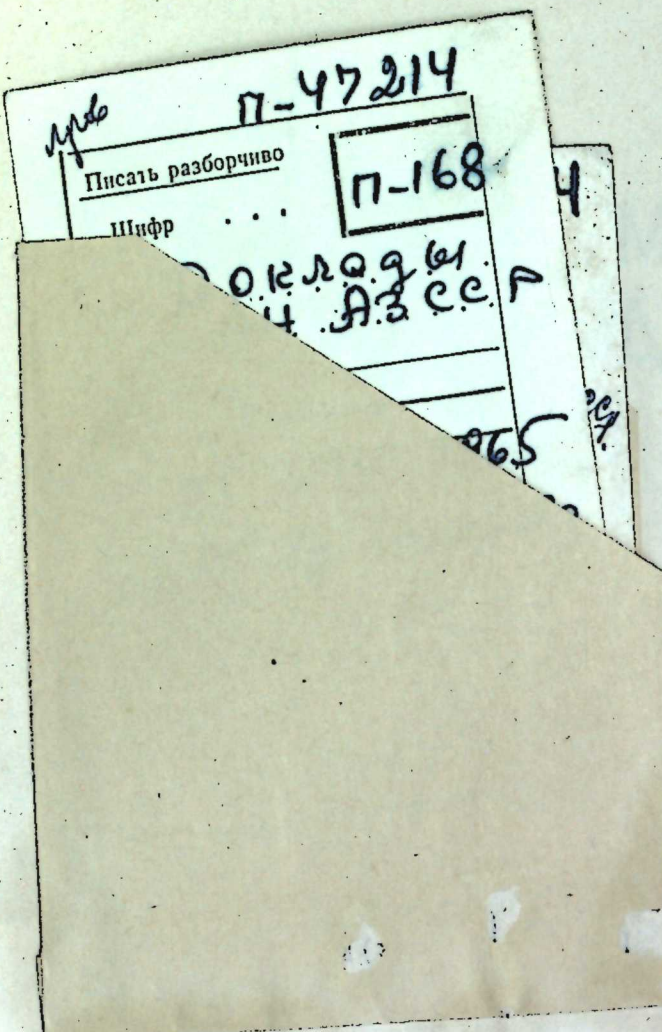
$$Lf = (-1)^m f^{(2m)}(x) + p_{2m-1}(x)f^{(2m-1)}(x) + \dots + p_0(x)f(x),$$

где производные понимаются в сильном смысле, а $p_i(x)$ при каждом x —ограниченный оператор в H_1 .

Пусть оператор L имеет самосопряженное полуограниченное расширение A и $\{E_\lambda\}$ —спектральное семейство оператора A . Положим

$$\theta(f_1, f_2, a) = \int_{-\infty}^{+\infty} a(\lambda) d[E_\lambda f_1, f_2], \quad f_1, f_2 \in H,$$

где $a(\lambda)$ принадлежит множеству $B=B(R_1)$ всех ограниченных измеримых по Борелю функций на вещественной оси.



Центральная научная
БИБЛИОТЕКА
Академии наук Киргизской ССР

РЕДАКЦИОННАЯ КОЛЛЕГИЯ: З. И. Халилов (главный редактор), Ш. А. Азизов, В. Р. Волобуев, Д. М. Гусейнов, И. А. Гусейнов, М. А. Дадашзаде (зам. главного редактора), М. А. Далин, Ч. М. Джуварлы, С. М. Кулиев, М. Ф. Нагиев (зам. главного редактора), М. А. Топчибашев, Г. Г. Зейналов (ответственный секретарь).

Адрес: г. Баку, Коммунистическая, 10, Редакция «Докладов Академии наук Азербайджанской ССР».

Отсюда в силу (2)

$$\left[\int \theta(x, x', \alpha) f_1(x) dx, f_2(x') \right] = \sum_{k=0,1} \theta(f_1(y), F_k(f_2, \cdot), \lambda^k \alpha).$$

Применяя аналогичные соображения в правой части, окончательно получим тождество:

$$\theta(f_1, f_2, \alpha) = \left[\int \theta(x, x', \alpha) f_1(x) dx, f_2(x') \right]. \quad (4)$$

Варьируя точки x_0 и x'_0 , на основании (3) и (4) заключаем, что спектральная мера $\theta(\alpha, f_1, f_2)$ задается посредством однозначно определяемого ядра-операторной функции $\theta(\alpha, x, x')$, непрерывного на $B_1 \times R \times R$. Если обозначить

$$\theta(\alpha, f_1, x') = \int \theta(\alpha, x, x') f_1(x) dx,$$

то видно, что $\theta(\alpha, f_1, x')$ является непрерывной векторной функцией на $B_1 \times H \times R$ так что, в частности,

$$\int \| \theta(\alpha, x, x') \|^2 dx < \infty.$$

Из соотношений (**) следует, что $\theta(\alpha, x, x')$ —симметричный оператор при действительном α и что этот оператор неотрицателен при $\alpha \geq 0$. Так как

$\theta(f_1, f_2, \alpha) = [\alpha(A)f_1, f_2]$, то из (4) и следует основное утверждение теоремы со всеми свойствами $\theta(\alpha, x, x')$. Выбрав теперь специальным образом $\alpha(\lambda)$, получим доказательство второй части теоремы. Действительно, по предположению A ограничен снизу, так что $F(\lambda) = 0$ при $\lambda < \lambda_0$ и

$$[E(\cdot) f_1, f_2] = \theta(\alpha_\mu, f_1, f_2), \quad (5)$$

где $\alpha_\mu(\lambda)$ —характеристическая функция интервала $\lambda_0 < \lambda \leq \mu$ при $\mu \geq \lambda_0$. Тогда

$$[E_\mu f_1, f_2] = \theta(\alpha_\mu, f_1, f_2) = \left[\int \theta(\alpha_\mu, x, x') f_1(x') dx', f_2(x) \right]$$

и, следовательно,

$$(E_\mu f_1)(x) = \int \theta(\alpha_\mu, x, x') f_1(x') dx' \quad (6),$$

Теорема полностью доказана. Положим $\theta(\alpha_\mu, x, y) = e(\lambda, x, y)$. Заметим что применяя спектральную операторную функцию $e(\lambda, x, y)$, можно написать

$$\theta(\alpha, x, y) = \int_{\lambda_0}^{\infty} \alpha(\lambda) de(\lambda, x, y). \quad (7)$$

Действительно,

$$\theta(\alpha, f, g) = \left[\int \theta(\alpha, x, y) f(x) dx, g(y) \right] = \int \alpha(\lambda) d[E_\lambda f, g].$$

$$\begin{aligned} \int \theta(\alpha, x, y) f(x) dx &= \int_{\lambda_0}^{\infty} \alpha(\lambda) dE_\lambda f(y) = \\ &= \int_{\lambda_0}^{\infty} \alpha(\lambda) d \int e(\lambda, x, y) f(x) dx = \int f(x) \left[\int_{\lambda_0}^{\infty} \alpha(\lambda) de(\lambda, x, y) \right] dx, \end{aligned}$$

откуда и следует (7).

В заключение рассмотрим задачу Коши

$$\frac{du(x, t)}{dt} = -Au; \quad u(x, 0) = \varphi(x), \quad (8)$$

где $u(x, t)$ при каждом x и t —есть искомый элемент гильбертова пространства, а $\varphi(x)$ —известная вектор-функция в H . Известно, что при имеющихся условиях на оператор A —самосопряженность, полуограниченность—решение уравнения (8) записывается в виде:

$$u(x, t) = e^{-it\alpha} \varphi(x).$$

Тогда для $\varphi, \psi \in H$

$$\begin{aligned} [e^{-it\alpha} \varphi(x), \psi(x)] &= \int_0^\infty e^{-it\lambda} d[E_\lambda \varphi, \psi] = \\ &= \int_0^\infty e^{-it\lambda} d \int_{-\infty}^{+\infty} (E_\lambda \varphi(x), \psi(x))_{H_1} dx = \\ &= \int_0^\infty e^{-it\lambda} d \int_{-\infty}^{+\infty} \left(\int e(x, y, \lambda) \varphi(y) dy, \psi(x) \right) dx = \\ &= \int_{-\infty}^{+\infty} \left(\int_{-\infty}^{+\infty} \int e(x, y, \lambda) \varphi(y) dy, \psi(x) \right) dx, \\ \text{т. е. } e^{-it\alpha} \varphi(x) &= \int_{-\infty}^{+\infty} \left(\int_0^\infty e^{-it\lambda} de(x, y, \lambda) \varphi(y) dy, \psi(x) \right) dx, \\ \text{т. е. } u(x, t) &= \int_{-\infty}^{+\infty} G(x, y, t) \varphi(y) dy, \\ \text{где } G(x, y, t) &= \int_0^\infty e^{-it\lambda} de(x, y, \lambda) \lambda = \end{aligned}$$

есть функция Грина задачи Коши (8).

Таким же образом можно написать выражение через спектральную функцию $e(\lambda, x, y)$ и для ядра $K(x, y, \lambda)$ резольвенты R_λ , которое естественно назвать функцией Грина

$$K(x, y, \lambda) = \int_0^\infty \frac{de(\xi, x, y)}{\xi - \lambda}.$$

Пользуюсь случаем выразить глубокую благодарность моему научному руководителю А. Г. Костюченко за постановку задачи и большое внимание к настоящей работе.

ЛИТЕРАТУРА

1. Гординг Л. С. ч. II. „Математика“ (сб. пер.) 1:3. 1957.

Институт математики и механики

Поступило 9. VII 1965

Р. З. Хэлилова

Ади диференциал операторун өз-өзүнә гошма јарыммәңдуд кенишләймәсинин спектрал функциясы һаггында

ХУЛАСӘ

Бу ишдә ади диференциал операторун $Lf = (-1)^m f^{(2m)}(x) + p_{2m-1}(x) f^{(2m-1)}(x) + \dots + p_0(x) f(x)$ өз-өзүнә гошма јарыммәңдуд кенишләймәсинин бә'зи спектрал хассәләри өјрәнилүр. Бурда x -ин һәр бир гијмәтиндә $f(x)$ һилберт фазасынын элементидир. Оператор L формал симметрикдир. Исбат едилүр ки, истәнилән чүт хәтли форма $(\alpha(A)f, f)$ бир оператор нүвәси $\theta(\alpha, x, y)$ -лә әмәлә кәлир вә бу заман $\alpha(x)$ мәңдуд функциядыр.

МАТЕМАТИКА

К. А. КЕРИМОВ

ОПРЕДЕЛЕНИЕ ДИНАМИЧЕСКОЙ ДИАГРАММЫ $\sigma(\epsilon)$
С ПЕРЕМЕННОЙ СКОРОСТЬЮ СОУДАРЕНИЯ

(Представлено академиком АН Азербайджанской ССР З. И. Халиловым)

Процесс распространения волн при плоском движении гибкой связи описывается системой нелинейных дифференциальных уравнений вида:

$$\rho_0 \frac{\partial^2 x}{\partial t^2} = \frac{\partial}{\partial S_0} \left[\frac{T}{1+\epsilon} \left(1 + \frac{\partial x}{\partial S_0} \right) \right]$$

$$\rho_0 \frac{\partial^2 y}{\partial t^2} = \frac{\partial}{\partial S_0} \left[\frac{T}{1+\epsilon} \left(\frac{\partial y}{\partial S_0} \right) \right],$$

где x, y — координаты вектора смещения; S_0 — лагранжиева координата частицы; T — натяжение, считается известной функцией относительного удлинения

$$\epsilon = \sqrt{\left(1 + \frac{\partial x}{\partial S_0} \right)^2 + \left(\frac{\partial y}{\partial S_0} \right)^2} - 1.$$

Решение этой системы представляет в математическом отношении весьма сложную задачу.

Указанная система допускает автомодельное решение, соответствующее движению при поперечном точечном ударе по бесконечной гибкой нити [1]. Задача поперечного удара с переменной скоростью соударения в общей постановке не решена. В частных постановках даны решения в работах [2], [3], [4].

В настоящей работе приводятся некоторые экспериментальные результаты по исследованию динамических характеристик материалов при поперечном ударе с переменной скоростью соударения и метод осуществления переменной скорости соударения.

Для получения динамического закона деформирования $\sigma(\epsilon)$ в случае нагрузки и разгрузки в [5, 6] были использованы точные решения задачи о поперечном ударе с постоянной скоростью по гибкой нити бесконечной длины. Метод построения динамической диаграммы $\sigma(\epsilon)$ основан на экспериментальной зависимости скоростей удара v_0 от угла излома, получаемой из фиксированных картин движения, соответствующих многократным дискретным ударам. Этот метод имеет то-

преимущество, что в данном случае эксперимент основан только на фиксации формы нити. Однако недостатком метода является необходимость осуществления большого числа дискретных ударов, что связано с большой трудоемкостью экспериментирования и большим расходом материала. Кроме того, на результаты таких экспериментов может повлиять неодинаковость образцов и другие факторы.

Предлагаемый метод однократного удара с переменной скоростью соударения не имеет названных недостатков. Для осуществления удара с переменной скоростью снаряд удлиняется до длины ствола (160 см) и вставляется в ствол пневмоускорителя так, чтобы наконечник снаряда перед ударом находился непосредственно у испытуемого образца материала. Большим давлением снаряд выталкивается, в результате чего скорость в процессе удара снаряда об испытуемый образец нарастает от нуля до критического значения.

Регистрация картины движения образца при этом производится скоростной киносъемкой. Обработка полученной киносъемки заключается в следующем: весь снимок разбивается на интервалы по времени с таким расчетом, чтобы за этот промежуток времени перемещение снаряда соответствовало целым делениям на шкале (от 1 до 5 см).

В пределах каждого интервала определяются средние значения скорости удара и угла излома.

Результаты обработки данных экспериментов над образцами из резины и каприона приведены на рис. 1. Здесь также приведены результаты обработки $v(t)$, полученные для того же материала в результате дискретных ударов (точки обозначены кружочками). Как видно из рис. 1, зависимости $v(\mu) = v$, полученные методом однократного

удара с переменной скоростью, совпадают с зависимостью, полученной дискретными ударами. Следовательно, полученная зависимость $v = v(\mu)$ позволяет построить динамическую диаграмму $\sigma(\epsilon)$ с использованием прежней методики, разработанной на основе точечного ре-

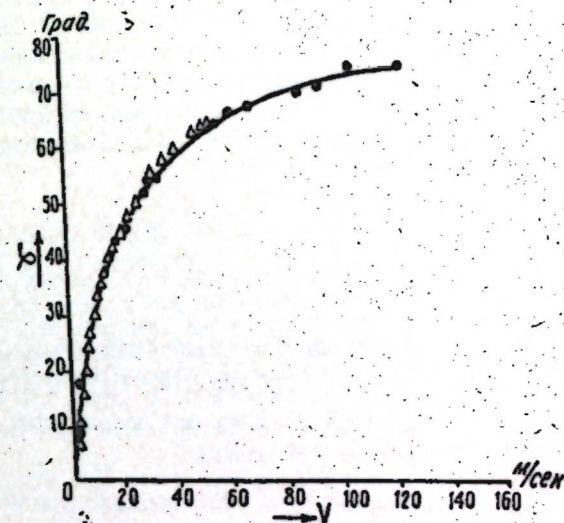


Рис. 1.

○ — экспериментальные точки при ударах с постоянной скоростью;
△ — экспериментальные точки при ударах с переменной скоростью.

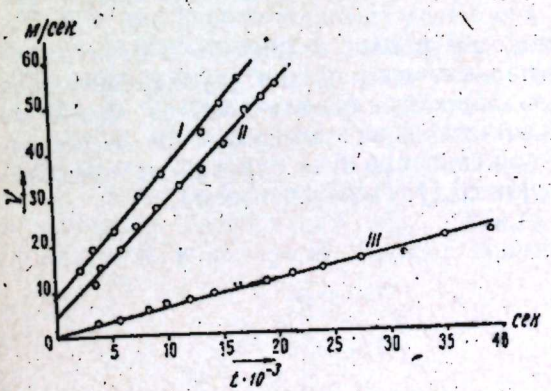


Рис. 2.
I — $v(t)$ для резины $d = 5$ мм;
II, III — $v(t)$ для резины $d = 3.25$ мм.

удара с переменной скоростью, совпадают с зависимостью, полученной дискретными ударами. Следовательно, полученная зависимость $v = v(\mu)$ позволяет построить динамическую диаграмму $\sigma(\epsilon)$ с использованием прежней методики, разработанной на основе точечного ре-

шения задач об ударе по гибкой нити с постоянной скоростью. Таким образом, установлена квазистационарность процесса удара с переменной во времени скоростью соударения. Динамический закон $\sigma(z)$, получаемый из многократных опытов с различными постоянными скоростями совпадает с законом $\sigma(z)$, получаемым из одного опыта с переменной скоростью, т. к. из опытов вытекает, что с достаточной точностью в каждый момент времени угол излома места определяется только мгновенной скоростью движения. Поэтому отсутствие решения задачи о поперечном ударе с переменной скоростью для обработки результатов не является препятствием.

Действительная картина движения подтверждает теоретически реализуемую схему (рис. 2).

ЛИТЕРАТУРА

- Рахматуллин Х. А. и Демьянов Ю. А. Прочность при интенсивных кратковременных нагрузках. М., 1951.
- Рахматуллин Х. А. Поперечный удар по гибкой нити с переменной скоростью. Уч. зап. МГУ, вып. 154, т. IV, 1951.
- Рябова Р. И. Поперечный удар с переменной скоростью по гибкой нити. Вестник МГУ, мех. № 10, 1953.
- Cristescu N. Symp. Held ad Brown University providence, B. 1, April, 3—5, 1963.
- Керимов К. А. Изв. АН Азерб ССР*, физ.-техн. серия, № 3, 1960.
- Керимов К. А. Изв. АН Азерб. ССР*, физ.-техн. серия, № 3, 1961.

Институт математики и механики

Поступило 21. VIII 1965

К. А. Керимов

Дәжишән сүр'етли зәrbәдә динамик кәркинлик-деформасија диаграмының тә'јини

ХУЛАСЭ

Мәгаләдә зәrbә заманы динамик јук тә'сири алтында материалларын хассәләринә hәср олунмуш тәчрубы тәдгигатын нәтичәләри ве-рилмишdir.

Мүэллиф тәрәфиндән динамик диаграмын тә'јини учун сабит сүр'етли енинә зәrbә мәсәләсинин hәллинә әсасланмыш үсүлдан истифадә едишлишdir. Белә ки, сабит вә дәжишән сүр'етли зәrbәдә сүр'эт вә сынма бучагы арасындакы асылылығын ejni олдуғу ашкара чыхарлымышдыр. Беләликлә, сабит вә дәжишән сүр'етли зәrbәдә материалларын динамик диаграммаларының ejni олдуғу көстәрилмишdir.

И. И. СЕМЕНОВА

К РЕШЕНИЮ ОСЕСИММЕТРИЧНОЙ ЗАДАЧИ О РАВНОВЕСИИ СЛОЯ ПЕРЕМЕННОЙ ТОЛЩИНЫ

(Представлено академиком АН Азербайджанской ССР З. И. Халиловым)

В [1] решена задача упругого равновесия в перемещениях для слоя переменной толщины, симметричного относительно плоскости $z=0$. Решения получены в виде рядов, расположенных по степеням расстояния z от срединной плоскости в зависимости от перемещений $u_0(x,y)$, $v_0(x,y)$, $w_0(x,y)$ и их производных $u'_0(x,y)$, $v'_0(x,y)$, $w'_0(x,y)$ по переменной z на срединной плоскости. Далее, в предположении, что свободный член в разложении для σ_z равен нулю, построена система дифференциальных уравнений бесконечно высокого порядка для определения функций $u_0(x,y)$, $v_0(x,y)$, $w_0(x,y)$, $u'_0(x,y)$, $v'_0(x,y)$ в зависимости от усилий, заданных на ограничивающих слой поверхностях.

В данной работе, исходя из соотношений, приведенных в [1], выведены дифференциальные уравнения осесимметричной задачи слоя переменной толщины и указан метод решения их, когда ограничивающие поверхности имеют коническую форму, а проекции на оси координат (r, z) действующих на торцах усилий, отнесенных к единице площади, представимы в виде полиномов по положительным и отрицательным степеням полярного радиуса r .

В обозначениях работы [1], учитывая выражения, связывающие компоненты напряжений для осесимметричной задачи, записанные в декартовой и полярной системе координат, и, полагая

$$\begin{aligned} u'_0 &= x\varphi(r) & u_0 &= x\alpha(r) \\ v'_0 &= y\varphi(r) & v_0 &= y\alpha(r), \\ w_0 &= f(r) \end{aligned}$$

получим систему пяти независимых дифференциальных уравнений бесконечно высокого порядка относительно восьми неизвестных функций $\alpha(r)$, $\varphi(r)$, $f(r)$, $T_r(r)$, $T_\theta(r)$, $G_r(r)$, $G_\theta(r)$, $N_r(r)$. Присоединяя к ним три дифференциальных уравнения (13) и (16) работы [1], получим замкнутую систему уравнений.

Эта система распадается на две независимые системы:

1) для функций $\alpha(r)$, $T_r(r)$, $T_\theta(r)$

$$T_r + T_0 = 4\mu \sum_{n=0}^{\infty} (-1)^n \frac{h^{2n+1}}{(2n+1)!} \frac{m(n+1)}{m-1} M_n,$$

где $M_0 = 2\alpha + r\alpha'$

$$M_n = \frac{M'_{n-1}}{r} + M''_{n-1} \quad (1)$$

$$T_r - T_0 = 4\mu \left[h \frac{\alpha'}{r} + \sum_{n=1}^{\infty} (-1)^n \frac{h^{2n+1}}{(2n+1)!} \frac{m(n+1)-1}{m-1} N_n \right],$$

$$\text{где } N_1 = -\frac{3\alpha'}{r^3} + \frac{3\alpha''}{r^2} + \frac{\alpha'''}{r}$$

$$N_n = \frac{5N'_{n-1}}{r} + N''_{n-1}$$

$$\frac{dT_r}{dr} + \frac{1}{r} (T_r - T_0) + F_r = 0$$

II) для функций $\varphi(r), f(r), G_r(r), G_0(r), N_r(r)$

$$\frac{N_r}{2\mu r} = h \left(\varphi + \frac{f'}{r} \right) + \frac{1}{m-1} \sum_{n=1}^{\infty} (-1)^n \frac{h^{2n+1}}{(2n+1)!} \left\{ [m(n+1)-1] \Phi_n + \right.$$

$$\left. + [m(n-1)+1] F_n \right\},$$

$$\text{где } \Phi_1 = \frac{3\varphi'}{r} + \varphi'' \quad F_1 = \frac{f'}{r^3} - \frac{f''}{r^2} - \frac{f'''}{r}$$

$$\Phi_n = \frac{3\Phi'_{n-1}}{r} + \Phi''_{n-1} \quad F_n = \frac{3F'_{n-1}}{r} + F''_{n-1}$$

$$\frac{G_r - G_0}{4\mu r^2} = \frac{h^3}{3} \frac{\varphi'}{r} - \frac{1}{m-1} \sum_{n=2}^{\infty} (-1)^n \frac{nh^{2n+1}}{(2n+1)!} \left\{ [m(n+1)-2]\varphi_{n-1} - \right.$$

$$\left. - m(n+1)f_{n-1} \right\}, \quad (2)$$

$$\text{где } \varphi_1 = -\frac{3\varphi'}{r^3} + \frac{3\varphi''}{r^2} + \frac{\varphi'''}{r} \quad f_1 = \frac{3f'}{r^5} - \frac{3f''}{r^4} + \frac{f'''}{r^2}$$

$$\varphi_{n-1} = \frac{5\varphi'_{n-2}}{r} + \varphi''_{n-2} \quad f_{n-1} = \frac{5f'_{n-2}}{r} + f''_{n-2}$$

$$\frac{G_r + G_0}{4\mu} = \frac{h^3}{3(m-1)} \left[m(2\varphi + r\varphi') - \left(\frac{f'}{r} + f'' \right) \right] -$$

$$-\frac{1}{m-1} \sum_{n=2}^{\infty} (-1)^n \frac{nh^{2n+1}}{(2n+1)!} (m(n+1)X_n - [m(n-1)-2]\psi_n),$$

где $X_1 = 2\varphi + r\varphi' \quad \psi_1 = \frac{f'}{r} + f''$

$$X_n = \frac{X'_{n-1}}{r} + X''_{n-1} \quad \psi_n = \frac{\psi'_{n-1}}{r} + \psi''_{n-1}$$

$$\frac{dN_r}{dr} + \frac{N_r}{r} + P_z = 0$$

$$\frac{dG_r}{dr} + \frac{G_r - G_0}{r} - N_r + C_r = 0$$

Решения полученных систем дифференциальных уравнений найдем следующим образом. Определим функции $N_r(r), G_r(r), T_r(r)$, предполагая, что $G_0(r), T_0(r)$ — какие-то пока неизвестные функции. Затем подставив их в левые части уравнений (1) и (2), получим системы дифференциальных уравнений для функций $\varphi(r), f(r), G_0(r)$ и $\alpha(r), T_0(r)$.

Операторы левых частей уравнений (1) и (2) обладают особенностью сохранять степени всех членов полинома p в произведениях $h^{2n+1} \Omega_n(p)$ ($n=1, 2, 3, \dots$), где $h=kr$ ($k=\text{const}$) Ω_n — любой из операторов $\Phi_n, F_n, \varphi_n, f_n, X_n, \psi_n, M_n, N_n$.

Если проекции действующих на торцах усилий, отнесенные к единице площади, представляют собой полиномы и ограничивающие слой поверхности конические, то решения преобразованных систем уравнений (1) и (2) будем искать в виде полиномов:

$$\varphi(r) = \sum A_i r^i, \quad f(r) = \sum B_i r^i, \quad \alpha(r) = \sum C_i r^i,$$

$$G_0(r) = \sum D_i r^i, \quad T_0(r) = \sum E_i r^i \quad (3)$$

Неопределенные коэффициенты A_i, B_i, C_i, D_i, E_i найдутся из тождеств, полученных после подстановки (3) в соответствующие уравнения, приравниванием коэффициентов при одинаковых степенях r .

ЛИТЕРАТУРА

- Лурье А. И. К задаче о равновесии пластины переменной толщины. Труды Ленинградского индустриального института, № 6, 1936.
ВНИПТИнефтемаш

Поступило 24. IV 1964

И. И. Семёнова

Дэјишэн галынлыглы гатын мұвазинәтінә аид ох боуңча
симметрик мәсәләнин һәллинә даир

ХУЛАСӘ

Мәгаләдә дэјишэн галынлыглы гатын ох боуңча симметрик кәркинликли һалыны ифадә едән дифференциал тәнликләр системи чыхарылып. Мәһдудлаштыран $h = \pm kx$ коник сәттәләри вә (r, z) охуна проекциясы истәнилән дәрәгәли полиномла ифадә олунан гүввәләр үчүн бу тәнликләрин һәлл едилмәси методуну верир.

ХИМИЯ

Б. К. ЗЕЙНАЛОВ и А. А. АХУНДОВ

СИНТЕЗ НАФТЕНОВЫХ КИСЛОТ ПРЯМЫМ
ОКИСЛЕНИЕМ НАФТЕНОВЫХ УГЛЕВОДОРОДОВ

Окисление нафтеновой фракции, выделенной из трансформаторного масла в непрерывных условиях

(Представлено академиком АН Азербайджанской ССР М. Ф. Нагиевым)

В предыдущих работах [1—7] было показано, что парафинистый дистиллят и выделенный из него дистиллят трансформаторного масла являются богатыми источниками нафтеновых углеводородов, окислением которых получаются высокомолекулярные нафтеновые кислоты.

В этих работах нафтеновые кислоты получались в периодических условиях путем прямого окисления выделенной фракции нафтеновых углеводородов и фракций, состоящих из нафтеновых и парафиновых углеводородов. В периодических условиях не удается получить чистые однотипные нафтеновые кислоты, поэтому в дальнейшем работа по окислению нафтеновой фракции в целях получения нафтеновых кислот проводилась на непрерывной установке, предложенной В. К. Цысковским [8].

В данном сообщении излагаются результаты по установлению влияния скоростей циркуляции исходного сырья, обмена оксидата свежим сырьем (степень разбавления) и сочетания начального периодического времени окисления с непрерывным продолжением процесса на выходы нафтеновых кислот и других кислородсодержащих соединений.

Исходная нафтеновая фракция, подвергаемая окислению, состоит из бициклических и частично трициклических нафтеновых углеводородов с длинными боковыми цепями [5].

Реакция окисления началась с установления степени окисляемости при непрерывном режиме в отсутствии катализатора. Окисление проводились при температуре 140°C, скорости подачи воздуха 00 л/ч и продолжительности циркуляции от 4 до 24 часов. Время каждой циркуляции последовательно увеличивалось по 3 часа. Циркуляция осуществлялась путем подачи нафтеновых углеводородов в количестве 126, 220, 298 и 440 мл/ч.

Результаты влияния скорости циркуляции на выходы кислот иллюстрируются кинетическими кривыми на рис. 1.

Как видно из данных рисунка, с увеличением количества циркулируемого сырья выход нафтеновых кислот уменьшается, но процент-

ное содержание их в общей смеси кислот по сравнению с оксикислотами увеличивается. Это объясняется тем, что по мере прибавления количества исходного сырья повышается скорость циркуляции, вследствие чего время пребывания окисленного сырья в реакционной зоне уменьшается, контакт с кислородом за единицу времени сильно сокращается, и в конечном счете общее суммарное превращение исходного сырья в целевые кислоты снижается. Наряду с этим следует констатировать, что для максимального выхода целевого продукта нафтеновых кислот оптимальной скоростью циркуляции сырья следует считать 126 мл/час. Скорость циркуляции ниже этой величины приводит к тому, что глубина окисления оказывается такой же, как и при некатализированном периодическом окислении.

Влияние скорости обмена оксидата со свежим сырьем, т. е. разбавления среды исходными углеводородами, определялось путем определения процентного содержания нафтеновых кислот, оксикислот, спиртов, альдегидов и кетонов в пробах, взятых по ходу реакции.

Результаты изучения этого фактора показаны на рис. 2 и 3.

Как видно из рис. 2, по мере разбавления оксидата свежим сырьем в пределах 1:0,5 и 1:5 лучшие результаты получаются при соотношении 1:3, т. е. когда 3 части оксидата заменяются одной частью свежего сырья. При этом количество чистые нафтеновые кислоты получаются в 6 раз больше по сравнению с оксикислотами.

Наряду с этим кинетические кривые образования нафтеновых и оксикислот показывают, что по мере увеличения скорости обмена оксидата со свежим сырьем интенсивность образования обоих конечных продуктов (нафтеновых и оксикислот) снижается.

Такое влияние, по-видимому, объясняется пространственным затруднением в контактировании образовавшихся кислородсодержащих соединений с кислородом ввиду их сильного разбавления в общей смеси.

Снижение концентрации оксикислот при одновременном уменьшении количества нейтральных соединений в общей смеси наводит на мысль, что оксикислоты образуются не только путем дальнейшего окисления нафтеновых кислот, но и иным путем — из других видов нейтральных кислородсодержащих соединений.

Таким образом, при непрерывном окислении нафтеновой фракции в отсутствии катализатора скорость обмена оксидата со свежим сырьем сильно влияет на скорость образования продуктов окисления и для максимального выхода чистых нафтеновых кислот она должна составить 1:3.

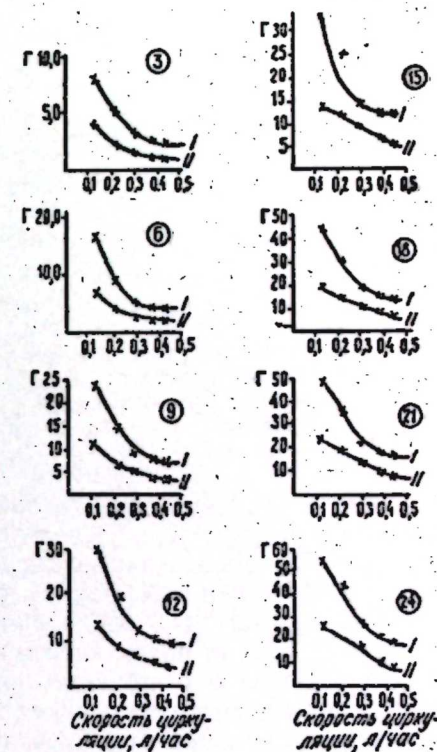


Рис. 1. Зависимость выхода нафтеновых и оксикислот от скорости циркуляции. (Цифры, указанные в круглых скобках, показывают продолжительность циркуляции в часах).

Результаты одного опыта, проведенного в найденных оптимальных условиях: температура 140°C, количество воздуха—300 л/час, скорость циркуляции—126 мл/час, продолжительность циркуляции в пределах 1—9 часов через каждый час и скорость обмена оксида со свежим сырьем в соотношении 1:3—демонстрируются кинетическими кривыми рис. 3.

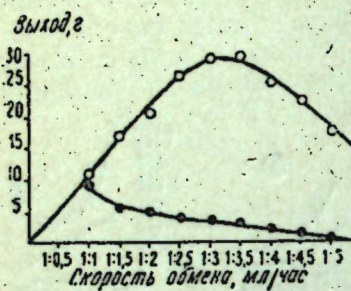


Рис. 2. Зависимость выхода нафтеновых и оксикислот от скорости обмена.

○—нафтеновые кислоты;
●—оксикислоты.

*1:5 значит, что 10 мл свежего сырья добавлялось в реакцию, 50 мл неомываемых отбирались из системы.

Как видно из кривых, отражающих количество непрореагировавших углеводородов и кислородсодержащих соединений, при непрерывном процессе окисления без катализатора удается получить ~78% нейтральных кислородсодержащих соединений; причем скорость их образования за определенный промежуток времени почти идентична.

По сравнению с другими кислородсодержащими нейтральными соединениями нафтеновые кислоты и оксикислоты получаются меньше, хотя процентное содержание чистых нафтеновых кислот в общей смеси в 9 раз больше, чем оксикислот.

Влияние ступенчатого режима реакции окисления изучалось следующим образом: первоначально определенное время процесс ведется в периодических условиях с применением в качестве катализатора $KMnO_4$, а затем реакция продолжается в непрерывном режиме. Преимущество применения $KMnO_4$ заключается в том, что после образования активных радикалов его легче других катализаторов можно удалить из реакционной зоны путем осаждения и удаления в виде катализаторного шлама.

Поскольку в предыдущей работе [5] было установлено, что при окислении нафтеновой фракции в периодических условиях перманганата калия следует брать в количестве 0,2% на загрузку, то и в данном случае его брали в том же количестве. Окисление проводилось следующим образом: исходное сырье нагревалось до заданной

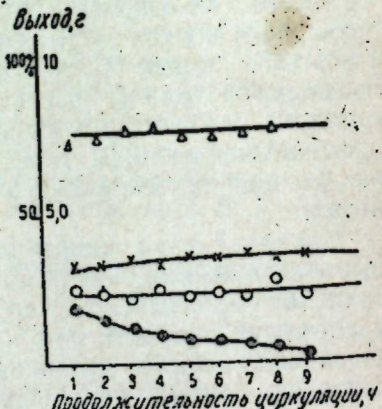


Рис. 3.

○—углеводороды 22%; ×—нафтеновые кислоты ~ 3.6 г;
●—оксикислоты ~ 0.4 г;
△—неомываемые (кетоны+альдегиды+спирты) ~ 7.8 г;
или 78%.

температуры, прибавлялось определенное количество катализатора, и реакция проводилась в периодических условиях в течение 2 часов. По истечении указанного времени оксидат выливался в посуду и освобождался от катализаторного шлама. Освобожденный от катализаторного шлама оксидат снова погружали в окислительную колонку, нагревали до заданной температуры и продолжали циркуляцию в течение 24 часов в непрерывных условиях. По ходу реакции окисления через каждые 3 часа отбирали пробы и анализировали.

Во втором опыте изменялось лишь время периодической стадии окисления (4 часа). Полученные данные иллюстрируются кинетическими кривыми, представленными на рис. 4.

Из кривых рисунка видно, что с увеличением времени периодического окисления с 2 до 4 часов выходы нафтеновых и оксикислот почти вдвое увеличиваются. Это объясняется тем, что пребывание катализатора в реакционной зоне более продолжительное время, создает возможность образования достаточного количества активных радикалов, являющихся основными реагентами связывания кислорода с окисляемым субстратом.

Однако следует отметить, что дальнейшее увеличение продолжительности окисления, проводимого в периодических условиях, нецелесообразно.

ВЫВОДЫ

1. Установлено, что в непрерывных условиях окисления нафтеновой фракции, выделенной из трансформаторного масла, при циркуляции сырья со скоростью 126 мл/ч и обмена оксида со свежим исходным сырьем по ходу реакции в соотношении 1:3 получаются сравнительно чистые однотипные нафтановые кислоты.

2. Ведение реакции окисления при условии периодического и непрерывного режимов с участием катализатора $KMnO_4$ лишь в периодической стадии положительно влияет на выход и качество нафтеновых кислот.

ЛИТЕРАТУРА

- Зейналов Б. К. Кинетика и химизм окисления парафинистого дистиллята и использование продуктов окисления в практике. Баку, 1959.
- Зейналов Б. К. Докторская диссертация. Баку, 1961.
- Зейналов Б. К., Ахундов А. А. Азерб. хим. журнал, № 2, 1964.
- Зейналов Б. К., Мамедова С. Г. Изв. АН Азерб. ССР, 1952, № 8, 63—73.
- Зейналов Б. К., Мамедова С. Г. Изв. АН Азерб. ССР, 1953, № 10, 91—103.
- Зейналов Б. К., Мамедова С. Г., Труды Ин-та Химии АН Груз. ССР, 1956, 12, 251—257.
- Зейналов Б. К., Мамедова С. Г. В сб.: Материалы кординационного совещания по проблемам нефти. Изд. АН Азерб. ССР. Баку, 1954, 190—200.
- Цыковский В. К. Синтез жирных кислот и жирных спиртов окислением жидких парафинов. Л., 1960.
- Зейналов Б. К., Ахундов А. А. Азерб. хим. журнал, № 4, 1964.

Институт нефтехимических процессов ПЧТДЧ

Поступило 1. I 1964

Центральная научная
БИБЛИОТЕКА
Академии наук Киргизской ССР

Нафтен карбоидрокенлэринин оксидлэшмэсндиндэн нафтен туршуларынын синтези
Трансформатор јағындан ажрылмыш нафтен фраксијасынын фасиләсиз оксидлэшмэснэ даир

ХУЛАСЭ

Мәгаләдә трансформатор јағындан ажрылмыш нафтен фраксијасынын фасиләсиз шәрантдә оксидлэшдирилмэсндиндэн алышан иәтичәләр верилир.

Апарылан тәчрүбәләр иәтичәснинде хаммалын сиркулјасија сүр'ети, сабуналашмајан һиссәнин ишләнмиш хаммалла әвәзедилмә сүр'ети вә фасиләли оксидлэшмә мүддәтинин нафтен вә оксинафтен туршуларынын чыхымына тә'сири өјрәнилмишdir.

ХИМИЯ

А. А. БУНИЯТ-ЗАДЕ, З. Г. ЗУЛЬФУГАРОВ, Э. Л. БУЛАТНИКОВА

НИЗКОТЕМПЕРАТУРНАЯ СОПОЛИМЕРИЗАЦИЯ ЭТИЛЕНА С ПРОПИЛЕНОМ И α -БУТИЛЕНОМ НА ОКИСНО-ХРОМОВОМ КАТАЛИЗАТОРЕ

(Представлено академиком АН Азербайджанской ССР М. А. Далинам)

Известно, что одним из недостатков полиэтилена, полученного при низкотемпературной полимеризации, является его плохая переработываемость. Это объясняется тем, что полиэтилен, полученный в режиме суспензии, имеет очень большой молекулярный вес.

Для снижения молекулярных весов полиолефинов применяют различные методы [1, 2]. Нами также было показано [3, 4], что при введении в состав полиэтилена определенного количества пропилена или α -бутилена удается снизить молекулярный вес полиэтилена и одновременно улучшить его эластические свойства.

На рис. 1 приводятся ИКС полиэтилена и сополимеров этилена с различными содержаниями пропилена, полученных на окисно-хромовом катализаторе при температуре $120 \div 130^\circ\text{C}$. Из приведенных спектров ясно видно, что полиэтилен (оп. № 185) имеет четкий дуплетный пик в области $720 \div 730 \text{ см}^{-1}$, который указывает на маятниковые колебания CH_2 -группы.

Высокая интенсивность полосы 730 см^{-1} указывает на высокую степень кристалличности полиэтилена. Полоса 1460 см^{-1} указывает на деформационные колебания CH_2 .

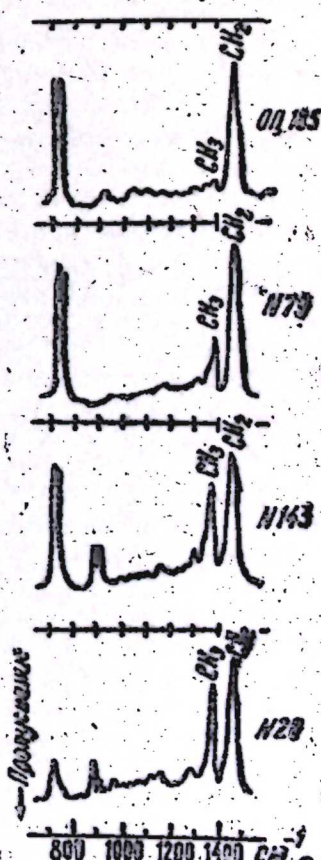


Рис. 1. Инфракрасные спектры полиэтилена и сополимеров этилена с пропиленом. Инфракрасные спектры полиэтилена (оп. № 185), сополимеров с содержанием 5% пропилена (оп. № 79), 20% пропилена (оп. № 143) и 41% пропилена (оп. № 20).

групп. Полоса 1380 см^{-1} указывает на деформационные колебания CH_3 -групп за счет разветвления.

Спектры сополимеров этилена с содержанием пропилена 75% оп. № 79, 20% оп. № 143 и 41% оп. № 20 отличаются от спектров полиэтилена тем, что, во-первых, с увеличением содержания пропилена в сополимере снижается интенсивность полосы 730 см^{-1} , что указывает на степень кристалличности полимера, во-вторых, в присутствии пропиленовых звеньев в полимере повышается интенсивность полосы 1380 см^{-1} .

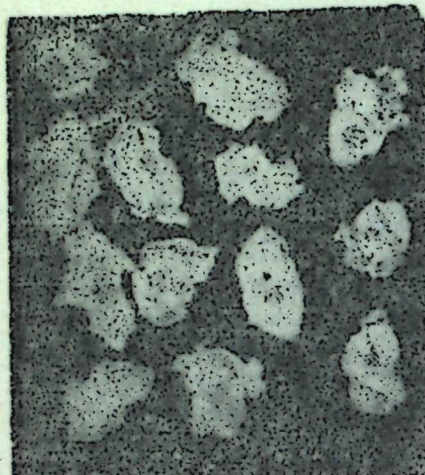


Рис. 2. Фотография полимерных горошин с катализаторной частицей.

По спектрам образцов сополимера видно, что с увеличением содержания пропилена в сополимере кристалличность полиэтиленового типа резко уменьшается, а сополимер с содержанием 41% пропилена полностью аморфен. Видно также, что оба образца оп. № 143 и 20 имеют низкий молекулярный вес и в их спектрах присутствуют полосы, характеризующие концевые двойные связи винильного типа ($-\text{CH}=\text{CH}_2$, полоса 910 см^{-1}) и винилиденового типа ($-\text{C}=\text{CH}_2$, полоса 888 см^{-1}).

Можно предполагать аналогичное влияние пропилена и α -бутилена на процесс полимеризации, когда при полимеризации чистого этилена получается весьма высокомолекулярный продукт.

Исходя из этого, мы провели исследования по низкотемпературной сополимеризации этилена с пропиленом и α -бутиленом.

Катализатором процесса служили окислы хрома на алюмосиликатном носителе. В качестве растворителя применяли бензин "Экстра". В качестве сырья применяли этилен высокой степени чистоты (99,98% об.), полученный на полупромышленной установке разделения газов пирогаза. Пропилен, полученный тем же путем, имел концентрацию 99,6% об., α -бутилен с концентрацией 96–98% об. получили дегидратацией и-бутилового спирта. Опыты проводили в автоклавах емкостью 2,5 л, снабженных бессальниковыми мешалками. Большое внимание уделялось подготовке растворителя и катализатора. Вся система перед опытом в течение 1,5–2 часов продувалась сухим газом. Опыты проводились при температуре 75 – 80°C и давлении 35 атм. Концентрация катализатора по отношению к растворителю обычно составляла 0,1% вес. Полученный при этих условиях сополимер по внешнему виду напоминал горошины белого или зеленоватого, в зависимости от зольности, цвета.

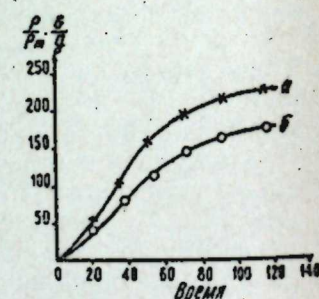


Рис. 3. Кинетическая кривая, полученная при температуре 75 – 80°C и давлении 35 атм концентрации катализатора 0,12%.
а — реакция сополимеризации этилена с пропиленом при соотношении 9:1;
б — реакция сополимеризации этилена с α -бутиленом при соотношении 9,5:0,5..

При небольших выходах каждая катализаторная частица обваливается полимером, и при этом катализатор не дробится. В таких случаях легко удастся извлекать катализатор из полимера. Для наглядности на рис. 2 показан горшечек сополимера этилена с пропиленом. В центре горошка отчетливо видны катализаторные частицы. На рис. 3 приведена характеристическая кинетическая кривая реакции сополимеризации этилена с пропиленом и α -бутиленом. Следует отметить, что в отличие от режима расплава при низкотемпературной полимеризации четко наблюдается индукционный период, в течение которого реакция полимеризации почти не протекает. С увеличением концентрации катализатора, температуры и давления процесса время индукционного периода сокращается.

Таблица 1

Свойства полиэтилена и сополимеров $\text{C}_2:\text{C}_4$, синтезированных при различном содержании пропилена в исходном газе

Содержание пропилена в исходном газе, % об.	Показатели			
	Характер, вязкость в декалине при 135°C	Индекс расплава ($t = 190^\circ\text{C}$, груз. 5 кг)	Относит. удлинение, %	Предел прочности, kg/cm^2
0	4,88–5,17	Не вытекает	100–400	220–290
3,1	3,5–4,1	0,028–0,011	300–600	194–197
7,2	3,0–3,5	0,091–0,061	300–600	147–187
11,8	2,4–2,8	0,261–0,054	450–700	156–187
19,8	2,22–2,68	0,301–0,047	450–500	130–182

Свойства полиэтилена и сополимеров этилена с пропиленом и α -бутиленом, синтезированных при температуре 75 – 80°C и давлении 35 атм, приведены в табл. 1 и 2.

Таблица 2

Свойства полиэтилена и сополимеров $\text{C}_2:\text{C}_4$, синтезированных при различном содержании α -бутилена в исходном газе

Содержание α -бутилена в исходном газе, % об.	Показатели				
	Характер, вязкость в декалине при 135°C	Индекс расплава ($t = 190^\circ\text{C}$, груз. 5 кг)	Температура плавления	Относит. удлинение, %	Предел прочности, kg/cm^2
0	4,88–5,17	Не вытекает	130–132	100–400	220–290
2,2	4,3–4,5	0,047	127–131	до 650	225–240
3,5	4,0–3,1	0,09	127–131	до 800	216–230
6,1	3,0–2,7	0,1–0,15	127–131	до 800	200–220
9,8	2,8–3,1	—	124–129	540–650	187–210
12,5	2,7–3,2	0,17–0,29	125–123	500–600	169–200

Из данных табл. 1 и 2 видно, что при изменении содержания пропилена и α -бутилена в исходном газе соответственно от 3,1 до 19,8 и от 2,2 до 12,5% об. изменяется характеристическая вязкость сополимеров от 4,1 до 1,22 и от 4,3 до 2,7 и при этом изменяются и другие свойства полимерных продуктов.

Выводы

1. Установлено, что с помощью реакции сополимеризации этилена с низшими олефинами при низких температурах полимеризации на окисно-хромовом катализаторе удается снизить молекулярный вес полиэтилена и одновременно уменьшить его кристалличность и увеличить эластичность.

2. Огнечено, что при низкотемпературной сополимеризации катализатор имеет четкий индукционный период с продолжительностью до одного часа и при увеличении концентрации катализатора, температуры и давления процесса время индукционного периода сокращается.

ЛИТЕРАТУРА

1. Польский патент № 46 265, 1962. 2. Бельгийский патент № 570 931 от 5 сентября 1958 г. З. Буняйт-заде А. А. Диссертационная работа. Баку, АГУ им. С. М. Кирова, 4 января 1952 г. 4. Зульфугаров З. Г., Буняйт-заде А. А., Бахши-заде А. А., Алимарданов Г. Азерб. хим. журнал, № 1, 1954.

Институт химии ВНИИОлефин

Поступило 21. V 1954

А. Э. Буняйт-заде, З. Г. Зульфугаров, Е. Л. Булатникова

Аллаг температурда хромоксиди катализаторунун иштиракы илә этиленин пропиленлә вә бутиленлә биржәполимерләшмәси

ХУЛАСӘ

Аллаг температурда хромоксиди катализаторунун иштиракы илә этиленин полимерләшмәси нәтижесинде алынан полимер маддә пис е'мал олуунур.

Бунун әсас сәбәбләрindән бири полимер маддәнин јүксәк молекул чәкисинә мәнсуб олмасыдыр.

Полиетиленин молекул чәкисини ашағы салмаг учун мұхтәлиф үсулләрдан истифадә едиirlәр. Бундан габагы ишләрдә көстәрилмишdir ки, јүксәк температур шәрайтиндә этиленин вә α-бутиленин биржәполимерләшмәси нәтижесинде алынан полимер маддә биринчи нөвәдә аналоги шәрайтә алынан полиетилендән молекул чәкисинин кичик олмасы илә фәргләнир.

Мәгалә аллаг температур шәрайтиндә этиленин пропиленлә вә α-бутиленлә полимерләшмәсine һәср олуумушдур.

Бурада алынан биржәполимерләрин хассәләри аналоги шәрайтә алынан полиетиленин хассәләри илә мүгајисә едиilmиш вә мүәjjән олмушдур ки, аллаг температур шәрайтиндә дә этиленин пропиленин вә этиленин α-бутиленин биржәполимерләшмәси нәтижесинде алынан полимер маддәнин молекул чәкиси полиетиленә нисбәтән кичикләр.

Аллаг температурда хромоксиди катализаторунун мүәjjән индукцион мүддәти олдуку көстәрилмишdir. Бу мүддәт катализаторун мигдарындан, реаксијанын температурундан вә тәэзигингидән асылыдыр.

АЗЭРБАЙЖАН ССР ЕЛМЛӘР АКАДЕМИЈАСЫНЫН МӘРУЗӘЛӘРИ

ДОКЛАДЫ АКАДЕМИИ НАУК АЗЕРБАЙДЖАНСКОЙ ССР

ТОМ XXI

№ 10

1965

ОРГАНИЧЕСКАЯ ХИМИЯ

С. Д. МЕХТИЕВ, Р. Г. РИЗАЕВ, Ю. Г. КАМБАРОВ, А. Ш. НОВРУЗОВА

ПОЛУЧЕНИЕ БЕНЗОНИТРИЛА ОКИСЛИТЕЛЬНЫМ АММОНОЛИЗОМ МЕТИЛЦИКЛОГЕКСАНА

Реакция окислительного аммонолизаmonoалкилзамещенных циклогексановых углеводородов почти не изучена. Имеющиеся в литературе сведения ограничены лишь несколькими патентными работами. Так, например, в американском патенте [1] указывается о возможности получения бензонитрила (1,4—1,8% от теории) аммооксидацией метилциклогексана в присутствии молибденового и вольфрамового катализатора при температуре 925—10,5°F.

В канадском патенте [2] описывается способ получения бензонитрила окислительным аммонолизом метилциклогексана. Однако авторы не приводят какие-либо данные, позволяющие характеризовать процесс. Учитывая изложенное, а также большую перспективность применения бенzonитрила в органическом синтезе [3], нами была подробно изучена реакция окислительного аммонолиза метилциклогексана с целью нахождения оптимальных условий образования бенzonитрила и выяснения закономерности протекания процесса.

Исследования проводились в реакторе проточного типа со стационарным слоем катализатора. Методика проведения эксперимента описана нами ранее в работе [6].

Экспериментально было изучено влияние различных факторов: температуры, молярных соотношений компонентов реакции, времени контакта, инертных разбавителей на течение процесса. Влияние количества подаваемого воздуха и амиака на селективность процесса и конверсию углеводорода изучалось в пределах 9—24 и 1—15 молей на моль углеводорода соответственно. Установлено, что наибольшие выхода бенzonитрила получаются при соотношениях метилциклогексан: амиак:воздух = 1 : 7 : 20, времени контакта 2,5 сек и температуре 400°C. При указанных условиях выход нитрила составляет 64—65% от теории. При изучении влияния температуры

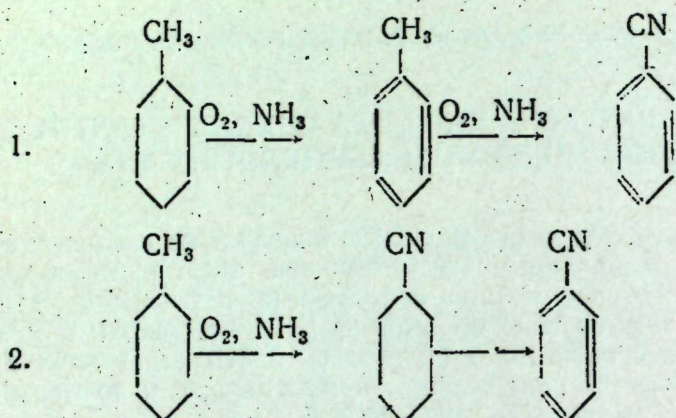
Таблица I

t, °C	Конверсия метилциклогексана, %	Избирательность процесса, %
340	36,4	66,2
360	49,3	63,6
380	67,2	65
400	69,5	61,5
420	71,3	60,5
440	73	48,2

на течение процесса (табл. 1), установлено, что повышением температуры от 340 до 380°C конверсия углеводорода увеличивается с 36,4 до 67,2%, дальнейшее увеличение температуры до 440°C практически не изменяет конверсию метилциклогексана. Однако при этом происходит сильный разогрев катализаторного слоя.

Независимость конверсии углеводорода от температуры в интервале 380—440°C и разогрев катализаторного слоя объясняется, по-видимому, тем, что при этих температурах реакция аммоокисления метилциклогексана протекает в диффузационной области, для которой характерны небольшой коэффициент реакции и снижение избирательности процесса [7].

Реакция аммоокисления метилциклогексана может происходить по двум схемам:



Для выяснения механизма процесса нами были проведены термодинамические расчеты образования бензонитрила по указанным схемам. При расчетах были использованы данные, помещенные в табл. 2.

Таблица 2

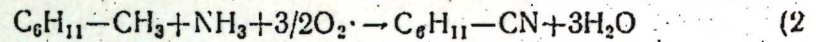
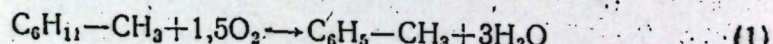
Вещество	ΔH_{298} ккал/моль	S_{298} кал/моль·град	Лит. источник
1. $\text{C}_6\text{H}_{11}-\text{CH}_3$ (Г)	-36,9	82,06	5
2. NH_3 (Г)	-10,98	46,03	4
3. O_2 (Г)	0	49,056	4
4. $\text{C}_6\text{H}_5-\text{CN}^*$	52,6	80,4	—
5. H_2O (Г)	-57,798	45,13	4
6. $\text{C}_6\text{H}_5-\text{CH}_3$	11,50	76,42	4
7. $\text{C}_6\text{H}_{11}-\text{CN}^*$	3,1	86,7	—

* Вычисленные.

Стандартный тепловой эффект реакции Q_p аммоокисления метилциклогексана равен:

$$\Delta H_{298}^0 = \Sigma H_{298\text{пр.}} - \Sigma H_{298\text{ исх.}} = -294,188 \text{ ккал/моль} - 47,88 \text{ ккал/моль} = -246,3 \text{ ккал/моль. } Q_p = 246,3 \text{ ккал/моль}$$

Для установления термодинамической вероятности протекания реакции по указанным схемам были вычислены изменения свободной энергии системы первых ступеней обеих схем:



Из данных табл. 2 находим, что изменение энтропий ΔS и ΔS_2 и энталпий ΔH и ΔH_2 для первой и второй реакции будут соответственно равны: 56,2 ккал/моль·град, -124,54 ккал/моль и 20,42 ккал/моль·град -122,42 ккал/моль.

Тогда $\Delta Z_1 = -141,3$ ккал/моль
 $\Delta Z_2 = -128,5$ ккал/моль.

Следовательно, первая стадия реакции по первой схеме термодинамически предпочтительнее. Более убедительно это подтверждается экспериментально. Наличие в продуктах реакции толуола и отсутствие циклогексилинтрила также указывает на протекание реакции по первой схеме.

ЛИТЕРАТУРА

- Американский патент 2450636, 5. 10. 1948 г. Chem. Ab., 43, 3439, 1949.
- Канадский патент 491 823, 7.04. 1953г. РЖХ, 45:3, 1954.
- Chem. and Eng. News, т. 8, 51, 1963.
- Каранельянц М. Х. Химическая термодинамика. Госхимиздат, 1953.
- Введенский А. А. Термодинамические расчеты процессов тонкой промышленности. Гостехиздат, 1949.
- Мехтиев С. Д., Ризаев Р. Г. и др. Азерб. хим. журнал, № 2, 1965.
- Киперман Л. Введение в кинетику гетерогенных катализитических реакций. „Наука“, 1934.

Институт нефтехимических процессов

Поступила 7. VII 1955

С. Ч. Мендиев, Р. И. Рзаев, І. И. Гэмбэрэв, Э. Ш. Новрузова

Метилциклоексаны оксидләшдиричи аммонолизи реаксијасы васитэсилә бензонитрилин алымасы

ХУЛАСЭ

Мәгалә Al_2O_3 үзәриә чөкдүрүлмүш ванадиум вә молибден оксидидән һазырланмыш катализатор иштиракы илә метилциклоексаны оксидләшмә реаксијасына һәср едилмишdir. Тәдгигат иәтичәсинде мүәйјән олуимушдур ки, 400°C дә, 2,5 санијә контакт мүддәтинде вә реаксија компонентләринин — метилциклоексан; аммоңак: һава = 1 : 7 : 20 молјар һисбәтиндә бензонитрилин чыхымы 65% олур.

Тәчруби иәтичәләр вә термодинамик несабламалар әсасында реаксијаны механизмни өјрәнилмишdir.

КРИСТАЛЛОХИМИЯ

М. Б. ХЕИРОВ, Х. С. МАМЕДОВ

О ВОЗМОЖНЫХ ВАРИАНТАХ СТРУКТУР СЕЙДОЗЕРИТ-РИНКИТОВОГО ТИПА

(Представлено академиком АН Азербайджанской ССР М. А. Кашиаем)

Так как в зависимости от условий формирования вещества с одним и тем же химическим составом (или близкие по составу вещества) могут кристаллизоваться в различных структурах, не противоречащих кристаллохимическим соображениям, то знание того, в скольких различных модификациях и в каких именно могут кристаллизоваться вещества с близкими химическими формулами, безусловно, поможет структурщикам в подборе первичной модели для подвергаемого им исследованию минерала. С этой точки зрения представляет интерес затронутый нами вопрос о возможных вариантах структур сейдозерит-ринкитового типа [1-2].

Как с помощью различных комбинаций расположения лент и стенок относительно друг друга, так и диортогруппы $[Si_2O_7]$ в призматических пустотах, не выходя за пределы структурных каркасов ринкита-сейдозерита, можно получить множество вариантов подобных структур.

Сначала рассмотрим возможные варианты структур с расположением сплошных стенок, как у ринкита (рис. 1). Сдвигом лент во втором октанте на один октаэдр по направлению оси c ($5,68 \text{ \AA}$) и на полоктаэдра по направлению оси a ($7,47 \text{ \AA}$) получим второй вариант (рис. 1, б) из первого варианта (рис. 1, а), принятого условно за исходный.

Теперь располагая ленты в одной ориентации, как у сейдозерита, и подвергая ленты тем же операциям в направлениях осей a и c , как и в предыдущем случае, получим еще два варианта структуры с теми же периодами повторяемости (рис. 1, в, г). Таким образом, получаем 4 варианта структуры с таким же расположением стенок, как у ринкита, за счет вариаций с лентами независимо от высот диортогруппы. Указанные сдвиги лент могут повлиять на рефлексы типа okl .

Еще четыре варианта структуры получим путем таких же вариаций с лентами, но уже с расположением стенок как у сейдозерита (рис. 1, д). Итак, только различные сочетания лент и стенок дают восемь вариантов структур (без учета диортогруппы) в пределах периодов идентичности a , b , c , заметно не превышающих $19,0$; $7,60$, $5,70 \text{ \AA}$, соответственно. Теперь, не изменяя расположения стенок и лент от-

носительно друг друга (т. е. при одном и том же варианте из лент и стенок), можно получить еще новые варианты структур путем различного размещения диортогрупп в треугольных призматических пустотах, образованных между лентами и стенками. При этом, исходим из того, что диортогруппы являются "островными", т. е. непосредственно не связаны друг с другом и внутри одной и той же бесконечной треугольной призмы находятся друг от друга на расстоянии, равном высоте одного октаэдра. Далее, диортогруппы, расположенные внутри какой-либо призмы, смешены по оси a относительно диортогрупп соседней призматической пустоты одного и того же октанта на полоктаэдра. А диортогруппы, прилегающие к средней стенке из соседних октантов, могут находиться или на одной и той же высоте, или же будут смешены на один октаэдр.

Чтобы получить всевозможные комбинации размещений диортогрупп, сначала прилегающих к средней стенке помещаем на одной и той же высоте, а те, которые находятся в соседних пустотах, справа и слева, размещаем следующими четырьмя способами: 1) на полоктаэдра выше (рис. 2, а); 2) на полоктаэдра ниже (рис. 2, б); 3) справа на полоктаэдра выше (рис. 2, в), слева — ниже; 4) справа на полоктаэдра выше, слева — выше (рис. 2, г).

Далее, помещая диортогруппы, прилегающие к средней стенке на разных высотах (на один октаэдр), и сдвигая диортогруппы слева и справа такими же четырьмя способами, как и выше, получим еще 4 варианта их размещения (рис. 2, д—з). Таким образом, получаем 8 различных вариантов размещения диортогрупп в призматических пустотах, не выходящих за пределы ячеек с параметрами $a=19,0$; $b=7,50$; $c=5,70 \text{ \AA}$.

Так как подобные размещения диортогрупп возможны в каждом из приведенных выше вариантов структур сейдозерит-ринкитового типа, получается 64 различных варианта структуры сейдозерита-ринкита.

При этом следует отметить, что период повторяемости по направлению оси a , без учета диортогрупп, составляет высоту одного октаэдра, а при учете расположения диортогрупп этот период удваивается. Этим и объясняется появление псевдопериода в этом направлении.

Очевидно различные варианты расположения диортогрупп в призматических пустотах будут влиять только на рефлексы с нечетными индексами k . Эти рефлексы должны быть слабыми по интенсивности, так как вклад группы атомов $Si-O-Si$ (остальные ионы являются общими для диортогрупп и октаэдов) в создании рефлексов незначителен по сравнению с рассеивающей способностью остальной части решетки. В одном из приведенных вариантов размещения диортогрупп период повторяемости по оси a сокращается вдвое и получается решетка (рис. 2, ж) с параметрами, совпадающими с таковыми гексагонала ($a=9,65$; $b=7,32$; $c=5,74$). В этом варианте структуры расположение лент и стенок такое же, как у сейдозерита.

А теперь покажем, что изменением взаимного расположения диортогрупп, находящихся на одинаковых расстояниях от стенок и удаленных на $5,70 \text{ \AA}$ по направлению оси c , можно получить еще ряд новых

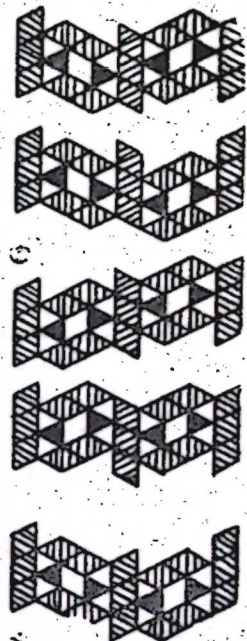


Рис. 1. Различные сочетания лент и стенок по структурным мотивам ринкита сейдозерита.

вариантов структур. Для получения всевозможных вариантов исходим из того, что эти группы могут находиться на одной и той же высоте или же отличаются по высоте на один октаэдр. Диортогруппы, заключенные между двумя соседними стенками, могут быть размещены четырьмя различными способами, как это указано на рис. 3. Каждый из этих вариантов можно сочетать с такими же вариантами, возможными во втором октанте, в результате чего получим 16 различных вариантов. Сочетая каждый из этих вариантов с приведенными выше 64 вариантами, получим $64 \times 16 = 1024$ варианта структуры. В шестидесятичетырех из этих вариантов параметры a , b и c приближенно составляют 19,0; 7,50; 5,60 Å соответственно, а в остальных период повторяемости по направлению оси c удваивается и становится (\sim) 11,2 Å. Значит, в 960 из приведенных 1024 вариантов структур должны появиться псевдопериоды по направлениям осей z и c . На рентгенограммах этих вариантов структур должны появляться слабые по интенсивности рефлексы с нечетными индексами k и l .

При этом следует отметить, что рефлексы с нечетными l будут слабее по сравнению с рефлексами с нечетными индексами k , так как группы Si—O—Si, создающие псевдопериод по оси c составляют лишь некоторую часть ($\frac{1}{8}$,

$\frac{1}{4}, \frac{1}{2}$) от общего количества групп Si—O—Si.

По этой причине практически очень трудно будет регистрировать псевдопериод по направлению оси c . Как нам кажется, появление (хотя бы теоретически) псевдопериода по направлению оси c зависит от характера заполнения октаэдров колонок лент и сплошных стенок катионами. Так, если в колонках октаэдров лент и стенок чередуются крупные катионы с мелкими, как у сейдозерита (у которого число крупных катионов относится к числу мелких как 1:1), то естественно, что диортогруппы, расположенные на одинаковых расстояниях от одной и той же стенки и удаленные по оси c на 5,70 Å друг от друга, будут находиться на одной и той же высоте, так как они могут иметь общее ребро только с крупными катионами. При этом период идентичности по оси c будет равен 5,70 Å и не будет псевдопериода в этом направлении, а следовательно, на рентгенограммах не должны появляться слабые рефлексы с нечетными l . Таких вариантов, как отмечалось выше, будет всего 61.

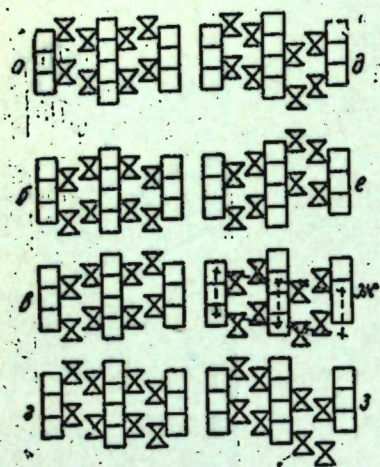


Рис. 2. Различные варианты размещения диортогруппы $[Si_2O_7]$ в призматических пустотах.

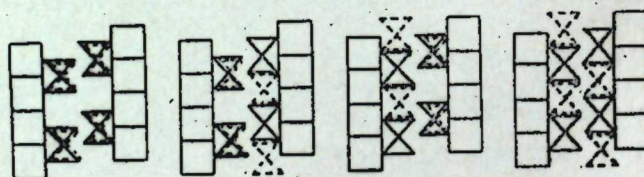


Рис. 3. Возможные варианты размещения диортогрупп, находящихся на одинаковых расстояниях от стенок и удаленных (\sim) на 5,70 Å по оси c . Диортогруппы X^{\pm} отличаются по высоте на 5,70 Å.

Если же октаэдры колонок лент и стенок будут заполнены крупными катионами, то с кристаллохимической точки зрения возможны указанные выше различные комбинации с диортогруппами, и следовательно, естественно ожидать появление псевдопериода по направлению оси c и слабых по интенсивности рефлексов с нечетными индексами l на рентгенограммах. Следует еще отметить, что изменением расположений лент и стенок в 3-ем и 4-ом октантах относительно лент и стенок первых двух октантов можно получить еще более двадцати новых вариантов структур с удвоенным периодом a ($37,7 \text{ \AA}$, сочетающие которых с ранее полученными 1024 вариантами дают десятки тысяч новых вариантов структур с одними и теми же (как у ринкита и сейдозерита) структурными деталями).

Мы рассмотрели возможные варианты структур сейдозерит-ринкитового типа без учета изменения состава стенок и лент, которое может привести к изменению параметров и структуры кристаллической ячейки минерала. Так, например, в розенбушите причиной удвоения параметра c ($11,39 \text{ \AA}$) является чередование атомов Ca с (Ca, Na) в этом направлении. Следовательно, изменение химического состава всей ячейки, в частности состава стенок и лент, приведет к новым вариантам структур.

Из всего изложенного следует, что удачность выбранной для данного минерала модели структуры будет зависеть как от умелого использования данными (даже незначительными) рентгенограмм, химического анализа и др., так и интуиции самого исследователя-структурщика.

ЛИТЕРАТУРА

- Симонов В. И., Белов Н. В. ДАН СССР, 122, № 3, 1958.
- Хеиров М. Б., Мамедов Х. С., Белов Н. В. ДАН СССР, 150, № 1, 1963.

АЗИИ по добыче нефти
Институт химии

Поступило 5. III 1964

М. Б. Хеиров, Х. С. Мамедов

Сейдозерит-ринкит типли гургуулши варианты һагтыда

ХҮЛӘСӘ

Мәгала сейдозерит-ринкит типли кристалик гургуулшларда лентә диварларын мұхтәлиф комбинациялары вә тригонал призматик бошлугларда $[Si_2O_7]$ диортогруппалының бир-биринә иисбәтән айры-айры вәзијәтләрдә йерләшдирилмәси иәтичесинде мүмкүн олан вариантыларын чыхарылмасына һәср едилмишdir.

Кристалокимјәви тәсәвүрләре зидд олмајан он минләрә сейдозерит-ринкит типли гургуулши вариантының мүмкүн олмасы вә бир вариантдан дикәринә кечән заман һансы нөв рефлексләриң интенсивликләрини иечә дәжишәкән кәстәрилir. Бунун әсасында кристаллик гургуулшун тәhlili заманы илкни моделин дүзүкүн сечилмәси учун тәдгигатчының бүтүн тәчрүби (һәтта эн чүз'и) вә иәзәри мә'лumatлардан чох бачарыгла истифадә етмәсиин зәрурилиji гејд олунур.

ГЕОЛОГИЯ

М. И. РУСТАМОВ

ГАББРО-ПЕГМАТИТЫ МЕГРИ-ОРДУБАДСКОГО
ГРАНИТОИДНОГО БАТОЛИТА

(Представлено академиком АН Азербайджанской ССР Ш. А. Азизбековым)

Пегматиты присущи всем интрузивным образованиям, особенно кислым и щелочным, а менее характерны для основных и ультраосновных формаций. Известно, что пегматитовые поля кислых и щелочных интрузивных формаций занимают площади, измеряемые десятками и сотнями, а иногда тысячами квадратных километров [1] и, естественно, что им посвящены довольно многочисленные работы отечественных и зарубежных исследователей, характеризующих их по геолого-морфологическим, химико-минералогическим и генетическим особенностям.

Пегматиты основных пород—габбро-пегматиты—по сравнению с гранитами пегматитами изучены значительно слабее, в литературе имеются лишь отрывочные сведения о них, что можно объяснить меньшей распространенностью и металлогенической значимостью их. Поэтому каждая новая находка габбро-пегматитов представляет собой интерес как с петрологической, так и с металлогенетической позиций.

Следует отметить, что описанные в литературе габбро-пегматиты [2, 3, 4, 5, 6], несмотря на присущие им своеобразные особенности, являются производными основной и ультраосновной магмы. С этой позиции габбро-пегматиты в гранитоидах представляют большой интерес. Описываемые габбро-пегматиты получили развитие в полифазном и полифациальном Мегри-Ордубадском батолите (Малый Кавказ) и связаны с поздней граносиенитовой его фазой. Последняя представляется полифациальной расслоенной интрузией, которая в структурном плане батолита образует несколько крупных куполовидных выступов—Саккарсунинский, Охчайский, Парагачайский, Шихюрдский и Агарацкий. Фациальность последних обусловлена метасоматической зональностью щелочного метасоматоза, который имел площадное распространение и проявился в ранней послемагматической стадии формирования интрузий. Обычно в этих выступах, от центра к контактам, в виде неправильных концентрических и полуконцентрических образований выделяются крупнокристаллические лейкократовые граносиениты, порфировидные граносиениты и гранодиориты, кварцевые

и бескварцевые сиенито-диориты; местами последние окаймляются диоритовой и габбро-диоритовой оторочками¹.

Габбро-пегматиты и подобные им минеральные образования пами обнаружены в Парагачайском и Охчайском выступах интрузии. Они распространены в краевых частях интрузий в диоритах, габбро-диоритах и, в меньшей мере, в сиенито-диоритах. Характерными особенностями их являются: 1) большая величина, наличие большого количества кристаллов роговой обманки и специфическое пегматитовое сложение; 2) полное сходство в минералогическом составе с материнской породой, с которой имеют постепенные переходы в довольно узком промежутке, измеряемом несколькими сантиметрами; 3) более высокое содержание легколетучих соединений (воды, фосфора, фтора, хлора и др.) и большое количество крупных акцессорных минералов, а также редких и рассеянных элементов.

Габбро-пегматиты (рис. 1) состоят главным образом из крупных кристаллов роговой обманки (85—95%), а также плагиоклаза, акцессориев и кварца в подчиненном количестве. Встречаются как в виде жил небольшой протяженности, иногда достигающих мощности до 1,5—2,5 м., но нередко уменьшающихся до прожилков, так и в виде небольших гнездообразных тел, иногда с четкообразным строением. В последних случаях вмещающие породы усеяны многочисленными прожилками с крупными кристаллами роговой обманки. Все они представлены простыми телами, в которых равномерно, но без определенности закономерности распределены удлиненные кристаллы роговой обманки с некоторым укрупнением их к центру. Вследствие наличия очень крупных кристаллов роговой обманки (до 8—10 см) порода приобретает структуру типа пегматитов—гигантоплазматическую. При этом оставшиеся межзерновые промежутки заполняются мелко- и среднезернистыми минеральными агрегатами (плагиоклаза, магнетита, сфена, апатита и др.); в некоторых этот процесс развивается не до конца и остаются полости (до 5—7 мм), стеки которых обычно выстланы дроздами дымчатого кварца, промежутки между которыми иногда заполняются эпидотом. Изредка полости заполнены мелкозернистым кварцем в ассоциации с пиритом, халькопиритом и молибденитом. Установлено, что в тех пегматитах, в которых отсутствуют глубокие изменения роговой обманки, обычно ассоциаций кварца с сульфидами не наблюдается. Другими характерными структурными особенностями этих пород являются пегматитовые прорастания роговой обманки и плагиоклаза (рис. 2), наблюдающиеся только по краям в межзерновых промежутках, обусловленные замещением первыми в тех слу-

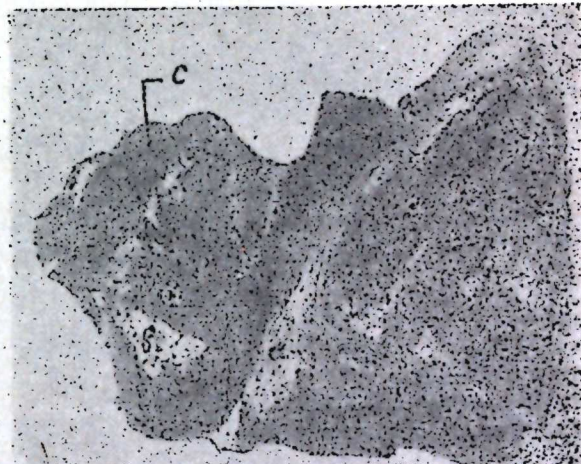


Рис. 1. Габбро-пегматит: а — роговая обманка; в — лейкократовые обособления плагиоклаза с магнетитом; с — полости выстланы дроздами кварца $\frac{1}{2}$ натуральной величины.

¹ Нередко они меланократовые и содержат калиевый полевой шпат.

заях, когда плагиоклазы (№ 55) начинают расти от грани призмы зонального амфибола.

Амфиболы представлены в основном обычными роговыми обманками ($\text{Ng}=18-20^\circ$; $2V_{\text{Np}}=66-76$; $\text{Ng}-\text{Np}=0,01-0,020$), актинолитами ($\text{Ng}=11-14^\circ$; $2V_{\text{Np}}=80$; $\text{Ng}-\text{Np}=0,018$) и изредка куммингтонитами ($\text{Ng}=17^\circ$; $2V_{\text{Np}}=84$; $\text{Ng}-\text{Np}=0,028$), которые при росте замещают материнскую породу, что подтверждается наличием в них реликтов плагиоклаза и пироксена, и нередко образуют зональные кристаллы, сложенные в центре роговой обманкой, а по краям узкой полоской—актинолитами или куммингтонитами. Степень изменения роговых обманок для различных пегматитов различна: сильно измененные зерна полностью или участками переходят в хлорит, эпидот, а по трещинам спайности — в тальк.

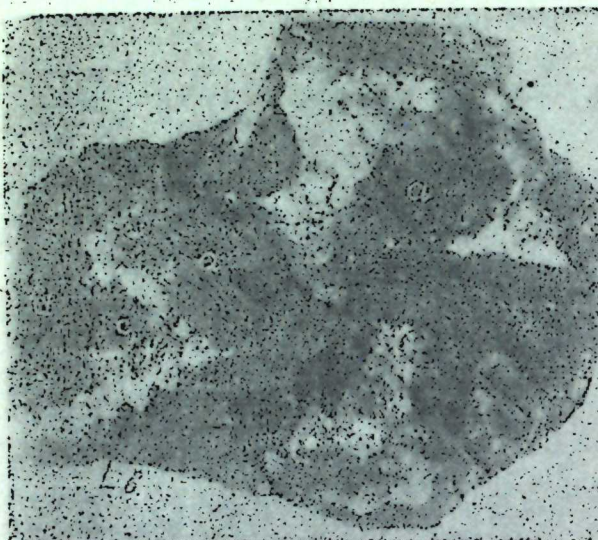


Рис. 2. Форма выделения лейкократовых обособлений: *a* — роговая обманка; *b* — пегматитовое срастание плагиоклаза с роговой обманкой; *c* — скопления эпидота. Натуральная величина.

актинолитом, куммингтонитом, апатитом и сференом (совершенно отсутствуют в виде включений в роговой обманке); 3) плагиоклазами (№ 35—40), ограниченно распространенными, полисинтетически сдвойниками, ассоциирующими с кварцем и координирующими ранние минералы с элементом „подкисления“ ранних плагиоклазов. Нередко данная ассоциация составляет основание редких мономинеральных кварцевых обособлений и друз. Изменение плагиоклазов выражено в серитизации и эпидотизации, последняя часто образует гломерокристаллическую структуру по нескольким зернам плагиоклаза.

Аксессорные минералы—магнетит, апатит и сферен—образовались позднее роговой обманки и в породе распределены неравномерно, а иногда составляют до 20 % лейкократовых участков габбро-пегматита. Магнетит образует сплошные крупные (6,5 мм) и реже мелкие (1,0 мм) зерна неправильной и изометрической формы. В тесном парагенезисе с ним встречаются сферен и реже ильменит и гематит. Апатит дает хорошо образованные кристаллы и встречается в виде удлиненных призм (4—5 мм), а сферен—в виде неправильных и скелетных форм зерен (0,2—5,0 мм). Взаимоотношения аксессориев с плагиоклазом (№ 53—55) свидетельствуют о частичном совпадении периодов выделения

этих минералов, с одной стороны, и более позднем завершении кристаллизации апатита и сферена—с другой.

Приведенная характеристика габбро-пегматитов показывает, что формирование их происходило в результате многостадийного метасоматического преобразования обычно вмещающих пород путем замещения и перекристаллизации. Этот процесс обусловлен щелочным метасоматозом, широко проявившимся в интрузиве. В результате интенсивной калишпатизации центральных частей куполовидных выступов, с постепенно ослабевающим проявлением ее к краевым его частям, растворы по мере продвижения в верхние горизонты на фронте метасоматоза, за счет выноса слабых оснований обогащались элементами Ca, Mg, Fe. Согласно Д. С. Коржинскому [7], активность оснований разной силы в растворах зависит от режима кислотности—щелочности последних, следовательно, в условиях прогрессирующего увеличения кислотности растворов происходят изменения внутренней структуры и вещественного состава их, что приводит к амфиболитизации краевых и апикальных частей куполовидных выступов. При благоприятных структурных и физико-химических условиях амфиболитизация развивается интенсивно с образованием роговообманковых габбро-пегматитов.

Таков генезис габбро-пегматитов в исследуемом нами гранитоидном батолите, которые, по-видимому, являются соединительным звеном между пегматитами основных и кислых пород, подобно тому как наблюдается в природе серия переходных пород, между габроидами и гранитоидами.

ЛИТЕРАТУРА

1. Власов К. А. Изв. АН СССР*, сер. геол., № 8, 1955.
2. Заваринский А. Н. Петрография Урала, ч. I, изд. АН СССР, М.—Л., 1937.
3. Падалка Г. Л. Петрография Урала, ч. I, изд. АН СССР, М.—Л., 1937.
4. Евзиков А. З. Зап. ВМО, вып. 3, 1955.
5. Андреева Е. Д. Изв. АН СССР*, сер. геол., № 9, 1959.
6. Гасанов Р. Г. Изв. АН Азерб. СССР*, геол., № 3, 1963.
7. Коржинский С. Д. В сб. „Магматизм и связь с ним полезных ископаемых“. Госгеолтехиздат, 1960.

Институт геологии

Поступило 21. XI 1964

М. И. Рустэмов

Мыгры-Ордубад гранитоид батолитинде габбро-пегматитләр

ХУЛАСЭ

Габбро-пегматитләр әдәбијатда әсас вә ултра-әсас интрузив сүхурларын төрәмәләри кими тәсвир олунур. Мәгаләдә, илк дәфә оларaq гранитоидләрдән төрәнмиш габбро-пегматитләр һаггында бәһс едилир. Онлар Мыгры-Ордубад батолитинин граносиенит фазасы илә әлагәдар олуб, кәнар фасијаларда интишар тапырлар. Мәгаләдә габбро-пегматитләрни морфологијасы, минераложи тәркиби вә мәншәји һаггында мә’лумат верилмишdir.

Анарылан тәдгигатларын нәтичәләри көстәрир ки, габбро-пегматитләр адәтән этраф сүхурларын бир нечә мәрһәләдә баш вермиш метасоматик чеврilmәләр нәтичәсендә әвәз олунмасы вә йенидән кристаллашмасы юлу илә әмәлә кәлмишdir. Бу просес интрузив дахилиндә кениш тәзаныр етмиш гәләви метасоматизмы илә әлагәдардыр.

ГЕОЛОГИЯ НЕФТИ

Б. М. ЛИСТЕНГАРТЕН, А. М. САДИГОВ, Ч. А. СУЛТАНОВ

О ВЛИЯНИИ ОПЕРЕЖАЮЩЕЙ РАЗРАБОТКИ ОТДЕЛЬНОЙ ЧАСТИ ЗАЛЕЖИ НА ЕЕ КОНЕЧНУЮ НЕФТЕОТДАЧУ

(Представлено академиком АН Азербайджанской ССР [М. В. Абрамовичем])

В настоящей работе рассматривается влияние опережающей разработки одного участка на другой в пределах единой залежи на примере ПК свиты Бибиэйбатского месторождения.

Как известно [1, 2], основным продольным взбросом залежь нефти ПК свиты этого месторождения (рисунок) разделена на два изолированных друг от друга поля — восточное и западное.

Восточное поле территориально приурочено к засыпанной части бухты, акватории моря и участку Баилов, расположенному на суше. В 1939 г. началась разработка восточного поля 4 скважинами. Максимальное количество одновременно работающих скважин (46) было достигнуто в 1941 г. В последующие годы темп разработки замедлился и за период 1942—1946 гг. было пробурено всего 10 скважин.

Северная часть рассматриваемого поля — Баилов — начала разрабатываться значительно позже, чем бухта и акватория моря, вследствие значительной застроенности жилыми домами и промышленными предприятиями. Только в 1946 г. в связи с применением наклонно направленного бурения удалось начать разработку данной площади.

Разрыв во времени между началом разработки отдельных участков восточного поля составил 7 лет. Указанное обстоятельство позволяет условно для анализа рассматривать в отдельности, в пределах восточной залежи, два участка: бухта + море (основная часть) и Баилов.

Характеристика выделенных участков следующая: почти все скважины основной части восточной залежи до 1946 г. вступили в эксплуатацию фонтанным способом. Период этого способа эксплуатации в зависимости от расположения скважин на структуре составлял от 1,5—2 до 3—3,5 лет. Начальные суточные дебиты в первые годы разработки залежи были высокими и составляли 385—170 т нефти и 190—20 тыс. м³ газа. Вода в продукции отсутствовала. Газовые факторы колебались в пределах 400—200 м³/т. Удельный вес нефти в процессе разработки увеличился с 0,8838 до 0,8920. Газовые факторы в начале увеличивались, достигая максимума в 1945 г., а затем постепенно уменьшались.

Если на основном участке восточной залежи за первые 8 лет разработки почти все скважины вступили в эксплуатацию фонтанным

способом, то на Баилове фонтанировало только 20 % скважин, причем продолжительность этого периода эксплуатации в среднем составила 2,5 года для основного поля и не более 10 месяцев — на Баилове. Значительно сниженными на Баилове оказались и начальные суточные дебиты нефти; при среднем значении 250 т нефти на основном поле на Баилове они не превышали 125 т.

С 1946 г. в южной части основного участка сетка была пополнена новыми скважинами, начальные суточные дебиты нефти в них примерно соответствовали дебитам скважин Баилова, которые начинали работать в это же время, т. е. к моменту начала разработки Баиловского участка. Его геолого-эксплуатационная характеристика полностью соответствовала таковой основного участка после 7 лет разработки (1946 г.).

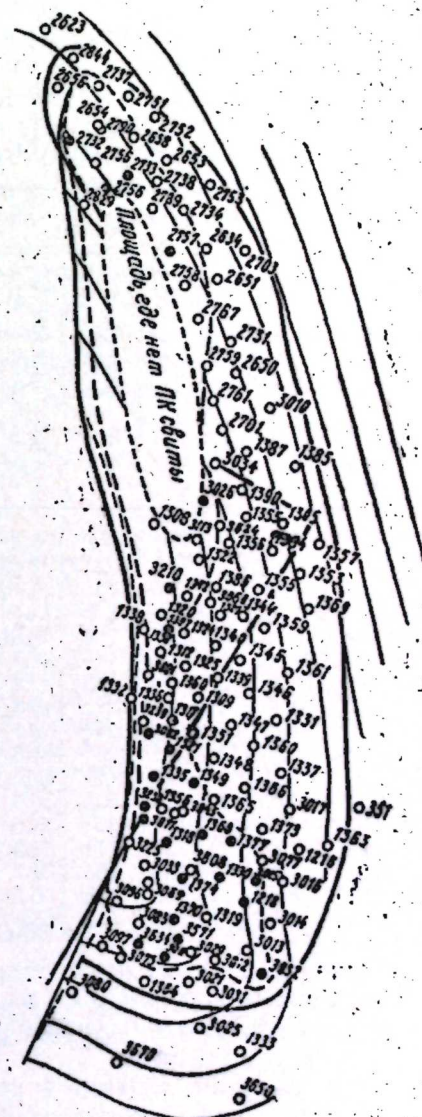
В дальнейшем характер эксплуатации и качество нефти обоих участков примерно соответствовали друг другу.

Рассмотрим характеристику отборов и использования балансовых запасов нефти на основном поле и Баилове. Для более правильной оценки этих величин на 1 января 1964 г. были уточнены значения всех параметров залежи, входящих в формулу подсчета балансовых запасов нефти объемным методом. Вновь пересчитана накопленная добыча нефти, и для определения возможных конечных коэффициентов нефтеотдачи подсчитаны остаточные запасы статистическим методом и по кривой накопления [4]. В обоих случаях были получены сходные величины запаса.

Как видно из таблицы до 1946 г. на основном участке было использовано 0,46% балансового запаса (из которого 0,16 составляет безводная нефть, вычисленная по методике [5]), а на Баилове — 0,067 балансового запаса нефти (0,03 из них составляет безводная нефть).

На 1 января 1964 г. текущие коэффициенты нефтеотдачи для основного участка и Баилова соответственно составляют 0,56 и 0,52; конечные — 0,69 и 0,55.

Как показывают имеющиеся данные [1, 2, 3] геолого-физическая характеристика (гранулометрический состав, пористость, проницаемость,



Карта разработки восточного поля ПК свиты пл. Бибиэйбат на 1. 1. 1964 г.

- — работающие скважины;
- начальный контур нефтеносности;
- текущий контур нефтеносности;
- тектонические нарушения;
- горизонтали структуры кровли ПК.

карбонатность) рассматриваемых участков примерно одинакова. То же самое можно сказать и об условиях разработки.

Была подсчитана плотность сетки скважин для оценки влияния этого фактора на нефтеотдачу. Подсчет производился двумя методами: для основного участка по методу [5] получилось 7,5 и по методу [7]—14,2 га на скважину, для Байлова соответственно; 5,0 и 14,8 га на скважину. Следовательно, если пользоваться первыми значениями и считать, что для рассматриваемых участков плотность влияет на нефтеотдачу, последняя на основном участке должна была бы быть меньше, чем на Байлова. Подсчет по методике [7] показал, что, поскольку значения плотности оказались примерно одинаковыми, влияние этого фактора на конечный коэффициент нефтеотдачи следует исключить.

Годы	Основной участок (бухта + море)				Байлловский участок							
	Число скважин, эксплуат.	Дни эксплуатации (скв.-дн)	Добыча нефти за год, т	Средн. газов. фактор, $\text{м}^3/\text{т}$	Нараш. коэффиц. нефтеотдачи	Средний удельный вес нефти за год	Число скважин, экспл.	Дни экспл. (скв.-дн)	Добыча нефти за год, т	Средн. газов. фактор, $\text{м}^3/\text{т}$	Нарашен. коэффиц. нефтеотдачи	Средний удельный вес нефти за год
1938	1	121	41 403	—	0,3	0,8835	—	—	—	—	—	—
1939	5	1156	327 018	221	2,63	0,8348	—	—	—	—	—	—
1940	17	4581	953 213	185	9,42	0,8866	—	—	—	—	—	—
1941	46	11 643	1 633 112	247	21,1	0,8877	2	519	21 273	108	1,26	0,8992
1942	44	13 797	1 306 502	200	30,5	0,8876	3	811	43 787	110	3,84	0,8902
1943	40	12 431	978 021	175,5	37,4	0,8885	2	683	30 557	191	5,64	0,8903
1944	43	12 272	680 035	193	42,2	0,8919	1	366	10 180	—	6,27	—
1945	33	10 366	499 194	242	45,8	0,8917	1	373	8 289	—	6,76	—
1946	33	9259	456 292	266	49,1	0,8916	4	117	87 105	81,0	11,9	0,8930
1947	31	8899	381 201	202	51,8	0,8920	9	2769	148 457	142	20,65	0,8931
1948	31	8381	344 044	175	54,2	0,8917	18	4302	142 637	205	29,96	0,8915
1949	33	9792	299 242	220	56,3	0,8922	19	5460	111 637	261	35,64	0,8919
1950	30	8964	272 483	174	59,3	—	15	3643	66 847	193	39,58	—
1954	32	10 578	116 367	171	62,5	—	7	2373	14 808	152	46,73	—
1958	22	7861	56 003	166	64,7	—	6	1985	9 652	79	49,8	—
1962	21	6670	33 572	176	65,7	—	6	1821	5 527	—	51,63	—
1963	21	6927	33 326	131	66,0	—	6	1609	4 839	—	52,0	—

Изучение влияния извлеченной воды на 1 м^3 объема пор показало, что на Байлова добыто 0,78 м^3 , а на основном участке—0,52 м^3 пластовой воды, т. е. и этот показатель не может объяснить имеющуюся разницу в нефтеотдаче.

Таким образом, разница в коэффициентах нефтеотдачи этих участков, составляющих единую залежь, может объяснена только тем, что они начали разрабатываться по времени в разные сроки. При этом меньшая нефтеотдача получена на том участке, разработка которого началась позже.

Влияние опережающей разработки основного участка на Байлловскую площадь сказалось в том, что уже в начальный период его разработки характер эксплуатации скважин, количество фонтанирующих скважин, период фонтаний эксплуатации и начальные дебиты скважин были меньше, чем в первые годы разработки основного участка.

Причиной этого является то, что на Байлловском участке еще до начала разработки вследствие падения пластового давления растворенный в нефти газ начал выделяться и перемещаться в сторону основного участка. Это следует также из того, что удельный вес нефти

первых скважин на Байлова был такой же, как на основном участке, лишь через 7 лет после начала разработки.

Таким образом, анализ геологопромысловых данных разработки ПК свиты восточного поля Бибиейбата позволяет сделать следующие выводы:

1. В том случае, когда залежь нефти представляет единый резервуар, опережающая разработка отдельных ее участков в условиях смешанного режима приводит к уменьшению конечных коэффициентов нефтеотдачи участков, начавших разрабатываться позже.

2. Если по каким-либо причинам вся залежь в целом не может быть включена в разработку одновременно, то в целях достижения высоких конечных коэффициентов нефтеотдачи целесообразно неразрабатываемые участки отделять от эксплуатирующихся водяным барьером, т. е. закачкой воды в нагнетательные скважины, расположенные на границе между участками.

Осуществление такого мероприятия, понятно, должно базироваться на соответствующих технико-экономических расчетах.

Разрезание залежи должно применяться не только для залежей, имеющих большие размеры (Ромашкино—второе Баку, "Ширваннефть"—Азербайджан и др.), но также и для залежей с небольшой площадью нефтеносности.

ЛИТЕРАТУРА

- Потапов И. И. Апшеронская нефтеносная область. Изд. АН Азерб. ССР, 1954.
- Мустафаев М. М. История разработки Бибиейбатского месторождения. 1961.
- Алиев А. Г. Петрография третичных отложений Азербайджана. Азнефтепиздат, 1954.
- Пермяков И. Г., Саттаров М. М., Геккин И. Б. Методика анализа разработки нефтяных месторождений. Гостоптехиздат, 1952.
- Аванесов В. М., Джабаров А. А. К вопросу определения безводной и водной нефтеотдачи по данным разработки. АНХ, № 12, 1959.
- Гришин Ф. А. О влиянии плотности размещения скважин на конечную нефтеотдачу залежи с режимом растворенного газа. Труды МИНХ и ГП им. Губкина, вып. 48, 1964.
- Бланк Г. И., Черномордик М. З., Мартirosова З. А. Предварительный анализ коэффициентов нефтеотдачи по промысловым данным месторождений Азерб. ССР, приуроченных к продуктивной толще. Опыт разработки нефтяных и газовых месторождений, 1963.

Институт проблем глубинных нефтегазовых месторождений

Поступило 28. VII 1964

Б. М. Листенгарден, Э. М. Садыгов, Г. Э. Султанов

Жатағын бир үйлесінин габагчадан ишләнілмәсінин онун соң нефтвөрмә әмсалына тә'сирі һағыла

ХУЛАСӘ

Мәгаләдә Бибиейбетин кирмәқиалты дәстәси шәрг тектоник саһесінин, әввәлчәдән ишләнілмәје башламыш дәніз вә бухта үйлесінин мә'лүм сәбәбләре көрә ишләнілмәсі 7 ил кечікән Бајыл саһесінин нефтвөрмә әмсалына тә'сирі мәсәләләрине баҳылыр.

Бухта вә дәніз саһесінин тез ишләнілмәсіндән әмәлә кәлмиш тәэсіг дүшкүсү иәтичәсіндә Бајыл саһесіндәки нефтдә газлар айрыларға чынуба—әсас саһәләх ахмышдыр.

Бұна көрә дә Бајыл саһесінин чары вә соң нефтвөрмә әмсалы әсас саһәдән ашагы алынъыр. Әкәр мүәлжін сәбәбләре көрә вайид жатағын ёни заманда истиスマра башламаг имканы олмадыгла, оның сүн'и сурәтдә суварма үсулу илә истиスマра башлајан саһәдән айырмаг ла-зындыр.

ГЕОФИЗИКА

Ш. С. РАГИМОВ, Ф. Т. КУЛИЕВ, К. Ш. ИСЛАМОВ

НУХА-ВАРТАШЕНСКОЕ ЗЕМЛЕТРЯСЕНИЕ 23 АПРЕЛЯ 1963 г.

(Представлено академиком АН Азербайджанской ССР М. А. Кашиевым)

23. IV 1963 г. в 06 ч. 39 мин. 22 сек. по Гринвичу с эпицентром между г. Нуха и г. Варташен произошло семибалльное землетрясение. По инструментальным данным, положение эпицентра определено [1, 2] с координатами эпицентра, найденными по макросейсмическим данным (рис. 1). Интенсивность землетрясения

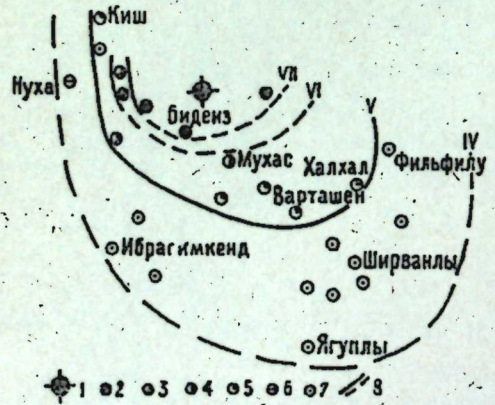


Рис. 1. Карта изосейст Нуха-Варташенского землетрясения 23. IV 1963 г.
1 — эпицентр землетрясения; 2 — сила землетрясения 7 баллов; 3 — 6 баллов;
4—5—6 баллов; 5—6 баллов; 6—4—5 баллов; 7—4 балла; 8—изосейсты.

В Баш-Дашагыле, Бидеизе и Баш-Кюнгуте землетрясение ощущалось с силой 7 баллов. В этих пунктах во многих зданиях группы А и Б имеются значительные повреждения (рис. 2). Падала посуда (пиалы, стаканы в блюдцах) и черепицы с крыш домов, сдвигалась легкая мебель; была паника, все выбегали из помещений.

В Орта-Зейзите и Баш-Зейзите землетрясение ощущалось с силой 6 баллов; в Мухасе и Кобар-Зейзите — с силой 5—6 баллов; в Варташене, Джалуте, Буджаче, Халхале и Кише — 5 баллов; в Нухе — 4—5

баллов; в Филь-Филу, Тайфли, Ягулы, Ашага-Кюнгуте, Ибрагимкенде, Доди, Айдын-Булаке, Кумлахе, Ширванлы, Варданлы, Падаре и Хачмасе — 4 балла.

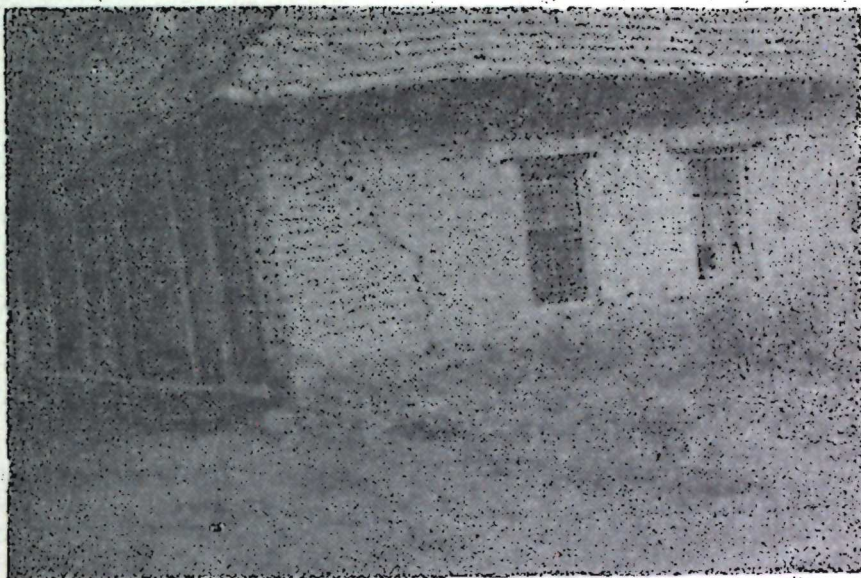


Рис. 2. Пример характерной сквозной трещины в одноэтажных домах с каменными стенами на цементном растворе (с. Баш-Кюнгут).

Из-за отсутствия населенных пунктов в горных районах северную часть области землетрясения обследовать не удалось.

ЛИТЕРАТУРА

1. Левицкая А. Я., Лебедева Т. М. Годограф сейсмических волн Кавказа. Квартальный сейсмический бюллетень. Тбилиси, 21, № 1—4, 1963.
2. Кузнецов В. П. Годограф землетрясений Юго-восточного Кавказа. Изв. АН СССР*, сер. геофиз., № 6, 1961.
3. Медведев С. В. Инженерная сейсмология. Госстройиздат. М., 1962.
4. Айазов И. В. Зависимости между балльностью, интенсивностью и глубиной очага для кавказских землетрясений. Сообщения АН Груз. ССР, XXVI, № 2, 1961.

Институт геологии

Ш. С. Рагимов, Ф. Т. Гулиев, К. Ш. Исламов

28. IV 1964

23 апрел 1963-чү ил Нуха-Варташен зэлзэлэсн

ХУЛАСЭ

1963-чү ил апрелин 23-дэ Гринвич вахты илэ. saat 06. 39 дэгигэдэ. Нуха-Варташен эразисиндэ 7 бал күчүндэ зэлзэлэ баш вермишдир. Чинааларын вердији вэ зэлзэлэ рајонунун юхланылмасындан алнаан ма'луматлара эсасэн $M = \frac{1}{4}$ вэ очагын дэрилиji $h = 5-10$ км-дир.

Мэгэлдэ мүхтэлиф јашајыш мэнтэгэлэриндэ зэлзэлэний нечэ бал күчүндэ нисс едилмэснэагында мэ'лумат верилир.

ПАЛЕОНТОЛОГИЯ

Р. А. АЛИЕВ

К ПАЛЕОНТОЛОГИЧЕСКОЙ ХАРАКТЕРИСТИКЕ
НИЖНЕГО МЕЛА ЮГО-ВОСТОЧНОГО КАВКАЗА

(Представлено академиком АН Азербайджанской ССР А. Д. Султановым)

Нижнемеловые отложения на юго-восточном Кавказе имеют широкое распространение. Они выражены нормально морскими и флишевыми отложениями. Палеонтологическая характеристика этих отложений до последнего времени была довольно скучной. Сделанные различными исследователями отдельные палеонтологические находки были крайне недостаточными для дробного расчленения разрезов этих отложений.

С началом палеонтолого-стратиграфических работ на юго-восточном Кавказе палеонтологическая характеристика их сильно дополнилась. В связи с этим возникла необходимость осветить в литературе все известные в настоящее время палеонтологические находки в нижнем мелу юго-восточного Кавказа, включая и новые, сделанные автором статьи.

Отложения валанжина в фации органогенно-обломочных и доломитизированных известняков фаунистически слабо охарактеризованы. По р. Вельвелячай в Тенгинском ущелье, по нашим сборам, они содержат следующую фауну: *Arcomytilus couloni* Marg., *Spondylus roemerii* Desh., *Rectithyris* sp., *Lacunosella* sp. На г. Шахдаг в этих отложениях встречена *Bebekella corallina neocomiensis* Jac. et Fall. и *Neithea atava* Roemer.

Во флишевой фации отложения валанжина (известняки, мергели, глины) подразделяются на 3 части. Нижний валанжин, по нашим сборам, содержит фауну аммонитов, белемнитов и аптихов: *Berricasella pontica* Ret., *Euthymiceras transfigurabilis* Bogos., *Neocomites occitanicus* Opp., *Conobelus conicus* Blainv., *Duvalia lata* Blainv., *Punctptychus punctatus* Volz, *P. imbricatus* Meuer, *P. malbos* Pict., встречающихся по р. Вельвелячай. По р. Гильгильчай и в Угахском овраге он характеризуется богатым комплексом фауны, собранным В. Е. Ханиным [8, 9] А. Г. Халиловым (12) и дополненным нами: *Berricasella calisto* Orb., *B. calisto carpathica* Zitt., *B. calisto subcalisto* Toucas, *B. calisto delphinensis* Kil., *B. subchapeli* Ret., *B. subrichteri* Ret., *B. obtusenodosa* Ret., *B. euxina* Ret., *B. privasensis* Pict., *Ptychophylloceras semisulcatum* Orb., *Protetragonites quad-*

risulcatus Orb., *Thurmannites cf. rarefurcatus* Pict., *Neocomites suboccitanicus* Rét., *N. occitanicus* Opp., *Dalmasiceras cf. crassicostatum* Djan., *Himalayites aff. corata* Ari Kil., *Spiticeras aff. proteus* Ret., *Sp. aff. negreli* Math., *Sp. cf. gevreyi* Djan., *Conobelus cf. extintorius* Rasp., *Rhynchoteuthis gibberoides* Till., *Rh. triangulata* Till., *Gonatocheilus brunneri* (Ooister), *Leptocheilus cheiliarensis* Till. и др.

Средний и верхний валанжин (глины, мергели, микроконгломераты) здесь содержат фауну белемнитов, аптихов и гастропод, найденных нами по р. Вельвелячай: *Pseudobelus gi. iltschaensis* Ak. A. Alizade, *Duvalia critica* Karak., *D. lata* Blainv., *D. lata constricta* Uhlig, *D. binervia* Rasp., *D. (Polygonalia) polygonalis* Blainv., *Conobelus conicus* Blainv., *C. extintorius* Rasp., *Lamelloptychus didayi* Coq., *Multyptyxis airigulensis* Pce. В верховых р. Пирсагат нами собраны аптихи, принадлежащие к *Lamelloptychus didayi* Coq.

Отложения готерива в фации зоогенных известняков, глин и песчаников повсеместно заключают довольно обильную и разнообразную фауну. По р. Тагирджалчай она представлена кораллами, морскими ежами, пелециподами, брахиоподами и др., определенными В. П. Ренгарденом [7]. В наших сборах оказались: *Limorphoceania crassisepta* Solomko, *"Terebratula" acuta acuta* Queenst., *Iotrigonia scapha* Agas., *Lopha rectangularis* Roem. и др.

На г. Шахдаг нами собраны: *Eugyra neocomiensis* From., *Discoidea karakaschi* Renng., *Cydaris* sp. ind., *Pyrina* sp. ind., *Spondylus* sp., *Mesohibolites* sp. По р. Кусарчай в этих отложениях была обнаружена фауна аммонитов и пелеципод: *Speetoniceras inostriani ewi* Karak., *Chlamys goldfussi* Desh., *Ch. robinaldinus* Orb., *Spondylus* sp., *Lima aubersonensis* Pict. et Camp., *Amphidonta subsinuata* Leym., *Arca sanctae-crucis* Pict. et Camp.

Во флишевой фации отложения готерива (глины, мергели, известняки, микроконгломераты) богато фаунистически охарактеризованы. По р. Карабай нами встречены: *Eugyra cottaei* From., *Lamelloptychus angulicostatus* Pict. et Lor. В верховых р. Вельвелячай фауна представлена аммонитами и редкими аптихами: *Phyllopachyceras eichwaldi* Karak., *Biasaloceras subsequens* Karak., *Crioceratites kilianii* Sim., *Cr. cf. nolani biassalensis* Lupp., *Anahamulina* sp. ind., *Lamelloptychus angulicostatus* Pict. et Lor.

Обильная фауна встречается по р. Гильгильчай. Здесь нами найдены: *Eugyra cottaei* From., *Centrastraea sablensis* Karak., *Cyatophora antiqua* From., *Styliina* sp. ind., *"Terebratula" moutoniana* Orb., *T. salevensis* Lor., *Terebratulina* sp., *Pleurotomaria sabensis* Karak., *Pterotrigonaria* sp. ind., *Lithophaga oblonga* Orb., *Exogryra tuberculifera* Koch et Dunk., *Cucullaea* sp., *Pentacrinus* sp., *Conobelus orbignyanus* Duval, *Duvalia lata* Blainv., *Pseudothurmania* sp. ind., *Leptocheilus gilgilensis* R. Aliev, многочисленные мшанки и иглы морских ежей.

Наиболее обильная фауна встречается в отложениях баррема. Эти отложения в фации известняков, глин и микроконгломератов по р. Тагирджалчай содержат фауну аммонитов, пелеципод, брахиопод, мшанок, определенных В. П. Ренгарденом [7] и Т. А. Мордвинко [6]. Наши сборы и сборы В. Е. Ханна [8] заключают следующие формы. *Iotrigonia renngarteni* R. Aliev, *I. abichi* Anth., *Litschkovitrigonia subdaedalea* Renng., *Gervillia alaeformis* Sow., *Neithea morrisi* Pict. et Ren., *N. atava* Roem., *N. daghestanica* Renng., *Amphidonta subsinuata* Leym., *Lopha rectangularis* Roem., *Panope neopicta*, *Ptychophylloceras semisulcatum* Orb., *Protetragonites quad-*

comiensis Leym., *Orbitolina* sp., *Bebekella gibbsiana bedouliensis* Jac. et Fall., *B. lata minor* Jac. et Fall., *B. multiformis ardescica* Jac. et Fall., *B. popchadi* R. Aliev, "Terebratula" *biplicata* (Brocchi), *Limophastraea crassisepcta* Orb., *Discoidea karakaschi* Renng., *Pliotoxaster collegnei* Sism., *Cymatoceras neocomense* Orb. и др.

На г. Шахдаг в барреме обнаружена фауна пелеципод, брахиопод и гастропод: *Chlamys goldfussi* Desh., sp., *Tylostoma depressum* Pict. et Camp., *T. taurica* Karak., *Pleurotomaria* cf. *subansledii* P. Lacunosa *moutoniana* Orb.

Во флишевой фации барремские отложения (глины, мергели, известняки) также содержат многочисленную и разнообразную фауну. На р. Карабай нами встречены аммониты: *Phyllopachyceras infundibulum* (Orb.), *Biasaloceras subsequens* Kar. В верховых р. Вельвелячай в этих отложениях найдена фауна, представленная: *Monopleura urgonensis* Math., *Lithophaga oblonga* Orb., *Modiola* sp. ind., *Zeilleria tamarindus* Sow., *Pleurotomaria* sp. ind., *Nerinea* sp. ind., *Leiocidaris hirsuta* Schlüter., *Plesiocidaris hirsuta* Marg., *Luvalia* sp. ind. и др. На р. Чикильчай нами собраны аммониты, белемниты и ринхолиты: *Barremites charrieri* Orb., *B. difficilis* Orb., *Phyllopachyceras infundibulum* Orb., *Euphyllloceras sablyensis* (Karak.), *Xenocheilus* sp., *Rhynchoteuthis* sp., *Hadrocheilus costatus* Tilly, *Luvalia lata* Blainv., *L. gracilis* Duval-Jouve, *Neohibolites* sp. ind.

В. П. Ренгартен определил фаунуrudистов из окрестностей г. Дибрап по сборам В. Е. Хани [8]. По pp. Атакай и Кызылчай А. Г. Халилов [10] встретил ринхолиты. В наших сборах, сделанных по р. Тудар, оказались: *Lithophaga oblonga* Orb., *Amphidonta subsinuata* Leym., *Astarte subcostata* Orb., *Grammatodon securis* (Leym.), *Chlamys robinaldinus* Orb., *Monopleura urgonensis* Math., *M. birostrata* Math., *Eugyra cotteai* From., *Hadrocheilus transcaucasicus* R. Aliev и др.

В барремских отложениях г. Дибрап встречены: *Isastraea karkashi* Damp., *Amphidonta subsinuata* Leym., *Salfeldiella milaschewitschi* Karak., *Hadrocheilus dibrarensis* R. Aliev. А. Г. Халилов [11] определил из различных пунктов фауну карликовых аммонитов. З. А. Мишунина [4] приводит большой список фауны, определенной ею из Северного Казахстана.

Отложения апского яруса в фации глин, мергелей и изгестияков на г. Шахдаг содержат фауну аммонитов, белемнитов, пелеципод и брахиопод: *Biasaloceras striatum* Druzc., *Phyllopachyceras ectostatum* Druzc., *Epichelonceras* sp. ind., *Neohibolites* sp. ind., *Glycimeris sublaevis* Sow., *Lima gaultina* Woods., *Aucellina caucasica* Buch., *Lacunosa moutoniana* Orb., *Zeilleria tamarindus* Sow. В. П. Ренгартен [7] определил ряд форм аммонитов, пелеципод, белемнитов и брахиопод из окрестностей сел. Лаза.

Во флишевой фации отложения апта подразделяются на две части. Нижний апт (глины, мергели) повсеместно содержит фауну белемнитов, определенную в разное время З. А. Мишуниной [5], Г. Я. Крымгольцем [8], Ак. А. Ализаде [2] и нами [1]. Отложения верхнего апта (пестроцветные глины, мергели) здесь до последнего времени датировались фауной белемнитов, определявшихся указанными выше исследователями. Проведенные нами исследования позволили на р. Атакай впервые обнаружить в этих отложениях аммониты и пелециподы: *Euphyllloceras velleae* Mich., *Crioceratites elegans* Orb., *Epichelonceras martini caucasica* Anth., *E. martini orientalis* Jac., *E. sub-*

nodosocostatum Sinz., *E. tschernyschewi* Sinz., *Aucellina anthulai* Pavl., *A. aptiensis* Orb., *A. caucasica* Buch. Последние 2 формы собраны также В. А. Гросгеймом [8] на р. Тегчай.

Отложения альба (глины, мергели, алевролиты, песчаники, пиробитуминозные сланцы) во флишевой фации характеризуются фауной белемнитов и пелеципод. В нижнем альбе согласно определениям З. А. Мишуниной [5], Г. Я. Крымгольца [8] и Ак. А. Ализаде [2] присутствуют: *Neohibolites minor* Stoll., *N. andrusovi* Natz., *N. strombecki* Müll. и др. Средний альб характеризуется *Neohibolites minimus* List., *N. pinguis* Stoll., *N. styloides* Renng., *N. attenuatus* Sow. В верхнем альбе встречаются пелециподы и белемниты: *Aucellina nassibianzi* Sok., *A. gruyraeoides* Sow., *A. rotresekji* Pavl., *Parahibolites pseudoduvallii* Sinz.

На р. Чикильчай в отложениях альба нами найден *Hadrocheilus tschikiltshaensis* R. Aliev.

ЛИТЕРАТУРА

1. Алиев Р. А. Изв. АН Азерб. ССР, № 6, 1957.
2. Ализаде Ак. А. Изв. АН Азерб. ССР, сер. геол.-геогр. наук, № 3, 1960.
3. Луппов Н. И. ДАН. СССР, т. XXXII, № 4, 1941.
4. Мишунина З. А. Тр. НГРИ, сер. Б, вып. 14, 1932.
5. Мишунина З. А. Тр. НГРИ, сер. А, вып. 74, 1935.
6. Пустовалов И. Ф. Тр. ЦНИГРИ, вып. 83, 1936.
7. Ренгартен В. П. Изв. Геол. ком., т. XXVIII, № 9, 1909.
8. Хани В. Е. Тр. Ин-та геологии АН Азерб. ССР, т. XIII, 1947.
9. Хани В. Е. Геотектоническое развитие юго-восточного Кавказа. Аирафензат, 1950.
10. Халилов А. Г. ДАН Азерб. ССР, т. XVII, № 1, 1931.
11. Халилов А. Г. Изв. АН Азерб. ССР, сер. геол.-геогр., № 4, 1962.
12. Халилов А. Г. Изв. АН Азерб. ССР, сер. геол.-геогр., № 4, 1963.

Поступило 23. III 1964

Институт геологии

Р. Э. Элиев

Чэнуб-шэрги Гафгазын алт тэбашириний палеонтологи характеристикасыны даир

ХУЛАСЭ

Чэнуб-шэрги Гафгазын алт тэбашириний палеонтологи характеристикасы сон заманлара гэдэр чох зэиф шэрх едилшидир. Бурада палеонтологи-стратиграфик ишлэрийн апарылмасынын сүр'этлэнмэсий илэ алт тэбашир наргында материаллар хөжли арты.

Мүэллиф мэгэлэдээ эдэбийжатда мөвчуд олан палеонтологи йенилжилрэдэн элавэ, өзүнүн элдэ етижи йени мэ'луматларындан бэхс едир.

СТРАТИГРАФИЯ

Т. А. ГАСАНОВ, Т. А. ГАСАНОВ

О ПРИСУТСТВИИ СИНЕМЮРСКИХ ОТЛОЖЕНИЙ
В БАССЕЙНЕ р. АХҮНДЖАЧАЙ (АЗЕРБАЙДЖАН)

(Представлено академиком АН Азербайджанской ССР К. А. Ализаде)

Отложения нижней юры, в частности синемюрского яруса, на Малом Кавказе имеют весьма ограниченное распространение и выступают на дневную поверхность лишь в пределах Локского и Шамхорского поднятий.

По данным К. Ш. Нуцубидзе [4], на периферии Локского кристаллического массива отложения синемюрского яруса представлены свитой слюдистых песчаников и глинистых сланцев. Отсюда им определены *Vermiceras aff. supraspiratus* Wahn., *Coroniceras cordieri* Cap. var. *bifurcata* Nuz., доказывающие наличие зоны *Arietites bucklandi* нижнего подъяруса синемюра.

Присутствие синемюрских отложений в Азербайджане впервые доказано Т. А. Гасановым [3]. Им в 1962 г. в верхнем течении р. Асрикчай (ущелье Беюк-Кишлак) среди серых песчаников обнаружена и определена следующая аммонитовая фауна: *Arnioceras abjectum* (Fucini), *Canavarites* sp. indet. и др.

В 1963 г. Т. Аб. Гасанов во время проведения детальной геологической съемочной работы (в масштабе 1:25 000) в бассейне рр. Асрикчай и Ахынджачай в ущелье Беюк-Кишлак также собрал аммонитовую фауну, которая, по определению Т. А. Гасанова, оказалась *Arnioceras* sp. Indet., *Canavarites* sp. indet. Здесь же найдены и мелкие пелепциподы, не противоречащие определению синемюрского возраста серых песчаников.

Т. Аб. Гасанов (1) в районе сел. Сафарли выше базальных конгломератов (геттанг?) и ниже глинистых сланцев тоара выделяет без палеонтологического обоснования серицито-кварцевые песчаники геттанга (?). Им же летом 1963 г. в период полевых работ среди серых песчаников, расположенных выше "белого горизонта", впервые были обнаружены: *Vermiceras* sp. (ex gr. *conybeari* (Sow.), V. sp. indet., *Arietites* sp. Indet., *Arnioceras* sp. indet., *Coroniceras* sp. и др. (определ. Т. А. Гасанова), определяющие синемюрский возраст вмещающих пород.

Совместный маршрут Т. А. и Т. Аб. Гасановых в августе 1963 г. дал возможность прийти к единому мнению о стратиграфическом по-

ложении горизонта серых песчаников и сопоставлению их с таковыми Асрикчая, установленному еще раньше.

В среднем течении р. Ахынджачай отложения, относимые нами к синемюрскому ярусу, выступают в ядре локальной антиклинальной складки, простирающейся в северо-западном направлении, которая вследствие Гаядибинского и Карадашского тектонического нарушений опрокинута на юг и юго-запад. Место сопряжения этих двух разрывных нарушений образует блоковое спущение и поднятие, в результате чего в северо-восточной части сел. Сафарли синемюрские серые песчаники приведены в тектонический контакт с базальными конгломератами, вероятно, геттанского возраста.

Синемюрские отложения прослеживаются, начиная с северо-западной части сел. Сафарли до Беюк-Кишлакского перевала. В последнем в связи с погружением выше отмеченной локальной антиклинальной складки отложения синемюрского яруса несогласно перекрываются верхнетоарскими образованиями. На южном и юго-западном крыле данной складки синемюрские серые песчаники постоянно переходят в алевротуффиты и глинистые сланцы серого и буровато-серого цветов. Последние по своему стратиграфическому положению и литологической особенности аналогичны с таковыми бассейна р. Асрикчая, возраст которых установлен Т. А. Гасановым как домерский [2].

Ахынджачайские и Асрикчайские синемюрские отложения по геолого-петрографическим особенностям аналогичны, но имеют некоторое отличие, которое выражено в следующем: Ахынджачайские серые песчаники в отличие от Асрикчайских более плотные, толстослоистые, местами известковистые и без прослоев известняков.

Ниже приводим послойный разрез, снятый нами в северо-западной части сел. Сафарли, где азимут падения пластов ЮЮЗ 220° и угол падения 25–45°.

Серицито-кварцевые песчаники, называемые нами "белым горизонтом", выше по разрезу представляют собой:

1) пачку серых серицитовых песчаников, состоящих из:
а) толстослоистых, массивных слабоизвестковистых, серицитовых песчаников с примесью туфогенов. Известковистость в отдельных местах увеличивается. Порода имеет кластическую и литокристалло-кластическую структуру. Терригенный материал в них представлен: мелкими окатанными или угловатыми обломками кварц-порфиров, кварц-порфиритов, карбонатных пород, туфов, слюды и рудного минерала. Тип цемента базальный. Среди слабоизвестковистых песчаников собраны и определены: *Vermiceras* sp. ex gr. *conybeari* (Sow.), *Vermiceras* sp. Indet., *Arietites* sp. indet., *Arnioceras* sp. indet., *Coroniceras* sp. и др. Мощность 25 м.

б) среднеслоистых серицитовых песчаников, включающих линзы (10–30 см), лиловато-серых глинистых песчаников и прослойки (5–15 см) алевротуффитов, последние меняют свой цвет от серого до фиолетово-серого. Серицитовые песчаники местами слабо известковистые и в верхней части разреза становятся глинистыми.

Мощность 10,5 м.
2) чередование серых песчаников (20–50 см) и алевротуффитов (5–25 м) с преобладанием первых. Серые песчаники по простиранию officially переходят в туфопесчаники, которые плохо отсортированы и содержат плохо сохранившиеся аммониты: *Coroniceras* sp. Indet., *Arnioceras* sp. Indet. и др. Мощность 4,5 м.

Общая мощность синемюрских отложений в данном разрезе—40 м.
Уместно будет указать, что нижнелейасские серицитизированные кварцевые тонкозернистые песчаники, распространенные в междуречье

Ахынджачая и Асрикчая, очень плотные и трудно поддающиеся обработке. В них условия захоронения фауны неудовлетворительные, и целые экземпляры остатков фауны найти трудно. Все сказанное полностью относится к разрезу синемюрских отложений сел. Сафарли, где почти отсутствуют целые экземпляры остатков фауны. Несмотря на это, представляется обосновать стратиграфический возраст серых песчаников, так как аммонитовая фауна играет главную роль при биостратиграфическом расчленении отложений юрской системы.

В серых песчаниках были обнаружены аммониты из родов *Vermiceras*, *Arietites*, *Arnioceras*. Представители данных родов распространяются в следующих диапазонах: *Arnioceras* Hyatt — верхняя часть геттансга — синемюр Западной Европы, Северной и Южной Америки, Малайского архипелага; *Arietites* Waagep — синемюр Грузии, Карпат, Западной Европы и *Vermiceras* Hyatt — синемюр-лотаринг Грузии, Карпат, Западной Европы, Южной Америки.

Наличие представителя рода *Arietites* обосновывает синемюрский возраст вмещающих их отложений, и найденные с ними вместе *Arnioceras*, *Vermiceras* не противоречат такому выводу.

Синемюрские песчаники в нижней части разреза содержат огромное количество туфогенных материалов и редко обломки туфобрекции. Это свидетельствует об Ахынджачайских синемюрских терригенных отложениях, которые осаждались недалеко от вулканического центра и проявились в нижнем лейасе. Однако незначительная обнаженность лейасских образований междууречья Ахынджачая и Асрикчая не дает возможности определить местонахождение предполагаемого вулканического центра.

ЛИТЕРАТУРА

1. Гасанов Т. Аб. О присутствии тоарских и ааленских отложений в среднем течении р. Ахынджачай (Малый Кавказ). ДАН Азерб. ССР*, т. XIX, № 5, 1963;
2. Гасанов Т. А. О присутствии домерских отложений в бассейне р. Асрикчай (Азербайджан). ДАН Азерб. ССР*, № 7, 1963; З. Гасанов Т. А., Абдулкасумзаде М. К. Биостратиграфия юрских отложений восточной части Малого Кавказа (по аммонитовой фауне). Материалы к XXII Международному геологическому конгрессу в Индии. Изд. АН Азерб. ССР, 1964; 4. Нуцубидзе К. Ш. Зоны лейаса в Грузии и прилегающих районах Кавказа. Доклады советских геологов к I Международному коллоквиуму по юрской системе. Тбилиси, 1962.

Институт геологии
Азгеологоуправление

Поступило 20. XII 1963

Т. Аб. Һәсәнов, Т. А. Һәсәнов

Ахынчачай һөвзәсиндә синемյур чөкүнүләринин
варлығына даир (Азәрбајҹан)

ХУЛАСЭ

Синемյур чөкүнүләри Кичик Гафгазда чох аз интишар тапараг Лох вә Шамхор антиклиниориләри саһәсиндә мә'лумдур. Азәрбајҹанда бу чөкүнүләрин варлығы илк дәфә 1962-чи илдә Т. А. Һәсәнов тәрәфин, дән Эсрикчайын јухары һөвзәсиндә боз гумдашыларындан јығылан вә тә'јин едилен палеонтологи галыглара әсасән мә'лум олмушдур.

1963-чү илдә Т. Аб. Һәсәнов тәрәфиндән Эсрикчай вә Ахынчачай һөвзәләриндә апарылан кеоложи-планалма иәтичәсиндә боз гумдашыларының кениш бир саһәдә Ахынчачай һөвзәсиндә вә Сәфәрли кәндин-

дә интишар тапмасы илк дәфә көстәрилмиш, күлли мигдарда фауна јығылараг Т. А. Һәсәнов тәрәфиндән тә'јин едилемшидир. Бу палеонтологи галыглар Т. А. Һәсәновун тә'јининә көрә, гумдашыларының синемյур јашлы олмасыны көстәрир.

Ахынчачай һөвзәсиндә синемյур чөкүнүләри һеттанг јашлы кварслы гумдашылары үзәринә ујғун јатырлар. Бу чөкүнүләр өз һөвзәсинде түнд боз рәккли килли шистләрә кечир. Ахырынчыларын јашыны Эсрикчай һөвзәсийдәки килли шистләрлә мугајисә едәрәк дөмер [2] гәбул етмәк олар.

СТРАТИГРАФИЯ

О. Б. АЛИЕВ

МАТЕРИАЛЫ К УСТАНОВЛЕНИЮ КОНЬЯКСКИХ
ОТЛОЖЕНИЙ В МАРДАКЕРТСКОМ РАЙОНЕ (АЗЕРБАЙДЖАН)

(Представлено академиком АН Азербайджанской ССР М. М. Алиевым)

Детализация схемы стратиграфического расчленения верхнемеловых отложений Азербайджана диктуется возможной нефтегазоносностью их и приуроченностью к ним ряда месторождений рудных и нерудных полезных ископаемых.

Как известно, коньякские отложения в пределах Азербайджанской части Малого Кавказа имеют сравнительно большее распространение, чем сеноманские, и представлены весьма разнообразными фациально-литологическими типами отложений и палеогеографическими условиями, что способствовало развитию в это время весьма разнообразного комплекса фауны.

До последнего времени многие исследователи считали, что в северо-восточной части Малого Кавказа коньякские отложения имеют ограниченное распространение. Это объяснялось тем, что всеми предыдущими исследователями коньякские отложения в указанной зоне ошибочно датировались как сеноманские.

Однако специальными палеонтолого-стратиграфическими исследованиями О. Б. Алиева (1961), Р. Н. Мамедзаде (1951) и Х. Алиулла (1961) фаунистически удалось доказать, что указанные отложения большей частью являются коньякскими.

В настоящей статье приводятся новые данные о присутствии коньякских отложений в Мардакертском районе.

1958—1961 гг. на северо-восточном склоне азербайджанской части Малого Кавказа в пределах Мардакертского прогиба нами проводились палеонтолого-стратиграфические исследования. При обработке богатого палеонтологического материала из района сел. Магавуз, Мохратаг, Люлясаз, Атерк нами констатированы фаунистически охарактеризованные коньякские отложения.

Коньякские отложения в северо-восточной части Малого Кавказа, как правило, с базальными конгломератами в основании лежат на более древних отложениях от средней юры до верхнего альба включительно.

В Мардакертском районе коньякские отложения обычно следуют непосредственно за сеноманом и туроном (?), хотя и с признаками некоторого стратиграфического несогласия.

Полоса выходов отложений коньяка от сел. Мадагиз протягивается прямо на юг через сел. Люлясаз, между сел. Магавуз и Мингрельское к сел. Мохратаг и Агабекалиндже.

На расстоянии 1 км к СВ от сел. Люлясаз наблюдаются выходы коньякских отложений, представленных (70-метровой) толщей серых массивных, местами рыхлых, сильноизвестковистых, мелкозернистых туфопесчаников с *Neithe aequicostata* Sow., *Trigonoarca quadrans* Renng., *Pectunculus* sp.

Далее, в 1,5 км к СВ от сел. Люлясаз описанные отложения приобретают обратное падение.

В 2—2,5 км к СВ от сел. Люлясаз, вкрест простирания обнажаются:

1) пачка (мощность 65 м, аз. падения 105°, угол падения 40°) желтовато-серых, серых, тонко- и среднезернистых, сильноизвестковистых песчаников, переходящих местами в верхней части в серые сильноизвестковистые плотные известняки. Здесь встречены многочисленные гастроподы и пелециподы: *Ampullospira substantoni* Psel., *Haustator* sp. ind., *Drepanochilus* sp. ind., *Actaeonella crassa* (Duj.), *A. grandis* Psel., *A. cf. khalilovi* K. Aliev, *A. gracilis* Psel., *A. terterensis* O. Aliev, *Trochactaeon* cf. *angustatus* Psel., *Pectunculus* sp. ind., *Plagioptychus* sp., *Radiolites* sp. ind., *Cardium productum* Sow., *Cardium* sp. ind., *Inoceramus* cf. *inconstans* Woods, *Neithe aequicostata* Sow., *N. quinquecostata* Sow., *Ostrea* sp. ind.;

2) серые плотные тонкослоистые сильноизвестковистые известняки с прослойками сильноизвестковистых песчаников (мощность 40 м, аз. падения 105°, угол падения 40°). Отсюда собраны: *Inoceramus* cf. *wandereri* And., *In. cf. koegleri* And., *In. ex gr. frechi* Flegel, *Trochactaeon* sp. и морской еж плохой сохранности.

Общий комплекс фауны, приведенный в пп. 1 и 2, весьма тождествен с ассоциациями нижнеконьякской фауны Агджакендского прогиба и характеризует нижнеконьякский возраст вмещающих их отложений.

Далее местность задернована, и лишь отдельными пятнами обнажаются сначала зеленовато-серые среднезернистые туфопесчаники, а затем и белые слоистые плитчатые известняки кампана.

Наиболее полный разрез коньяка был прослежен на СВ окраине сел. Мохратаг:

1. Розовые косослоистые, средне- и крупнозернистые, рыхлые, сильноизвестковистые туфогенные песчаники (мощность 6 м).
2. Зеленовато-серые, зеленые слоистые, местами очень рыхлые туфогенные песчаники (мощность 20 м).
3. Белые, белесовато-серые очень рыхлые, песчанистые, известковистые глины с прослойками плотного тонкослоистого мергеля с слоистыми плотными, местами рыхлыми известковистыми песчаниками (мощность 30 м, аз. падения 360°, угол падения 40°).
4. Серые массивные, плотные, тонкослоистые, часто скрытозернистые, сильноцементированные, сильноизвестковистые песчаники, переходящие в сильноизвестковистые известняки (мощность 80 м). В верхах пачки найдены *Inoceramus fizuliensis* O. Aliev sp. nov. (in coll.), *Inoceramus* cf. *inconstans* Woods и морской еж плохой сохранности.
5. Образующие карнизы серые, желтовато-серые, слоистые мергелистые известняки с прослойками желтых известковистых туфопесчаников (мощность 15 м, аз. падения 0—5°, угол падения 25°). Здесь обнаружены *Inoceramus inconstans* Woods и *Inoceramus* cf. *wandereri* And.

6. Пачка зеленых, зеленовато-серых, розоватых средне- и грубо-зернистых, неяснослоистых, рыхлых туфопесчаников (мощность 14 м).

7. Желтовато-серые, тонкозернистые, плотные, массивные, сильноизвестковистые песчаники (мощность 28 м, аз. падения 5°, угол падения 25°) с *Ostrea*, *Inoceramus* sp. и морским ежом плохой сохранности.

8. Выше следуют зеленовато-серые и оливково-серые известковистые глины (мощностью 210 м). Отсюда Х. Алиюлла (1961) определен комплекс верхнеконьякских фораминифер.

От сел. Люлясаз полоса выходов нижнеконьякских отложений протягивается к сел. Магавуз, в 3–4 км к северо-востоку от которого на дневную поверхность выходят белесовато серые слоистые, плотные песчанистые мергели и сильно песчанистые, местами переходящие в сильноизвестковистые мелко- и скрытозернистые песчаники. Мощность неполной обнаженной части разреза в двух соседних балках составляет соответственно 40 и 70 м (аз. падения 90°–100°, угол падения 23°). Здесь встречены *Inoceramus cf. inconstans* Woods, морской еж и *Exogyra* sp.

Далее, на расстоянии 1,5–2 км к СВ от описанного обнажения местность сильно задернована, местами виднеются клочки выходов серых комковатых глин, аналогичных глинам окрестностей сел. Мократаг. По-видимому, они также верхнеконьяк-нижнесантонского возраста. Затем обнажается полоса белесовато-серых плитчатых известняков кампан-маастрихтских отложений сравнительно малой мощности.

В юго-восточной части Турагачайского синклиниория в 2,5–3 км восточнее сел. Атерк по р. Пуртагат (левый приток р. Тертер) нами снят разрез коньякских отложений в следующей последовательности (снизу вверх).

1. Темно-серые, зеленовато-серые слоистые, плотные, трещиноватые мергели, среди которых встречаются отдельные слои карбонатных песчаников (аз. падения 45°, угол падения 20°, мощность 20 м).

2. Серые, массивные, крепкие трещиноватые средне- и грубозернистые туфопесчаники с редкими включениями хорошо окатанных галек (мощность 20 м).

3. Пачка серых, темно-серых плотных, слоистых мергелей с редкими включениями копала, слоями известковистых туфопесчаников (мощность 22 м, аз. падения 50°, угол падения 21°). Отсюда из наших сборов Х. Алиюлла определены: *Globotruncana linneiana* (Orb.), *Gl. aff. globigerinoides* Brotzen, *Stensiöina aff. praexsalpita* (Keller), *Gyroidina nitida* (Reus), *Güembelina ex gr. pseudotessera* Cushman и радиолярии.

После 15-метрового задернованного участка на дневную поверхность выходят:

4. Серые массивные, плотные, мелко- и среднезернистые, слабоизвестковистые туфогенные песчаники (мощность 20 м).

5. Конгломераты. Гальки представлены из различных осадочных пород (песчаников, мергелей и др.), (мощность 1 м).

6. Темно-серые, зеленовато-серые массивные, плотные, мелко- и среднезернистые туфопесчаники (мощность 30 м).

7. Оливково-серые, плитчатые, плотные мергели и серые плотные массивные глины и песчаники (общая мощность 50–60 м, аз. падения 35°, угол падения 21°).

8. Серые, зеленовато-серые массивные, плотные, сильноцементированные мелкозернистые туфогенные песчаники (мощность 30 м).

9. Темно-серые, массивные, местами более рыхлые известковистые глинистые песчаники с прослоями более плотного известковистого песчаника (мощность пачки 40 м), здесь встречен богатый комплекс

фауны: *Trigonoarca quadrans* Renng., *Trigonoarca* sp., *Isocardia karabakhensis* Bobk., *Cardium productum* Sow., C. sp., *Cyprimeria* sp. ind., *Inoceramus* sp., *Neithea quinquecostata* (Sow.), *Pecten virgatus* Nilss., *Pecten virgatus* Nilss. var., *Helicaulax pcelini* evi O. Aliev, *Haustator* sp. ind., *Callianassa atqua* Otto, *Pinna cretacea* Schloth., *Pinna cf. decussata* Goldf., *Cucullaea* sp., *Modiola* sp., *Inoceramus ex gr. crassus* Petr., *In. ex gr. gradatus* Egojan и др.

10. Серые местами рыхлые, глинистые песчаники с конкрециями пирита (мощность—20 м). Отсюда определены *Isocardia karabakhensis* Bobk., *Lrepanochilus cf. subcostae* Pcel., *Panopaea* sp. и обломок аммонита плохой сохранности.

11. Темно-серые известковистые, глинистые песчаники с прослоями (местами в виде конкреций) известняка. В глинистых песчаниках обнаружены: *Isocardia karabakhensis* Bobk., *Inoceramus* sp.

12. Темно-серые массивные, трещиноватые, часто с шарообразной отдельностью, известковистые, глинистые песчаники (мощность—25 м). Отсюда определена следующая фауна: *Isocardia karabakhensis* Bobk., *Cardium* sp. ind., *Inoceramus* sp. ind., *Neithea quinquecostata* (Sow.), *Panopaea* sp., *Exogyra* sp., *Modiola* sp. ex gr. *flagellifera* Forb., *Scaphites* sp. и реже обугленная древесина.

13. Серые, местами темно-серые, неяснослоистые, глинистые песчаники с прослоями более плотного известковистого песчаника. В середине этой 14-метровой по мощности пачки порода переполнена ребристыми экзогиграми. Несколько выше экзогигрового слоя обнаружен *Neogaudriceras* sp. ex gr. *denseplicatum* Gimbo.

В нижней половине этой пачки обнаружены *Trigonoarca bigerensis* Orb., Tr. sp., *Isocardia karabakhensis* Bobk., *Cardium cf. transcaucasicum* Bobk., *Cardium cf. productum* Sow., *Panopaea* sp., *Pinna* sp. ind., *Inoceramus* aff. *cordiformis* Sow., *Inoceramus* sp., *Pecten* (*Camptonectes*) *virgatus* Nilss., *Pecten* (*Camptonectes*) *kalkowskyi* Petr., *Neithea* cf. *aequicostata* Sow. *Pinna* sp. ind., *Gyrodes* sp., *Helicaulax* sp. ind., *Actaeon* cf. *subovatum* Pcel., *Haustator* sp. ind.

14. Зеленовато-серые известковистые глины (мощность—5 м).

15. Бурые рыхлые известковистые глины (мощность—5 м). Отсюда из наших сборов Х. Алиюлла определены: *Globotruncana lapparenti* Brotzen, *Globigerina cretacea* Orb., *Anomalia* ex gr. *clementiana* (Orb.), *Gyroidina* ex gr. *depressa* (Aith.), *Pullina* sp.

На неровной поверхности указанных глин залегает 100–120-метровая толща белесовато-серых плотных, сильно раздробленных, трещиноватых, брекчиевидных, пелитоморфных известняков, по-видимому, кампанского возраста. Среди них очень редко встречаются обломки морских ежей и иноцерамов.

ЛИТЕРАТУРА

1. Алиев О. Б. Стратиграфия и фауна меловых отложений северо-восточной части Малого Кавказа (междуречье Кошкарчай-Тертер). Автореф. канд. дисс. Баку, 1961.
2. Мамедзаде Р. Н. Fauna и стратиграфия верхнемеловых отложений северо-восточной части М. Кавказа. Автореф. канд. дисс. Баку, 1961.
3. Алиюлла Х. Микрофауна (фораминиферы) и стратиграфия верхнемеловых отложений восточных предгорий М. Кавказа (Агджакендский, Мардакертский и Мартунинский прогибы). Автореф. канд. дисс. Баку, 1961.
4. Ренгарташ В. П. Стратиграфия меловых отложений Малого Кавказа. Регион. страт. СССР, т. 6, Изд. АН СССР, 1959.

**Мардакерт районунда Конjak чөкүнгүләринин
тапылмасы нағында материаллар
(Азәрбајҹан)**

ХУЛАСЭ

Мәгаләдә Мардакерт районунда Конjak чөкүнгүләринин олмасы нағында јени мә'лumat верилир.

Мүэллиф 1958—1961-чи илләрдә Кичик Гафгазын Азәрбајҹан һиссә-синин шимал-шәрг этәјинде—Мардакерт чөкәклийинде палеонтологи-стратиграфик тәдгигат апармышдыр. Магавуз, Мохратаг, Лүләсаз, Атерк кәндләри әтрафындан топланылмыш зәнкин фауна галыгларынын дәгиг өјрәнилмәси бурада Конjak чөкүнгүләринин олдуғуну тәсдиғ едир. Геид етмәк лазымдыр ки, бу чөкүнгүләр әзвәлки тәдгигатчылар тәрәфиндән сәһвән Сеноман мәртәбәсина дахил едилирди.

АГРОХИМИЯ

Д. А. РАСУЛОВ

**ПРЕВРАЩЕНИЕ ФОСФАТОВ В НЕКОТОРЫХ ТИПАХ ПОЧВ
ДАГЕСТАНСКОЙ АССР**

(Представлено академиком АН Азәрбайджанской ССР В. Р. Волобуевым)

По вопросу о подвижности фосфора в почве в литературе имеются данные, свидетельствующие о высокой степени закрепления фосфатов почвой [9, 6, 7 и 4], а в других, наоборот, указывающие на незначительную подвижность этого элемента [14, 2 и 11]. Основным фактором, влияющим на поглощение фосфатов, является степень насыщенности почв поглощенными основаниями [10, 8, 12, 3 и 13], структура почвы и размер ее агрегатов [9 и 1] и др.

Вопрос о поглощении и превращении фосфатов в предгорной зоне на выщелоченном черноземе и в горной зоне на горно-луговой черноземовидной почве Дагестана нами изучается впервые.

Изучение вопросов превращения фосфора в указанных почвах нами проводилось в лаборатории минеральных удобрений Института почвоведения и агрохимии АН Азәрбайджанской ССР.

Выщелоченный чернозем характеризуется следующими показателями.

Реакция почвы — слабощелочная, $pH=7,7$, содержание гумуса составляет 6,8%, валового азота — 0,3%, а легкогидролизуемого азота — 100 мг на 1 кг почвы. Содержание валового фосфора составляет 0,16%. Органическая форма фосфора составляет около 28%, а минеральная — 64,6% от валового. Если судить по содержанию валового фосфора, то эта почва средне обеспечена, однако содержанию доступной формы фосфора составляет лишь 3% от валового его запаса.

Содержание обменного калия K_2O составляет 4,2 мг на 100 г почвы.

Для горно-луговой черноземовидной почвы характерно: реакция почвы слабощелочная, $pH=8,1$, содержание гумуса — 4,7% и валового азота — 0,48%, а легкогидролизуемого азота — 51 мг на 1 кг почвы. Содержание валового фосфора колеблется в пределах от 0,11 до 0,13%, при этом органической формы фосфора — 20%, а минеральной — 70,0% от валового количества. Исследуемая почва бедна как валовым, так и легкодоступными для растений формами фосфора.

При закладке лабораторного опыта почва смешивалась с суперфосфатом из расчета 200 мг P_2O_5 (а при совместном внесении суперфосфата с навозом из расчета 236 мг P_2O_5) на 1 кг почвы.

Влажность поддерживалась до 60% от полной полевой влагоемкости. Повторность трехкратная.

Для анализа были взяты почвенные образцы в следующие сроки: через 3 дня, через 30, 60, 90 и 180 дней, после закладки опыта. Опыт заложили по следующей схеме: 1) контроль (почва без удобрения); 2) почва + 200 мг P_2O_5 (суперфосфат); 3) почва + 200 мг P_2O_5 + навоз.

Во взятых почвенных образцах были определены фосфаты, растворимые в воде, в 1%-ном растворе углекислого аммония — по Б. П. Мачигину, в 0,5%-ных N растворах уксусной и соляной кислоты — по Ф. В. Чирикову.

Как видно из рис. 1 и 2, превращение P_2O_5 суперфосфата как внесенного в отдельности, так и вместе с навозом в исследуемых почвах происходит очень быстро, и уже через 3 дня после закладки опыта содержание воднорастворимого фосфата достигает такого уровня, на котором оно сохраняется с небольшими отклонениями все последующие дни.

При этом наибольшее количество фосфатов сохранялось в воднорастворимой форме на выщелоченном черноземе и наименьшее в горнолуговой черноземовидной почвах.

Также видно, что из горнолуговой черноземовидной почвы 1%-ным раствором углекислоаммонийной вытяжкой извлечено P_2O_5 через 3 дня 14% от внесенного, несколько меньше на выщелоченном черноземе — 5,11%, тогда как при внесении суперфосфата совместно с навозом соответственно извлекалось: 12,8% и 7% от внесенного.

С увеличением времени процесс поглощения продолжается, и через 180 дней количество фосфатов, извлекаемых 1%-ным раствором углекислоаммонийной вытяжки, в исследуемых почвах снижается по сравнению с первыми сроками взятия проб.

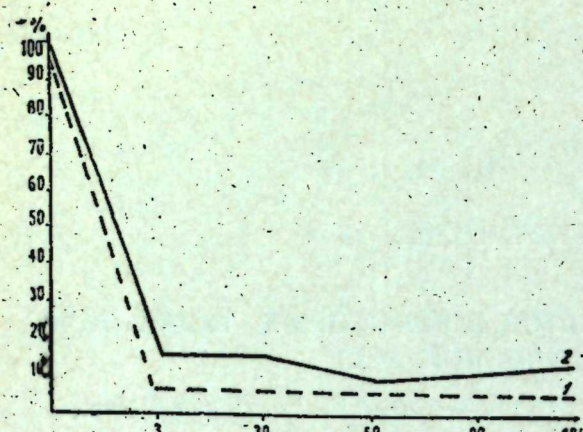


Рис. 1. Извлечение из почв фосфатов 1%-ным раствором углекислого аммония в % от внесенного количества).

1 — горнолуговая черноземная почва;
2 — выщелоченный чернозем.

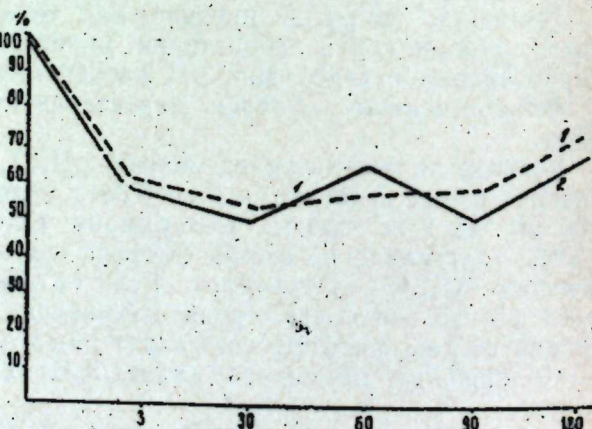


Рис. 2. Извлечение из почв фосфатов 0,5%-ным раствором уксусной кислоты в % от внесенного количества).

1 — горнолуговая черноземная почва;
2 — выщелоченный чернозем.

Следует отметить, что основная часть внесенного суперфосфата в почву как в отдельности, так и совместно с навозом, как видно из рис. 2, перешла в форму, растворимую в 0,5%-ном N растворе уксусной кислоты.

Так, через 3 дня после внесения суперфосфата в почву содержание фосфатов, извлекаемых 0,5%-ным N раствором уксусной кислоты на горнолуговой черноземовидной почве, составило 60% от внесенного, а на выщелоченном черноземе — 61,3%. Причем содержание P_2O_5 , извлекаемое этой вытяжкой в обеих почвах остается почти одинаковым в процентном отношении и через 30, 60 и 90 дней после закладки опыта, тогда как в конце опыта наблюдается некоторое увеличение содержания этой формы P_2O_5 .

Такая закономерность наблюдается и при совместном внесении суперфосфата с навозом.

Увеличение содержания фосфора в конце опыта как при внесении суперфосфата в отдельности, так и совместно с навозом в исследуемых почвах, как отмечает Р. К. Гусейнов (1962), по-видимому, зависит от усиленного развития микробиологического процесса.

Таким образом, фосфаты наиболее энергично поглощаются почвами в начале опыта, а в дальнейшем поглощение становится слабее, причем на выщелоченном черноземе оно протекает сравнительно быстрее, чем в горнолуговой черноземовидной почве.

На долю фосфатов, растворимых в 0,5%-ном N растворе соляной кислоты в исследуемых почвах, как видно из данных, падает незначительное количество — от 11,8 до 24% на выщелоченном черноземе от 4,1—26% на горнолуговой черноземовидной почве, причем содержание его в обоих типах почв в конце опыта резко уменьшается.

На основании изложенного можно сделать следующие выводы:

1. При внесении в исследуемые почвы суперфосфата как в отдельности, так и вместе с навозом процесс закрепления и превращения фосфата происходит в начале опыта, и уже через 3 дня после внесения удобрений основное количество их переходит в форму, не растворимые в воде.

2. Вследствие высокого содержания карбонатов на выщелоченном черноземе превращение и закрепление поглощенной формы фосфатов происходит наиболее энергично, но сравнительно слабее в горнолуговой черноземовидной почве.

3. В исследуемых почвах при взаимодействии суперфосфата с почвой, внесенной как в отдельности, так и вместе с навозом, воднорастворимая форма фосфатов через 3 дня после закладки опытов переходит в основном в фосфаты, растворимые в 0,5%-ном N растворе уксусной кислоты, причем в начале опыта сравнительно слабее, чем в последующие дни.

4. На долю фосфатов, растворимых в 0,5%-ном N растворе соляной кислоты, падает небольшое количество; причем превращение его в исследуемых почвах идет энергично в начале опыта, а с прохождением времени этот процесс резко падает.

ЛИТЕРАТУРА

- Адерихин П. Г. Влияние структуры почвы на поглощение фосфорной кислоты. «Почвоведение», 1951, № 4.
- Войкин А. М. Формы фосфатов, поглощение и превращение фосфорных удобрений в почвах Татарской АССР. Автореф. канд. дисс. Казань, 1959.
- Гусейнов Р. К. Превращение и передвижение фосфатов в основных типах почв Азербайджана. «Изв. АН Азерб. ССР», 1957, № 12.
- Гусейнов Р. К. Условия повышения эффективности фосфорных удобрений. Баку, 1960.
- Гусейнов Р. К. Агрономические свойства основных типов почв орошаемой зоны Азербайджана и условия минерального питания растений. Отчет за 1962 г. ИПА им. Азербайджана

АН Азерб. ССР. 6. Душинкин А. Н. Изучение превращения P_2O_5 фосфатов в почве и поступление фосфора в растения озимой ржи и овса. Отчет за 1953 г. Н. Тех. отдела АН СССР. 7. Замятин В. Б. Использование реакции изотопного обмена при изучении фосфора почв. „Почвоведение”, 1954, № 10. 8. Каинауков Б. Г. Поглощение в приазотном черноземе при различных способах внесения суперфосфата. „Почвоведение”, 1951, № 6. 9. Кудрин С. А. и Немаловская О. В. Вопросы агротехники и агрохимии хлопка и кормовых культур. Союз НИХИ, 1939. 10. Кудрин С. А. Содержание и подвижность фосфатов в сероземах различных материнских пород. „Почвоведение”, 1912, № 5—6. 11. Куртесов А. П. О превращении фосфора из органо-минеральной смеси и суперфосфата. „Земледелие”, 1932, № 2. 12. Любанская А. С. Накопление и превращение фосфора в почвах при длительном применении навоза и минеральных удобрений. „Вестник с/х науки”, 1953, № 5. 13. Мусабекова Э. С. Некоторые формы фосфатов каштановых почв при араксинской зоны и влияние поглощенных оснований на их изменение. „Изв. АН Азерб. ССР”, 1963, № 2. 14. Чуманов Я. И. Удобрение хлопчатника в условиях орошения. Сельхозгиз, 1953.

Институт почвоведения и агрохимии

Поступило 30. III 1964

Ч. Э. Ресулов

ДАГЫСТАН МССР-ИН БИР НЕЧЭ ТОРПАГ ТИПИНДЭ ФОСФАТЛАРЫН ЧЕВРИЛМЭСИ

ХУЛАСЭ

Дагыстан МССР-ин югуулмуш дағаттахи гара вэ дағлыг дағ-чәмэн гарајабәнзәр торпагларында фосфатларын чеврилмәси илк дәфә өјрәнилир.

Лабораторија шәрәнтиндә апардығымыз тәдгигат көстәрир ки, суперфосфатын айрылыгда вэ пејинлә бирликтә верилмәси нәтичәсендә фосфатларын әсас һиссәси тәчрүбәнин әvvәлиндә вэ З күндөн соңда суда чәтин һәлл олан бирләшмәләрә кечмишdir. Югуулмуш гара торпагларда карбонатлар чох олдуғундан бу просес дағ-чәмэн гарајабәнзәр торпаглара нисбәтән интенсив кедир.

Тәдгигат апардығымыз торпагларда суперфосфатын торпагла әла-гаси нәтичәсендә фосфатларын әсас һиссәси 0,5%-ли N сиркә туршусунда һәлл олан бирләшмәләрә кечмишdir. Бу просес тәчрүбәнин соң дөврләринә җаҳын кетдикчә сүр'әтләнир.

Әксине, 0,5%-ли N сиркә туршусунда һәлл олан фосфатлар тәч-рүбәнин әvvәлиндә интенсив кедир, соңында исә просес зәифләшири-

АЗЭРБАЙЧАН ССР ЕЛМЛӘР АКАДЕМИЈАСЫНЫН МӘРҮЗӘЛӘРИ
ДОКЛАДЫ АКАДЕМИИ НАУК АЗЕРБАЙДЖАНСКОЙ ССР

ТОМ XXI

№ 10

1965

БИТКИ ФИЗИОЛОГИЯСЫ

Б. З. Һүсејнов, Ф. С. Чәффәрова

ПАМБЫГ БИТКИСИНДЭ СУЛУКАРБОН МУБАДИЛӘСИНӘ НЕФТ МӘНШӘЛИ ҮЗВИ КҮБРӘЛӘРИН ТӘСИРИ

(Азәрбајҹан ССР ЕА академики Ч. М. Һүсејнов тәгдим еткенидир)

Кәнд тәсәррүфаты планынын јеринә јетирилмәси үчүн памбыг биткисинин мәңсүлдарлыгыны артырмаг лазымдыр ки, бунда да мүһүм шәртләрдән бири торпағын күбрәләнмәсидир.

Ч. М. Һүсејнов [1—4], Б. З. Һүсејнов [5,6], А. Х. Тағызадә, А. С. Һәсәнов [7—9] вэ башга алымләр субут етмишләр ки, кәнд тәсәррүфаты биткиләринә, о чүмләдән памбыг биткисинә аз мигдарда нефт мәншәли үзви күбрәләр вэ бој маддәсими (НБМ) тохумла, җаҳуд мәдән күбрәләри илә гарышдырыб торпаға вердикдә, онун физиология, биокимјәви просесләри сүр'әтләнир вэ мәңсүлдарлыг артыр.

Буну нәзәрә алараг, 1960—1961-чи илләрдә Азәрбајҹан ССР Елмләр Академијасы Нәбатат бағында векетасија еви шәрәнтиндә ишләниши гумбринин, битумлу сүхурун вэ НБМ-ин памбыг биткисинде сулукарбон мүбадиләсии тәсире өјрәнилмишdir.

Тәчрүбә 16 кг торпаг тутан векетасија габларында гојулмушдур. Үмуми фон олараг һәр килограм торпаға 0,1 г несабы илә N вэ P_2O_5 күбрәси верилмишdir. Нефт мәншәли үзви күбрәләр исә верилән ми-нерал күбрәләрин үмуми чәкисинин 10, 20, 30%-и несабы илә, бој маддәсиминын исә 0,1%-ли мәһлүлүндән 2,5; 5 вэ 7,5 cm^3 көтүрүлүб торпаға гарышдырылмыш вэ векетасија габларына долдурулмушдур.

Сулукарбон мүбадиләсими тәсире үчүн нүмүнәләр сәһәр saat 9-да көтүрүлмүш, ярпаг 15 дәгигә, көвдә вэ көк нүмүнәләри исә 25 дәгигә мүддәттәндә Кох апаратында өлдүрүлмүш вэ 55—60° С-дә гурдуулдугдан соңа анализ үчүн истигадә едилмишdir.

Сулукарбонлардан моношәкәрләр, сахароза вэ нишастанын мигдары чичәкләмә вэ илкјетишмә фазасында өјрәнилмишdir. Чичәкләмә фазасында анализыләрдән алынан рәгемләр 1-чи чәдвәлдә верилмишdir (1-чи чәдвәл).

1-чи чәдвәлин рәгемләри аյдын көстәрир ки, ишләниши гумбринин бүтүн дозалары ярпагларда моношәкәрләrin мигдарыны контрола-нишбәтән артырыр. Сахарозанын мигдарында исә әһәмијәтли дәјишик-лик нәзәрә чарпмыры. Ялныз орта дозада гумбрин верилән вариантларда бир гәдәр артыма тәсадүф едилir. Нишастанын синтези гумбринин тәсириндән даңа интенсивли кедир.

Битумлу сүхурла гидаланан вариантын биткиләриндә исә һәлл олан шәкәрләри мигдары контрола нисбәтән артыр, нишастанын мигдары исә, эксинә, азалыр. Нишастанын азалмасы онун һәлл олан шәкәрләре парчаланараг, дикәр органлара ахмасы вә һәмин вариантларын биткиләриндә азотлу бирләшмәләрин синтезинин интенсивли кетмәси илә әлагәдардыр.

1-ЧИ ЧӘДВӘЛ

Памбыг биткисинде сулукарбонларын мигдарына нефт мәншәли үзви күбрәләрин вә бој маддәсии тә'сири (гуру маддәје көрә фазалә)

Вариантлар	Чичәкләмә фазасы											
	Ярпаг			Көвдә			Көк					
	Сахароза -епонов -ицеб	Нишаста -епонов -ицеб	Ишеб	Сахароза -епонов -ицеб	Нишаста -епонов -ицеб	Ишеб	Сахароза -епонов -ицеб	Нишаста -епонов -ицеб	Ишеб			
Фон — NP	2,56	4,19	1,07	7,82	3,55	6,38	2,34	12,27	3,12	5,51	0,60	9,23
Ишләнимиш гумбрин 10% не- сабы илә 20%	2,90	4,19	2,10	9,09	3,69	6,34	2,81	12,94	3,41	6,51	0,67	10,59
30%	2,89	4,97	2,60	10,46	3,79	6,84	3,26	13,89	3,44	6,60	0,69	10,73
Битумлу сүхур 10% несабы илә 20%	3,12	4,21	1,73	9,06	3,59	7,54	2,12	13,25	3,26	6,77	0,56	10,59
30%	2,80	4,66	0,98	8,44	3,84	7,28	2,23	13,35	3,44	5,42	2,52	11,38
2,5 см ³ — 0,1%-ли бој маддә- си	2,84	4,90	1,00	8,74	4,10	7,55	3,24	14,89	3,59	6,34	2,61	12,57
5 см ³ — 0,1%-ли	2,56	4,42	0,55	7,53	3,41	7,91	1,88	13,20	3,55	6,37	2,07	11,99
7,5 см ³ — 0,1%-ли	2,40	4,67	1,83	8,90	4,10	6,94	3,26	14,30	3,36	5,71	1,26	10,33
	2,98	4,01	2,00	8,99	4,16	6,80	2,66	13,62	3,38	5,60	2,99	10,97
	2,93	4,94	1,22	9,09	4,25	6,70	3,34	14,29	3,36	5,59	1,44	10,39

Бој маддәсии тәтбиғ олунан һәр үч дозасы һәлл олан шәкәрләри вә хүсусилә нишастанын синтезинә мусбәт тә'сир едир. Ярпага нисбәтән көвдәдә тә'јин олунан шәкәрләрин мигдары хејли артыр.

2-ЧИ ЧӘДВӘЛ

Памбыг биткисинде сулукарбонларын мигдарына нефт мәншәли үзви күбрәләрин вә бој маддәсии тә'сири (гуру маддәје көрә фазалә)

Вариантлар	Илкјетишмә фазасы											
	Ярпаг			Көвдә			Көк					
	Сахароза -епонов -ицеб	Нишаста -епонов -ицеб	Ишеб	Сахароза -епонов -ицеб	Нишаста -епонов -ицеб	Ишеб	Сахароза -епонов -ицеб	Нишаста -епонов -ицеб	Ишеб			
Фон — NP	2,40	4,36	1,24	8,00	2,29	4,78	2,68	9,75	1,50	3,18	0,99	5,77
Ишләнимиш гумбрин 10% не- сабы илә 20%	2,63	4,46	2,68	9,77	2,63	6,14	1,09	9,96	2,10	3,96	1,83	7,89
30%	2,98	4,89	2,24	10,11	3,59	6,45	2,32	12,36	2,04	5,07	1,37	8,48
Битумлу сүхур 10% несабы илә 20%	2,64	4,48	2,19	9,51	3,10	6,91	1,76	11,77	2,35	4,09	0,79	7,23
30%	2,75	5,28	1,42	9,55	2,45	7,10	1,26	10,81	2,25	5,41	0,47	8,13
2,5 см ³ — 0,1%-ли бој маддә- си	2,80	5,61	1,57	9,98	3,10	6,91	3,57	13,61	2,29	5,55	0,53	9,37
5 см ³ — 0,1%-ли	2,89	6,71	1,6	11,26	2,50	6,26	1,65	10,41	2,10	3,48	0,75	6,33
7,5 см ³ — 0,1%-ли	3,12	4,16	2,66	9,94	,69	5,75	1,68	9,12	2,00	4,05	0,84	6,89
	2,93	4,91	2,52	10,31	3,00	7,30	4,13	14,43	2,63	4,9	3,36	9,48
	2,89	4,73	1,91	9,53	2,93	7,01	4,15	14,09	1,90	3,17	2,92	7,99

Көк системинде дә һәлл олан шәкәрләри мигдары артыр ки, бу да шәкәрләрин ярпаглардан көвдә вә көкә ахмасының субут едир.

Илкјетишмә фазасында апарылан анализләри нәтиҗәсендә көстәрди ки, нефт мәншәли үзви күбрәләри вә НБМ-ин тә'сириндән ярпагларда шәкәрләрин үмуми мигдары әvvәлки фазаја нисбәтән бир гәдәр артыр, бу исә әтибары илә сахарозаның несабына олмушдур. Сахарозаның бу артымы битумлу сүхурла гидаланан вариантын биткиләриндә даһа айдын нәзәрә чарпыр (2-ЧИ ЧӘДВӘЛ).

Көвдәдә дә моношәкәрләрнән мигдары тәчрүбә биткиләриндә контрола нисбәтән хејли артыр. Нишастанын мигдары исә јалның 20% несабы илә гидаланан битумлу сүхурда вә 0,1%-ли бој маддәсиин 5; 7,5 см³-лик вариантында артык әр инде артыыш, галан вариантында исә контрола нисбәтән азалышыр.

Нефт мәншәли үзви күбрәләрин вә НБМ-ин тә'сириндән көк системинде дә моношәкәрләрнән мигдары контрола нисбәтән хејли артыр. Гејд олунан күбрәләр сахарозаның артымын да мүсбәт тә'сир едир. Бу тә'сир оптималь дозаларда даһа айдын нәзәрә чарпыр. Нишастанын мигдарының ифадә едән рәгемләр кәлдикдә, демәк лазымдыр ки, гумбринин минимал вә оптималь дозаларыни нишастанын синтезинә мүсбәт тә'сир көстәрир. Контрола нисбәтән нишастанын максимум артымына оптималь вә максимал дозада НБМ верилән вариантын биткиләриндә тәсадүф едилir.

Үмумијәтлә, памбыг биткисинин мүхтәлиф инкишаф фазаларында сулукарбонларын тә'јин кәстәрди ки, тәтбиғ олунан күбрәләр бу мүнүм бирләшмәләrin синтезинә вә битки дахилиндә һәрәкәтнән мүсбәт тә'сир едир. Еңтијат маддәси олан нишастанын синтези һәмин күбрәләrin тә'сириндән интенсивли кедир. Бунун нәтиҗәсindә памбыг биткисинин мәһсүлдәрләры хејли артыр вә онун структурасы jaxышлашыр.

ЭДӘБИЙЛАТ

- Гусейнов Д. М. Удобрения из отходов нефтяной промышленности. Баку, 1949.
- Гусейнов Д. М. Применение отработанного гумбринса в целях повышения урожайности сельскохозяйственных культур. Изд-во АН Азерб. ССР, 1951.
- Гусейнов Д. М., Асадов Ш. Д., Алиев А. Ю. „ДАН Азерб. ССР“, т. XII, № 2, 1956.
- Гусейнов Д. М., Асадов, Алиев А. Ю. „ДАН Азерб. ССР“, т. XII, № 4, 1956.
- Гусейнов Б. З. Труды сессии, посвящен. 10-летию АН Азерб. ССР, 1957.
- Гусейнов Б. З., Джаярова Ф. С. „Изв. АН Азерб. ССР“, № 6, 1960.
- Таги-заде А. Х. „ДАН Азерб. ССР“, т. VII, № 12, 1951.
- Таги-заде А. Х. Тезисы докл. Всесоюзного совещания, посвященного вопросу применения ископаемых органических веществ в целях повышения урожайности с. х. культур. Баку, 1950.
- Таги-заде А. Х. и Гасанов А. С. Уч. зап. Азерб. гос. ун-та им. С. М. Кирова, № 4, 1961.

Ботаника институту

Алымышдыр 1 II. 1964

Б. З. Гусейнов, Ф. С. Джаярова:

Влияние органических удобрений нефтяного происхождения на углеводный обмен у хлопчатника

РЕЗЮМЕ

Изучался углеводный обмен в различных органах хлопчатника под влиянием органических удобрений в условиях вегетационных опытов.

Исследования показали, что в фазе цветения в листьях растений, получивших огработанный гумбрин, значительно повышается со дер-

жение моносахаров и крахмала. Наилучший эффект на синтез углеводов оказали минимальные и оптимальные дозы гумбриниа и НРВ. Применение указанных удобрений увеличивает содержание всех исследованных форм углеводов в стеблях растений.

Наибольшее повышение углеводов по сравнению с контролем наблюдалось в вариантах оптимальных доз отработанного гумбриниа, битуминозной породы и минимальной дозы НРВ.

Данные, показывающие содержание углеводов в корнях растений, свидетельствуют о большом накоплении их, в особенности сахарозы, под влиянием органических удобрений и НРВ. В фазе начала созревания у растений под влиянием органических удобрений и НРВ сохраняется повышенное содержание растворимых углеводов и крахмала. В результате повышенной интенсивности обменных процессов увеличивается продуктивность хлопчатника и улучшается структура его урожая.

АЗЭРБАЙЧАН ССР ЕЛМЛЭР АКАДЕМИЯСЫНЫН МЭРҮЗЭЛЭРИ

ДОКЛАДЫ АКАДЕМИИ НАУК АЗЕРБАЙДЖАНСКОЙ ССР

ТОМ XXI

№ 10

1965

ЛЕСНОЕ ПОЧВОВЕДЕНИЕ

Х. Н. ГАСАНОВ

БИОЛОГИЧЕСКАЯ АККУМУЛЯЦИЯ МИНЕРАЛЬНЫХ И
ОРГАНИЧЕСКИХ ВЕЩЕСТВ В ГОРНОЛЕСНЫХ ПОЧВАХ
ШЕМАХИНСКОГО НАГОРЬЯ¹

(Представлено академиком АН Азербайджанской ССР Г. А. Алиевым)

Биологическая аккумуляция веществ в лесном биогеоценозе имеет важное значение в процессе почвообразования, в повышении плодородия лесных почв и производительности леса. Несмотря на признание большой роли этого процесса, биологическая аккумуляция в горных условиях до сих пор изучалась крайне недостаточно. Биологическая аккумуляция веществ, за исключением одной работы [2], в горнолесных районах Азербайджана остается неизученной.

Для изучения процесса биологической аккумуляции на юго-восточном склоне Б. Кавказа (Пиргулинский лесной массив) нами заложены четыре пробные площади с охватом главнейших типов почв и леса (см. табл. 1). На каждой пробной площади определялись сезонные и годовые накопления опада и их химический состав.

Количество опада изучалось с опадуловителем, установленным на каждой пр. площади (8—10 штук размером 1 м²), а зольный состав собранных опадов определялся по методике Л. Н. Александровой [1].

Полученные данные (табл. 2) показывают, что количество ежегодного древесного опада в зависимости от погодных условий отдельных лет в грабовом лесу (пр. площадь 1) колебалось в пределах 3,02—3,38 т/га, в буковом лесу (пр. площадь 3)—в пределах 4,15—4,63 т/га, тисово-буковом лесу (пр. площадь 2)—до 5,0 т/га, в дубовом лесу (пр. площадь 4)—в пределах 4,05—4,44 т/га, причем в годичном цикле 80—86% его приходится на конец вегетационного периода. Это обусловливает значительный возврат в почву зольных элементов, накапливающихся в течение вегетационного периода в большом количестве.

Чистая зора (табл. 1) больше содержится в опаде граба, меньше — в опаде бука, еще меньше — в опаде дуба, что связано с биологическими особенностями названных древесных пород. В 1962 г. в опаде изученных древесных пород чистой зоры содержалось больше,

¹ Работа выполнена в лаборатории лесного почвоведения Института почвоведения и агрохимии АН Азерб. ССР под руководством академика Г. А. Алиева.

чем в предшествующем году, что связано с большей влажностью почв в 1962 г. по сравнению с 1961 г.

Таблица 1
Химический состав древесного опада (в абс. сухом весе)

Пробная площадь	Тип леса и почвы	Виды опада	Годы ис-следования	Органич. ве-щество, %	Чистая зо-ла, %	В % от чистой золы						
						SiO ₂	Al ₂ O ₃	Fe ₂ O ₃	CaO	MgO	MnO	
1	Грабовый овсянно-цвено-растительный лес на бурых горнолесных остаточно-карбонатных почвах, северный склон	Граб	1951	93,54	6,46	1,087	0,371	0,057	2,236	0,721	0,027	0,127
			1962	93,12	6,58	1,210	0,424	0,066	2,414	0,803	0,035	0,133
2	Тиссово-буковый овсянно-цвено-разнотравый лес на перегнойно-карбонатных горнолесных почвах, северный склон	Бук	1962	93,29	6,71	1,285	0,299	0,026	1,928	0,684	0,029	0,267
3	Мертвоопокровный букняк на перегнойно-карбонатных горнолесных почвах, южный склон	Бук	1961	93,8	6,00	1,080	0,216	0,019	1,845	0,474	0,027	0,245
			1962	93,45	6,45	1,227	0,264	0,020	2,020	0,647	0,021	0,273
4	Дубняк злаково-разнотравный на темно-коричневых горнолесных почвах, южный склон	Дуб	1961	94,81	5,19	0,812	0,173	0,056	2,328	0,446	0,031	0,215
			1962	94,49	5,51	0,93	0,178	0,048	2,437	0,588	0,029	0,207

В золе опада граба, бук и дуба преобладают CaO, SiO₂ и MgO, причем CaO в опаде граба и дуба накопилось больше, чем в опаде бук, а SiO₂ наоборот; что касается MgO, то его в опаде граба накапливается больше, чем в опаде бук и дуба. В опаде этих насаждений меньше всего содержится Al₂O₃, P₂O₅, Fe₂O₃ и MnO, причем полуторные окислы достигают максимума в опаде граба, а P₂O₅—в опаде бук. Такое различие обусловлено, с одной стороны, химическим составом соответствующих почв и биологическими особенностями древесных пород—с другой.

Таблица 2
Возврат зольных элементов и органического вещества в горнолесных почвах с древесным опадом (в абс. сухом весе)

Проб-ная пло-щадь	Виды опада	Годы ис-следова-ний	Годич-ный за-пас опа-да, кг/га	В кг/га от то-дичного опада	В кг/га от запаса чистой золы							
					Орган. вещ-ва, (гу-мус, азот)	Чис-тая зола	Si	Al	Fe	Ca	Mg	Mn
1	Граб	1961	3015	2820	195	15,30	5,93	1,19	48,19	13,09	0,62	1,66
		1962	3380	3147	233	17,69	7,56	1,58	58,35	16,34	0,93	1,92
2	Бук	1962	4660	3995	335	30,61	7,90	0,91	68,87	20,61	1,12	5,82
3	Бук	1961	4148	3894	254	20,97	4,74	0,55	56,19	1,85	0,86	4,43
		1962	4630	4327	303	26,59	6,50	0,64	66,87	16,92	0,75	5,51
4	Дуб	1961	4045	3835	210	15,37	3,70	1,59	67,33	10,88	0,97	3,79
		1962	4442	4197	245	19,33	4,18	1,49	77,98	17,75	1,00	4,40

В золе опада изученных насаждений всех зольных элементов, кроме MnO, во влажном 1962 г. содержалось больше, чем в сухом 1961 г. Зольность и зольные элементы, кроме CaO и P₂O₅, в опаде бука на северном склоне (пр. площадь 2) также выявлены больше, чем на южном (пр. площадь 3).

Представленные данные (табл. 1) показывают, что 93–95% опада названных насаждений составляют органические вещества (азот и гумус или перегной), причем с ежегодным опадом (табл. 2) органическое вещество больше аккумулируется на перегнойно-карбонатных горнолесных почвах под тиссово-буковыми (39,95 кг/га) и буковыми (3894–4327 кг/га) лесами, затем меньше на коричневых горнолесных почвах под дубовыми лесами (3835–4197 кг/га), еще меньше на бурых горнолесных остаточно-карбонатных почвах под грабовыми (2820–3147 кг/га) лесами, что соответствует запасам гумуса метрового слоя этих почв (соответственно 596–552; 513 и 411 м/га).

Следует отметить, что в таком же направлении уменьшаются запасы чистой золы, накопленные на почвах с древесным опадом (табл. 2). Однако с ним больше всего накапливаются щелочноземельные металлы и кремнезем, меньше алюминий и фосфор, еще меньше железо и марганец.

Следовательно, органическое вещество, чистая зола и отдельные зольные элементы в связи с повышением влажности почвы в 1962 г. накопились в большем количестве, чем в 1961 г., причем повышение зольности и зольных элементов в 1962 г. обусловлено увеличением количества опада и содержания минеральных веществ в них, а увеличение органических веществ—лишь увеличением массы опада.

Полученные данные (табл. 2) показывают, что в среднем за два года кальция на бурых остаточно-карбонатных почвах (пр. площадь 1) накапливалось 58,3 кг/га, на перегнойно-карбонатных почвах (пр. площадь 3)—61,5 кг/га, на коричневых почвах (пр. площадь 4)—77,7 кг/га; кремнезема соответственно: 16,5; 23,8; 17,7; магния—15,2; 14,4; 14,3; алюминия—6,8; 5,3; 3,4; фосфора—1,8; 5,0; 4,1; железа—1,4; 0,6; 1,5; марганца—0,8; 0,8; 1,0 кг/га.

Такое накопление зольных элементов значительно влияет на процесс почвообразования и плодородие лесных почв. Кремнезема и фосфора больше накапливается в перегнойно-карбонатных горнолесных почвах, магния, алюминия и железа—в бурых горнолесных остаточно-карбонатных почвах; кальция и марганца—в коричневых горнолесных почвах. Следовательно, такое накопление зольных элементов обусловило их преобладание в соответствующих почвах. Поэтому между валовым химическим составом изученных почв и зольными элементами опала названных насаждений установлена закономерность.

Из всего изложенного можно сделать следующие выводы:

1. Накопление в почвах органических и минеральных веществ в зависимости от содержания почвенной влаги в 1962 г. и на северном склоне установлено больше, чем в 1961 г. и на южном склоне.

2. С древесным опадом органические и минеральные вещества больше аккумулируются в перегнойно-карбонатных, затем меньше в коричневых и еще меньше в бурых остаточно-карбонатных горнолесных почвах.

3. В золе опада изученных древесных пород больше содержится CaO, SiO₂, MgO, затем меньше Al₂O₃ и P₂O₅, и еще меньше Fe₂O₃ и MnO.

4. Биологическое накопление веществ обусловило больший запас гумуса и высокое содержание SiO₂ и P₂O₅ в перегнойно-карбонатных

горнолесных почвах, CaO и MnO в коричневых горнолесных почвах, Al_2O_3 и Fe_2O_3 в бурых горнолесных остаточно-карбонатных почвах.

ЛИТЕРАТУРА

1. Александрова Л. Н. Методика зольного анализа при почвенных исследованиях. Пробл. сов. почвоведения, сб. 15, 1949.
2. Джадаров Б. А. Сезонная динамика накопления опада и разложения подстилки в буковых лесах южного склона Большого Кавказа. Изв. АН Азерб. ССР*, серия биол. и мед. наук, 1960, № 6.

Институт почвоведения и агрохимии

Поступило 15. IV 1964

Х. Н. Һәсәнов

Шамахы яйласынын дағ-мешә торпагларында минерал вә үзви маддәләрин биологи топланмасы

ХҮЛАСӘ

Мәгаләдә вәләс мешәси алтындакы карбонат галыглы гонур дағ-мешә торпагына, фыстыг вә гарачөһрә-фыстыг мешәләри алтында чүрүнтулү-карбонатлы дағ-мешә торпагларына вә палыц мешәси алтында гәһвәи дағ-мешә торпагларына мешә төкүнтүсү васитәсилә дахил олан минерал вә үзви маддәләрин динамики мигдарындан бәһс едиллir.

Тәдгигат нәтичәсүндә мүәjjән едилшишdir ки, үзви вә минерал маддәләр эн чох чүрүнтулү-карбонатлы торпаглара, нисбәтән аз гәһвәji, эн аз исә гонур дағ-мешә торпагларына дахил олур. 1961-чи илә нисбәтән 1962-чи илдә торпагын нәмлијинин чох олмасы нәтичәсүндә һәмин маддәләр чәнуб вә шимал јамачларында даңа чох топланышдыр.

Бүтүн һалларда мешә төкүнтүсүнүн 93—95%-ни үзви, 5—7%-ни исә минерал маддәләр тәшкىл едир, минерал һиссәдә исә CaO , SiO_2 , MgO даңа чох үстүнлүк тәшкىл едир.

ФИЗИОЛОГИЯ

Р. А. АБДУЛЛАЕВ, А. М. МУСТАФАЕВ

ВЛИЯНИЕ НАТРИЯ РЕНИЕВОКИСЛОГО НА СОКРАТИТЕЛЬНУЮ СПОСОБНОСТЬ МАТКИ

(Представлено академиком АН Азербайджанской ССР А. И. Каравым)

В последнее время редким элементам стали уделять все большее внимание с точки зрения изучения и применения их в медицинской практике для лечения различных заболеваний.

Как известно, рений относится к группе наиболее редких элементов. В доступной нам литературе почти нет сведений о действии рения на животный организм, за исключением вопроса о распределении рения в органах лабораторных животных после введения перената калия Рег ос. При этом было обнаружено наличие рения в печени, почках, сердце, селезенке и семенниках. В мозгу обнаружить рений не удалось (Еойнар, 1953).

Некоторые исследователи изучали физиологическое действие перената калия при введении его в организм животных. Физиологическое действие его оказалось ничтожным (очень слабое расширение внутренних органов) (Друце, 1951).

Изученный нами натрий рениевокислый представляет собой белый мелкокристаллический порошок, хорошо растворяющийся в воде и обладающий большой гигроскопичностью.

Мы исследовали токсичность этого препарата, а также действие его на сократительную способность матки и на время свертывания крови.

Токсичность определялась на белых мышах весом от 18 до 22 г, путем подкожного введения. Было установлено, что LD 50 для мышей составляет 18'0 мг/кг.

Действие натрия рениевокислого на сократительную способность матки изучалось на крысах, морских свинках, кроликах и кошках. Опыты были поставлены на изолированном роге матки и в опытах *in situ*. Всего было проведено 24 опыта, из них 17 на изолированном роге матки, а также 7 на интактных животных.

На изолированной матке опыты проводились по методу Магнуса. Животные предварительно обескровливались; после чего изолировались рога матки, а морских свинок забивали ударом по голове. Изолированный отрезок рога матки помещали в стаканчик объемом 100 мл с раствором Тироде при температуре +37°, через который непрерывно пропускался кислород.

Натрий рениевокислый исследовали в концентрациях 1:1000; 1:2000 и 1:10000. На изолированный рог матки вышеперечисленных животных исследуемое вещество оказывало отчетливое стимулирующее влияние. Причем, чем выше была концентрация исследуемого препарата, тем больший эффект наблюдался. Так, например, если раствор натрия рениевокислого 1:2000 вызывал явное увеличение амплитуды и частоты периодических сокращений (см. рис. 1), то при применении раствора 1:1000 эти сокращения делались более выраженным и более длительными (см. рис. 2).

Рис. 1. Запись сокращений изолированного рога матки крысы до и после введения натрия рениевокислого в концентрации 1:2000.

лаева-Субботина, под уретановым наркозом, введенным под кожу из расчета 1,2–1,4 г/кг веса животного.

Препарат вводился внутривенно из расчета 100 и 200 мг/кг. Как видно из рис. 3, натрий рениевокислый в примененных нами концентрациях приводит к отчетливому увеличению амплитуды сокращений интактной матки.

Для оценки действия натрия рениевокислого на матку в тех же опытах был введен и питуитрин.

Было обнаружено, что питуитрин активностью 3 ЕД/мл в количестве 1 мл в разведении 1:20 давал эффект, приблизительно сходный с рениевокислым натрием.

Опыты с изучением влияния натрия рениевокислого на время свертывания крови были проведены на 12 кроликах по методу С. Ц. Базарона. После определения времени свертывания крови в норме внутривенно, подкожно и Рег ос вводили натрий рениевокислый в дозе от 5 мг до 250 мг на 1 кг веса животного. Затем через каждые 15 минут в течение 2 часов брали пробы крови, причем все определения производили троекратно. В результате

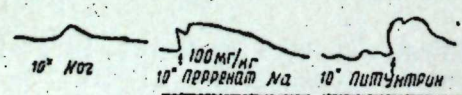


Рис. 1. Сравнительная оценка влияния натрия рениевокислого в дозе 100 мг/кг и 1 мл питуитрина в разведении 1:20, введенных внутривенно, на матку крольчат в опыте *in situ*.

было установлено, что препарат во всех примененных концентрациях ускоряет время свертываемости крови, причем оно зависит от путей введения препарата. Так, например, при введении в вену повышается свертываемость крови в среднем на 63%, при введении под кожу — на 60%, а Рег ос — на 48%.

При введении натрия рениевокислого внутрь, действие наступает позже, но держится более продолжительное время (около 2–3 часов), чем при других способах его введения.

Выводы

1. Токсичность натрия рениевокислого равняется 1800 мг/кг.
2. Натрий рениевокислый вызывает усиление периодических сокращений гладкой мускулатуры матки крыс, морских свинок, крольчат и кошек.
3. Натрий рениевокислый в примененных концентрациях ускоряет время свертывания крови.
4. Натрий рениевокислый можно рекомендовать для испытания в клинике, как вещество стимулирующее сокращения мускулатуры матки, а также как средство, ускоряющее время свертывания крови.

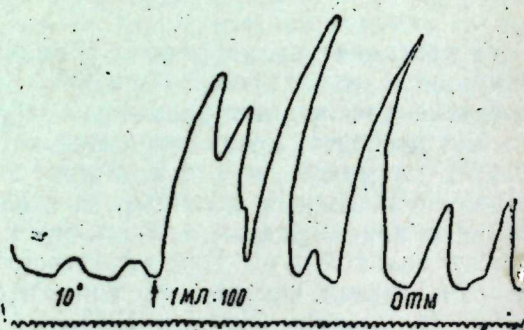


Рис. 2. Запись сокращений изолированного рога матки крысы до и после введения натрия рениевокислого в концентрации 1:1000.

ЛИТЕРАТУРА

1. Базарон С. Д. Советская медицина, 1950, № 12, стр. 25.
2. Войнар А. О. Биологическая роль микроэлементов в организме животных и человека. М., 1953, стр. 426.
3. Друце И. Рений. Л. — М., 1951.

Азербайджанский государственный медицинский институт

Поступило 6. X 1964

Р. Э. Абдуллаев, А. М. Мустафаев

Балалығын тәгәллүс габилијәтинә перренат натриумун тә'сири

ХУЛАСӘ

Сон вахтлар тәбабәтдә надир элементләрә даңа чох диггәт јетирилмәкдәдир. Чох аз тәдгиг едилмиш белә надир элементләрдән бири дә рениумдур. Она көрә дә мүәллифләр перренат натриумун зәһәрлилијинин балалығын тәгәллүс габилијәтинә вә ганын лахталана вахтына тә'сирини өjrәнмишләр.

Препаратын зәһәрлилији ағ сичанлар үзәриндә тәдгиг едилмиш вә мә'лум олмушшур ки, препаратын LD 50–1800 мг/кг-а берабәрdir.

Перренат натриумун балалығын тәгәллүс габилијәтинә тә'сирини өjrәнмәк учун сичувуллардан, дәниэ донузларындан вә ада довшанларындан истифадә едилмишләр. Бу мәгсәдлә hәмин heвванларын тәчрид едилмиш балалыг бујнузлары үзәринде Магнус вә *in situ* тәчрубәләрдә исә Николаев-Субботин методу тәтбиғ олуимушшур. Препаратын 1:1000, 1:2000 вә 1:10.000 нисбәтинде назырланмыш мәһлүллары сынағдан кечирилмишләр.

Мүәллифләр мүәjән етмишләр ки, бу препаратын мәһлүллары һәм тәчрид едилмиш балалыг бујнузунун, һәм дә интакт балалығын тәгәллүс амплитудасыны артырыр. Өзү дә мәһлүлүн гатылығы артдыгча балалығын тәгәллүс габилијәтина көстәрдији тә'сир дәрәчәси дә чохалыр. Препаратын тә'сирини гијмәтләндirmәк учун питуитринлә дә тәчрубә гпармышлар. Мә'лум олмушшур ки, 3 в/мл фәаллыға малик питуитринин тә'сири перренат натриумун тә'сири охшајыр.

Препаратын С. С. Базарон методуна әсасән, ада довшанлары үзәриндә ганын лахталана вахтына тә'сири дә өjrәнилмишләр.

Бу мэгсэдлэ препарат нэр *кг*. чакијэ 5 мг-дан 250 мг-дэк дозада вена дахилини, дэриалтына вурмуш вэ дахилэ вермишлэр. Мүஜээн едилмишдир ки, препарат ганын лахталанма габилијјетини артырыр, бу исэ препаратын һансы јол илэ дахил едилмэсиндэй асылзыдыр. Белэ ки, препарат *Per os* верилдикдэ лахталанма габилијјети орта несабла 48, дэриалтына јеридилдикдэ 60, вена дахилини вурулдугда исэ 63% артыр.

Мүэллифлэр апарылан тэчрүбэлэрэ әсасэн, перренат натриуму клиник сынагдан кечирмэji мэслэхээт көрүрлэр.

Г. М. ТАЛЫШИНСКИЙ и А. С. ГАСАНОВ

СОДЕРЖАНИЕ КАРОТИНА, РУТИНА И ВИТАМИНА С В ПЛОДАХ И ЛИСТЬЯХ ТУТОВЫХ ДЕРЕВЬЕВ

Биохимическое изучение шелковицы представляет большой интерес, поскольку ее ягоды и листья содержат много высококачественных питательных веществ.

О биохимическом составе плодов и листьев мы находим сведения у Сапожниковой, Кохаса, Адамяна, Демяновского, Церевитинова, Депешко [1–6] и др. Эти авторы указывают, что в плодах и листьях тутовых деревьев содержатся такие питательные вещества, которые позволяют использовать плоды в консервной и кондитерской промышленности для приготовления пищевых продуктов, а листья – в шелководстве.

Вопросу о содержании азотистых веществ, углеводов, минеральных веществ и жиров в листьях и соплодиях тутовых деревьев посвящен ряд исследований. Однако вопросы содержания каротина, рутина и витамина С в них не изучены вообще, в частности в почвенных и климатических условиях Апшерона. Это побудило нас заняться выяснением названных вопросов на примере сортов Ширван-тут, Шах-тут, Джир-тут и Хар-тут.

Деревья были пронумерованы, и с них через каждые шесть дней брались пробы для анализа. Листья исследовались с начала вегетации до опадения, соплодия – с образованием завязей вплоть до созревания и далее до климактерического периода. Пробы собирались в специальные сосуды и доставлялись в лабораторию в ручном рефрежераторе. Исследования начали через 25–30 минут после сбора материала. Представленные цифры получены в среднем за два сезона (1962–1963 гг.).

Содержание рутина и каротина в листьях и соплодиях всех сортов и витамина С в созревших плодах Хар-тута определялись по методу И. К. Мурри, а витамина С в плодах Ширван-тута и Шах-тута, а также в незрелых плодах Хар-тута – по видоизмененному методу Тильманса. Полученные данные приводятся в таблицах.

Из табл. 1 видно, что во время цветения (Ширван-тут – 6 мая, Шах-тут – 9 мая, Хар-тут – 19 мая) содержание изучаемых витаминов достигает своего максимума. Количество каротина и рутина в цве-

так Хар-тута почти в два раза меньше, чем в цветах белой шелковицы.

После цветения количество этих веществ колеблется, в созревших плодах каротин совершенно отсутствует. Падение рутина продолжается даже в созревших плодах, но постепенно, и доходит: в плодах Ширван-тута до 0,06%, Шах-тута—до 0,12%, Хар-тута—0,01%.

Таблица 1

Содержание витаминов в плодах тутовых деревьев
% (сухого веса.)

Дата взя- тия пробы	<i>Morus alba</i> L.			<i>Morus nigra</i> L.				
	Ширван-тут	Каротин	Рутина	Витамин С	Шах-тут	Каротин	Рутина	Витамин С
1. V	0,030	0,66	0,25	3. V	0,031	0,70	0,28	13. V
6. V	0,053	0,78	0,30	9. V	0,061	0,73	0,35	19. V
11. V	0,028	0,52	0,18	15. V	0,042	0,51	0,14	25. V
17. V	Следы	0,45	0,0	21. V	Следы	0,39	0,08	31. V
23. V	0,0	0,25	0,10	27. V	0,0	0,23	0,06	6. VI
29. V	0,0	0,20	0,11	2. VI	0,0	0,20	0,07	12. VI
5. VI	0,0	0,13	0,12	8. VI	0,0	0,17	0,08	18. VI
11. VI	0,0	0,12	0,14	14. VI	0,0	0,15	0,09	24. VI
17. VI	0,0	0,09	0,15	20. VI	0,0	0,14	0,10	30. VI
23. VI	0,0	0,06	0,17	26. VI	0,0	0,14	0,10	6. VII
								12. VII
								18. VII
								24. VII

Содержание витамина С до созревания плодов Ширван-тута (23. V), Шах-тута (28. V), Хар-тута (до 6. VI) уменьшается по мере их биологического созревания, увеличивается, но не достигает нужного количества во время цветения.

Таблица 2

Содержание витаминов в листьях тутовых деревьев (% сухого веса.)

Дата взя- тия пробы	<i>Morus alba</i> L.			<i>Morus nigra</i> L.		
	Ширван-тут	Каротин	Рутина	Шах-тут	Каротин	Рутина
18. IV	0,026	1,41	0,61	20. IV	0,026	1,41
24. IV	0,042	1,71	0,74	26. IV	0,031	1,97
6. V	0,058	2,25	0,66	8. V	0,68	2,8,
12. V	0,061	2,39	0,70	14. V	0,084	3,06
18. V	0,072	2,41	0,76	20. V	0,095	3,19
24. V	0,076	2,53	0,72	1. VI	0,048	2,56
30. V	0,074	2,52	0,62	6. VI	0,036	2,36
11. VI	0,069	2,27	0,53	12. VI	0,078	2,22
23. VI	0,063	2,10	0,44	18. VI	0,073	2,10
						0,57
						0,43
						1,07
						0,58
						16 V
						0,23
						0,72
						22. V
						0,083
						5,52
						1,48
						1,66
						0,108
						5,81
						1,78
						0,116
						6.0
						1,78
						0,100
						4,39
						1,17
						0,04
						3,73
						0,94
						0,67
						2,64
						0,67

Очень интересно, что содержание витамина С по мере созревания плодов увеличивается. Выяснено также, что содержание сухого вещества в зрелых плодах больше по сравнению с его начальным содержанием. Известно, что Хар-тут как позднеспелый сорт резко отличается от белой шелковицы.

Содержание витаминов в листьях тутовых деревьев

Дата взя- тия пробы	<i>Morus nigra</i> L.			<i>Morus alba</i> L.			<i>Morus nigra</i> L.		
	Ширван-тут	Каротин	Рутина	Витамин С	Шах-тут	Каротин	Рутина	Витамин С	
23. VII	0,045	1,45	0,37	30. VII	0,053	1,43	0,44		
10. VIII	0,041	1,31	0,30	11. VIII	0,043	1,26	0,38		
22. VIII	0,036	1,31	0,26	23. VIII	0,039	1,18	0,33		
10. IX	0,032	1,10	0,22	11. IX	0,030	1,19	0,2		
30. IX	0,026	0,70	0,19	21. IX	0,023	0,97	0,28		
10. X	0,006	0,65	0,13	1. X	0,010	0,79	0,16		
20. X	0,003	0,56	0,08	21. X	0,006	0,65	0,08		

В климактерическом периоде в плодах всех сортов каротина и витамина С не найдено, а количество рутина у белой шелковицы уменьшается до 50%, в плодах же Хар-тута он также отсутствует. По нашему мнению, снижение витаминов в климактерическом периоде в шелковице можно рассматривать как падение напряженности жизненных процессов.

Увеличение содержания изучаемых витаминов происходит по мере роста листа, причем их накопление зависит от видового и сортового разнообразия. Содержание каротина, рутина и витамина С представлено в табл. 2.

Сравнение табл. 1 и 2 показывает, что до цветения содержание каротина и рутина в листьях нарастает, во время цветения накопление ослабевает, а увеличение продолжается до биологического созревания листьев.

Содержание витамина С в листьях в сортах Ширван-тута, Шах-тута и Хар-тута до цветения повышается, во время массового цветения заметно уменьшается, после цветения увеличивается до биологического созревания листьев. С периода биологического созревания плодов количество витамина С в листьях заметно уменьшается, что свидетельствует о существовании корреляции между плодами и листьями в накоплении витамина С. Количество сухого вещества до конца вегетации увеличивается и в октябре достигает своего максимума. Содержание изучаемых витаминов в листьях плодовых тутовых деревьев (Ширван-тут, Шах-тут) больше чем в кормовых (Джир-тут) тутовых деревьях.

Сравнение видового разнообразия позволяет заключить, что у сорта Хар-тут содержание каротина, рутина и витамина С больше, чем в листьях белой шелковицы. Таким образом, Хар-тут занимает первое место среди представленных изучаемыми нами сортов. Выявлено, что в ясную солнечную и сухую погоду содержание витаминов в листьях и плодах утром (от 5 до 7 часов) и вечером (от 17 до 19 часов) бывает больше, чем в остальные часы дня. Падение изучаемых витаминов показано в табл. 3.

Из табл. 3 видно, что у Ширван-тута падение содержания каротина достигает 0,006%, рутина — 0,65%, витамина С — 0,13%; у Джир-тута каротина — 0,006%, рутина — 0,44%, витамина С — 0,14%; у Шах-тута каротина — 0,010%, рутина — 0,79%, витамина С — 0,16%; у Хар-тута каротина — 0,009%, рутина — 1,29%, витамина С — 0,21%.

Таблица 3

после созревания плодов % (сухого веса,)

alba L.				<i>Morus nigra L.</i>			
Джир-тут			Хар-тут				
Дата взятия пробы	Каротин	Рутина	Витамин С	Дата взятия пробы	Каротин	Рутина	Витамин С
26. VII	0,041	0,47	0,35	27. VII	0,045	2,60	0,54
7. VIII	0,039	1,32	0,30	8. VIII	0,076	2,23	0,48
19. VIII	0,031	1,03	0,25	20. VIII	0,031	2,05	0,40
1. IX	0,021	0,79	0,32	5. IX	0,029	1,57	0,34
21. IX	0,008	0,60	0,21	25. IX	0,009	1,29	0,21
1. X	0,006	0,44	0,14	5. X	0,002	0,98	0,12
10. X	0,004	0,36	0,07				

В опавших листьях Ширван-тута (20. X), Шах-тута (21. X), Джир-тута (10. X) и у Хар-тута (5. X) каротина и витамина С осталось меньше, чем рутина.

Выводы

1. По мере биологического созревания плодов содержание витамина С увеличивается у Ширван-тута с 0,10 до 0,17%, у Шах тута — с 0,06 до 0,10%, у Хар-тута — с 0,01 до 0,16%, причем каротин в них совершенно отсутствует. В климактерическом периоде в соплодиях изучаемых сортов тутовых деревьев каротин и витамин С отсутствуют, а рутина уменьшается в среднем на 50—100%.

2. Содержание витаминов по мере роста листьев увеличивается, а в старых зрелых листьях их содержание значительно меньше.

Существует определенная коррелятивная взаимосвязь между листьями и соплодиями накопления витамина С.

4. Для кормления шелковичных червей необходимо сбор листьев производить утром и вечером.

ЛИТЕРАТУРА

- Сапожников Е. В. Плодово-ягодные культуры как источник органических кислот. Труды по прикладной ботанике, генетике и селекции. Серия 3, № 55, 1934.
- Кохась Т. Р. Промышленное использование плодов белой шелковицы. Кож. и плодово-овощная пром. Пищепромиздат, 1937.
- З. Адамян И. С. Тут как лечебный факт. Азерб. мед. журнал, № 3, 1937.
- Демяновский С. Я., Доман Н. Г. Изменение химического состава листьев шелковицы в зависимости от степени их зрелости. «Биохимия», т. 9, вып. 6. 1944.
- Церевитинов Ф. В. Химия свежих плодов и овощей. М., 1919.
- Депешко И. Т. Химический состав и кормовые качества листьев в зависимости от сортов шелковицы. Укр. опыт. ст. шелководства, 1959, т. 4.

Н. М. Талышински, Э. С. Йесенов

Тут ағачларында мејвә вә յарпагларын бөјүмәси илә әлагәдар олараг каротин, рутина вә витамин С-нин дәжишмә мигдары

ХУЛАСӘ

Үмумијәтлә, Абшеронда тут ағачларының мејвә вә յарпагларында каротин, рутина вә витамин С-нин мигдары өјрәнилмәмишdir. Она көрә дә Абшеронда бигэн тут ағачларының мејвә вә յарпагларында каротин; рутина вә витамин С-нин дәжишмә мигдарыны өјрәнмәк гарышы мәгсәд гојулмушdur.

Апарылан ишләр эсасында ашағыдақылар мүәјјән едилмишdir. Тут мејвәләринин јетишмәси илә әлагәдар олараг витамин С-нин мигдары артыр, рутина азалыр, каротин исә олмур.

Өјрәнијимиз тут сортларының јетишмиш мејвәләринин климатик дөврүндә каротин вә витамин С олмур, рутины мигдары исә орта несабла 50—100% азалыр. յарпаглар бөјүдүкчә витаминләрин мигдары артыр, эксинә, гочалдыгча онларын мигдары азалыр.

Витамин С-нин топланмасында յарпагла мејвә арасында коррелјатив әлагә вардыр.

АРХИТЕКТУРА

Ю. Р. РАГИМЗАДЕ

К ВОПРОСУ КЛАССИФИКАЦИИ ПРИЕМОВ
ИСПОЛЬЗОВАНИЯ ЦВЕТА В СОВРЕМЕННОЙ
АРХИТЕКТУРЕ

(Представлено Академиком АН Азербайджанской ССР М. А. Усейновым)

Одно из важнейших отличительных свойств современной полихромии — органическое стремление к рациональному лаконизму. Безусловно, это свойство присуще архитектурным феноменам прошлого, однако в новой архитектуре его понимают по-иному. Лаконизм не имеет единицы измерения, и противопоставлять принципы японского зодчества мексиканскому нельзя. Под термином "лаконизм" следует понимать объективно необходимый отказ от накладных украшений, не участвующих в функциональной и пространственной организации композиции. Причина этого "антидекоративизма", пуритана (особенно жесткого в известной концепции "дома — машины для жилья") обычно усматривают в повсеместном влиянии новых социальных задач и тотальной "машинизации" не только общественного хозяйства, но и быта. Новые социальные задачи явились определяющими в отношении новых эстетических взглядов на композицию пространства и композицию цвета в частности. Тем не менее мы отмечаем определенную самостоятельность поисков формальной выразительности.

Логика рационального лаконизма нерасторжимо проявляется как в функциональном, так и в формально-композиционном аспекте. Композиционная роль цвета подразумевает:

- а) следование цвета общей композиции, т. е. организация объемно-пространственной структуры цветом;
- б) следование тектонике целого и деталей, т. е. предельное соответствие ясного цветового решения ясному тектоническому решению.

Конкретные черты:

1. Ограниченнное количество цветовых отношений

Оно в большой степени обусловлено геометрической чистотой противопоставленных в пространстве поверхностей. Если каждый компонент композиции классики имел самостоятельный пластический рисунок, со сложными градациями цветовых отношений, то теперь

гармоничной (в цвете) можно видеть только всю композицию, организацию локальных цветовых пятен, каждого из которых несет гораздо большую композиционную нагрузку.

2. Акцентировка композиции

В ряде случаев композиция строится на контрасте интенсивных и неинтенсивных поверхностей. Здесь акцентом ее становится интенсивное пятно (например, решенное интенсивными цветами панно в серо-черном холле или декорированная опора в ресторане гостиницы "Юность" в Москве). В других случаях основные функциональные поверхности контрастируют неинтенсивными цветами. В таких композициях а) или отсутствуют акценты; б) или акцентами служат нефункцио-

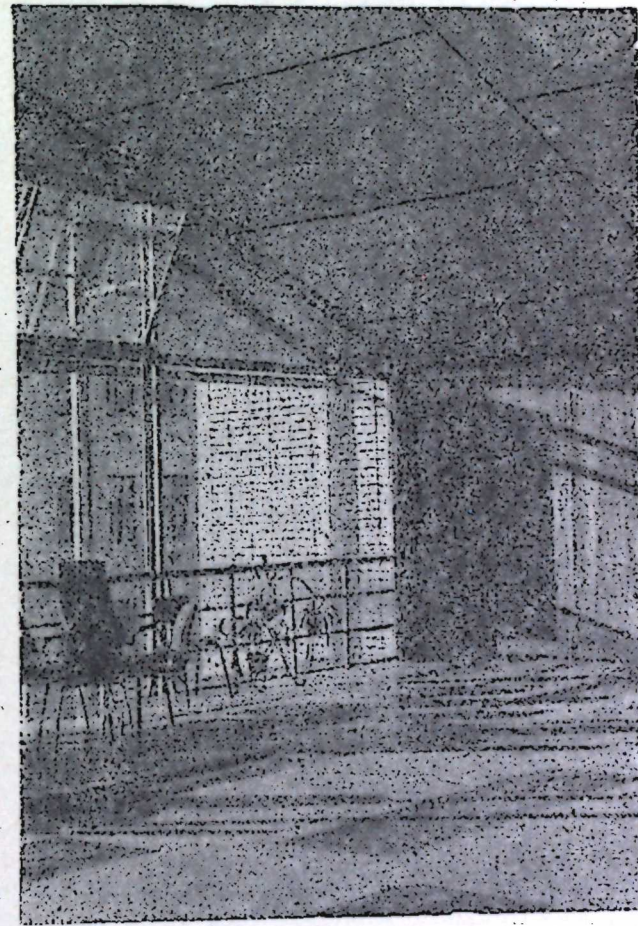


Рис. 1. Фойе кинотеатра «Россия». Москва.

нальные (декоративные) компоненты; в) или акцентируются функциональные элементы другой фактуры и материала (бетон-стеклянная перегородка; дерево-хромированная сталь). Во всех случаях акцентный материал имеет строго свое "рабочее место", определенное ritmom композиции (рис. 1).

3. "Графичные" и "живописные" композиции

"Графичными" мы можем назвать композиции, тяготеющие к ахроматическим светлотным контрастам и линейным акцентам на нейтральных фоновых плоскостях.

ральном фоне. Такие построения употребительны как в „камерных“ решениях (гостиница „Нерчинга“ в Вильнюсе), так и в „панорамных“ (жилой район „Муранув“ в Варшаве (рис. 2)).

„Живописные“ решения основаны на противопоставлении более близких по размерам и форме акцентных цветовых пятен; часто при отсутствии сквозной цветовой темы (интерьеры Дворца Рассвета в г. Бразилии).

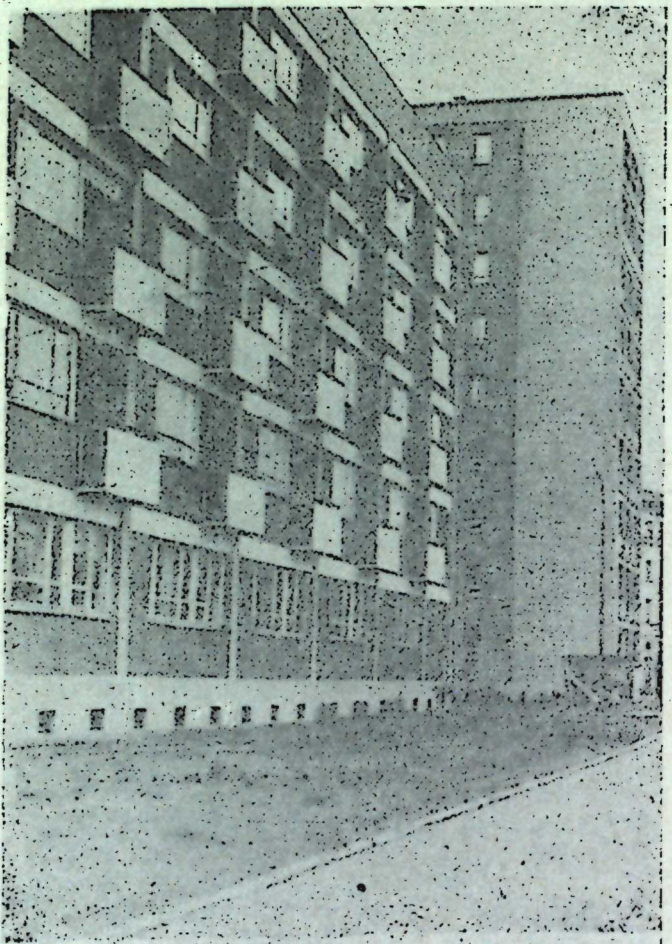


Рис. 2. Жилой район «Муранув» в Варшаве.

Распространены „смешанные“ (т. е. сопоставление „графического“ и „живописного“) композиции, особенно в цветовом решении панорам, группы зданий в микрорайоне, участки городских автомагистралей, крупные общественные центры (десятый квартал Н. Черемушек, проект застройки проспекта им. Калинина в Москве).

Наконец, крупные уникальные комплексы (например, площадь Трех Властей в Бразилии, панорама Чандигарха), имеющие сильное пластическое решение, зачастую ахроматичны. Это отнюдь не означает, что пластическое решение нельзя рассматривать как цветовую композицию, т. к. серый, белый и черный—совершенно реальные цвета. Данное деление условно: в зависимости от расстояния, с которого композиции обозреваются, характеристики могут переходить одна в другую.

4. Контрастное взаимодействие минимально насыщенных цветов

Этот прием, характерный для японского народного зодчества, ныне очень распространен. Прощедшим векам зачастую было свойственно противопоставление насыщенных цветов. (Отметим, что и в специальной литературе по цветоведению вопросы гармонии разрешались относительно цветов, близких к спектральным; о таких парах и триадах писал и Брюкке в 1878 г.). Говоря о преимуществах нового приема, мы не объясняем их модой или привязанностями к „приглушенным“ цветам; современная колористика убеждена в том, что именно такие цвета подчеркивают друг друга наилучшим образом. Не менее важно отметить, что эти цветовые соотношения создают оптимальные условия для работы.

5. Локализация цвета по плоскости

Диктуется сопротивлениями новой технической логики, а потому обеспечивает наилучшие условия восприятия функции и конструкции. (Такие понятия, как „экран“, „перетекающее пространство“, очевидно, появились благодаря этой тенденции). Локальному свойствен собирательный характер, и в новой архитектуре открываются новые возможности выражения красного. Нюансы и ритм выявляются только в пространстве; компоненты же выражены однозначно. В этом же плане мы подчеркиваем использование естественного цвета и фактуры конструктивного материала.

6. Цвет может выступать как лейттема—преимущественно в графических композициях—и как компонент—в „живописных“ и смешанных. В зависимости от ситуации („камерная“ или „панорамная“ композиция) меняются распределение ритмов и цветовые характеристики. Цвет как лейттему мы видим в экстерьерах Дворца съездов в Москве, на площади Республики в Бухаресте; как компонент—в реконструкции холла „Националь“ в Москве:

7. Новый „декоративизм“

При всем разнообразии декоративных элементов (тематические витражи, росписи, мозаичная облицовка, экраны, новые формы подачи зелени, орнаментика элементов прикладного искусства и др.) мы обязаны отметить общую для всех приверженность новому пространственному, пластическому и колористическому мышлению. Мы знаем, что в условиях массового индустриального возведения жилых комплексов пластические возможности зданий и природные условия далеко не всегда содействуют желанию архитектора создать эстетическую выразительность панорамы. Интенсивные цветовые акценты, вводимые им в композицию, следуют цели лучшего выявления ритмов, созданнию у наблюдателя чувства жизнерадостного динамизма (сомасштабности, уюта, разнообразия). Натуралистическая повествовательность в колористике, требующая обилия нюансов, и светотеневые переходы, никак не способствуют созданию единства большой композиции. Зная это, архитектор и художник стремятся к сознательному ограничению цветов, линий и форм во имя общей взаимосогласованности ритмических мотивов. Цветовое пятно становится локальным и плоскостным, рисунок геометрическим („обобщенным“, „стилизованным“). Безусловно, сами по себе эти новые тенденции не могли развиваться. Они вызваны, с одной стороны, с временным характером архитектура и появлением новейших материалов, с другой—худо-

жественным мышлением современника, его понятиями простоты и целесообразности, симметрии и четкости красивого. Эти рассуждения объясняют характер формальных поисков при проектировании различных сооружений: жилых, общественных, промышленных и транспортных.

8. Монументальные росписи, активно выступающие в синтезе искусства, подчинены тем же общим принципам, при всем разнообразии их тематики, творческих индивидуальностей и способов исполнения (рис.3).

9. Из приведенных ранее положений становится понятен и характер применения, особенно в интерьерах, элементов прикладного искусства — композиция с ними строится опять-таки на принципе динамического акцентного противопоставления: в смысле выбора формы, цвета и ритмического рисунка.

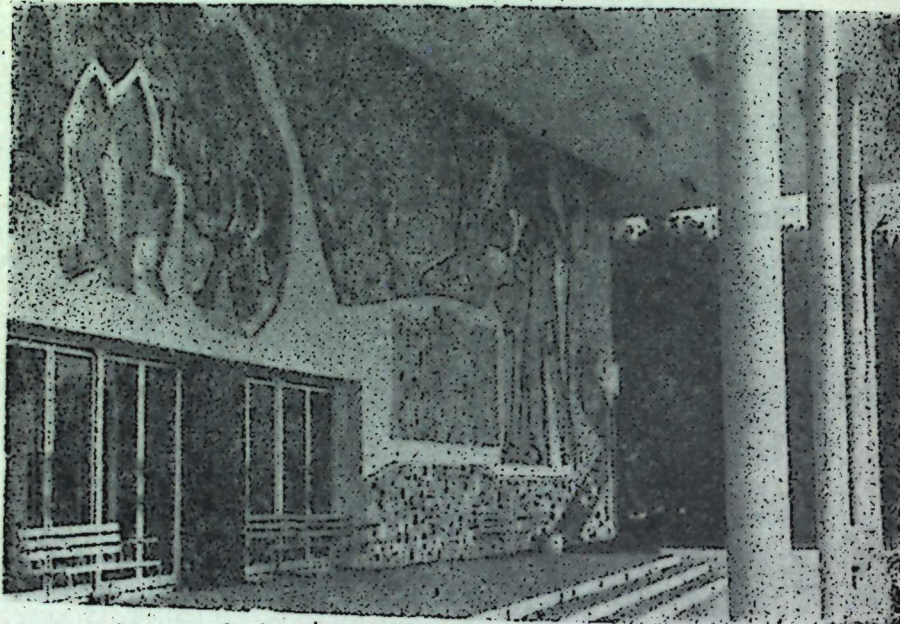


Рис. 3. Дворец пионеров. Панно входной группы.

10. Наконец, мы считаем необходимым подчеркнуть, что творческое освоение традиций во многом зависит от особого внимания современной архитектуры к ранним периодам каждой стилевой эпохи, к достижениям непосредственного народного творчества, а не к предельно развитым, канонизированным приемам. Это не апологетизация примитивизма: обилие активных тенденций, характеризующих начало каждого качественного скачка в человеческом сознании, всегда будет служить наиболее благодарным материалом для их нового осмыслиения в современных нам условиях. Более плодотворным было бы творческое развитие тенденций египтян доэхнатоновского периода, архаического искусства греков, русских зодчих XI века, романских и раннеготических витражей, Рубleva, японских мастеров. В том же, насколько подражание и повторения обединили классическую ясность, скажем, античной архитектуры, нас убеждают 3 классицистских цикла: римский, ренессанс и ампир.

J. P. Рәһимзәде

Мұасир мә'марлығда рәнкдән истифадә еділмәси үсуларының тәсніфаты мәсәләсінә айд

ХУЛАСӘ

Мәгаләдә мұасир мә'марлығда композицијаның аһәнкіни тәшкіл едән васиталәрдән бири олан рәнкдән истифадә олунмасы үсуллары өјрәнілір вә онун тәсніфаты тәклиф еділір. Күтләви инишаатын сәнағеләшдирилмәсіндә рәнкни дүзкүн тәтбиг еділмәси мәсәләләринин әһәмијәти көстәрилір. Тарихи мә'марлығ ән'әнәләринин жарадычы суреттә өјрәнілмәсіндә, вә мәнимсәнилмәсіндә халг жарадычылығының хұсуси жері вә әһәмијәти гејд олунур.

ШЭРГШҮНСЛҮҮ

ГУРБАНЭЛИ МӘҢӘММӘДЗАДЕ

„КЭНЗҮЛҮӨГАИГ“ АДЛЫ ӘЛЛАЗМАСЫ ВӘ ОНУН МҮЭЛЛИФИ
ҺАГГЫНДА

(Азәрбајҹан ССР ЕА академики Ә. Ә. Әлизадә тәгдим етмисидир)

Маһмуди Шәбүстәринин мұасири олан классик фарс-тачик әдәбијатында Гитали тәхәллүсү илә мәшһүр Пурјавәли—Маһмуди Хәрәзми, Пәһләван Маһмуд вә ја Маһмуд Пәһләван адлы шаир XIII—XIV әсрләрдә јашағыб јаратмыш бир шәхсијәтдир.

Эдэби мэнбэлэрийн өсчгэрийнээсээн, Maхмуди Харээмийн һэлээ өз дөврүндэ мэшнүүр олмуш вэ бу күнэ гэдээр бир чох тэһигатчыларын иэзэр-диггэтини өзүнэ, чэлб өтмиш вэ өтмэкдэдир. Мисал үчүн, XV əсрин мэшнүүр тээкирэчилэриндэн „Мэчалисүлүшшаг“ мүэллигинин, Maхмуди Харээмийн тэрчумеји-халына һэср өтдији ниссэдэн аjdын олур ки, о, Харээм вилајетидэ өз дөврүнүү көркэмийн пэhlэванла-рындан олмуш вэ тэсэввүф фэлсэфэс илэ таныш олдугдан соира, диггэтэлајиг көзэл рүбай вэ мэснэвилр յазмышдыр. Онун „Кэнзүл-һэгајиг“ мэснэвиси дэ диггэти чэлб өдөн эсэрлэриндэн биридир!

„Мәчалисүлүшшаг“ мүэллифинин көстәрдији гејдләрдән айдын олур ки, Маһмуди Харәзми јарадычылығы чох мәһсүлдар олмушшудур. Тәес-суфлә гејд етмәк лазымдыр ки, буқунәдәк онун һәјат вә јарадычылығы диггәтлә өјрәнилмәдиңдән, бир һиссә рүбайләриндән² вә она һәср едилмиш һека, әләрдән³ башга, айры әсәрләри барәсиндә дүзкүн мә’лумат әлдә едилмәмишdir. Һәтта бу алимин шаһ әсәри олан „Кәнзүлһәгајиг“ мәснәвиси дә бу күнә гәдәр елм аләминә намә’лум галмагда иди.

Шәмсәддин Сами „Гамусул Э’лам“ әсәринин бешинчи чилдинде „Гитали Маһмуд Пәhlәван“ ады алтында онун Харазм вилајетинин Оркәнч гәсәбәсинә мәнсуб едилмәсини көстәрмәклә бәрабәр⁴, јенә дә Ыемин әсәрин алтынчы чилдиндә Маһмуд-Пәhlәван ады илә шайирин Аәэрбајчаның Кәнчә шәhәриндән олдуғуну геjд едәрәк јазмышдыры:

² یہلو ان محمود، ریاعیات-ناشکنڈ ۱۹۶۲

³ К. Икрамов. Кэндирабаз Махмуд, повест, Бакы, 1965.

شمس الدين سامي «قاموس الاعلام» جلد ٥، استانبول ١٣١٤
ص: ٣٦٠٢

„Маһмуд Пәһләвән Иран шүәрасындан олуб, кәңчәли вә мәзиннәдән, Пурјавәлинин оғлұдур. „Кәнзүліг“ үйваны илә бир мәснәвиси вар-
дыры“...⁵

Бурада мәзиннә (наггында зәни вә шубһә олунан, шубһәли) сезү Пурјавәлинин ады илә бағылдырып. Белә ки, Шәмсәддин Сами һәмин мәнбәнин эсасында Мәһмуди Харәзмнин Пурјавәлинин оғлы кими көстәрмәсинә бахмајараг, о, тәһигигат заманы башга мәнбәләрдә Пурјавәли аднын она ләгәб олараг верилдијини көрдүкдә, мәһіз мәсәләнин дәринилекләринә вармамыш, јалиыз өз шубһәсини билдиришишdir.

Мәчалисүлүшшаг мүэллифинин Маһмуди Харәзминин тәрчүмә-
һалына һәср етдиши һиссәдән мә’лум олур ки, гәдим фарс-хәрәз ши-
вәсиндә олан „Пурја вә бә’зән әрәбләшмиш шәкилдә „Букјар“ сезү
баш пәһләван ләгәбидир ки, Маһмуд Пәһләвана верилмишdir⁶. Бун-
дан башга, „Фијасуллугат“ мүэллифи јухарыдақы мәғфүму даһа дол-
ғуи ифадә едән „Пурјавәли“ сезүүни, дөгрүдан да, Маһмуди Харәз-
минин ләгәби олдуғуну көстәрмишdir⁷. Бурадан айдын олур ки, Шәм-
сәддин Самиинин Маһмуди Харәзминин „Пурјавәли“ ләгәбини онун
атасының ады илә бағламасы сәһвдир.

Жұхарыда көстәрдијимиз кими, Шәмсәддин Сами. тәһигигат апарар-
кән Маһмуди Харәзми нағызында икі мұхтәлиф мәнбәjе тәсадуф етмиш-
дир. Лакин онун ады мәнбәләрдә мүрәккәб шәкилдә верилдији үчүн
тәдгигатчы бу мәнбәләри башга шәхсләрә аид биләрәк, ону ез әсәрин-
дә дөнә-дөнә көстәрмишdir. Лакин геjд етмәлиjик ки, Шәмсәддин
Саминин көстәрдији бу икі мәнбә heч дә бир-бирини рәdd етмир,
бәлкә дә тәкмилләшdirir. Чүни бу мәнбәләрдә тәрчумеji-наl, шे'р
пүмунәләри вә еләчә дә „Кәнзүлhәгаjig“ мәснәвиси Маһмуди Харәз-
миjә аид едилir. Буна көрә дә „Гамусул Э'lам“ын алтынчы чилдиндә
верилдији кими, Маһмуди Харәзминин Кәнчә шәhәриндән олдуғунын
көстәрилмәсі дә тәсадуфи деjил, бәлкә дә hәgигәtдир. Jә'ни ола би-
ләр ки, Маһмуди Харәзминин валидеjии кәнчәли олмуш вә мұhачирәт
дөврүндә Оркәнч гәсәбәсисидә јашадыглары үчүн шаир hәmin гәsәбәjе
мәнсуб едилмиш вә Харәзм вилаjетинде мәшhурлашаркәn, Харәзми ады
илә дә таныымышдыr.

Сон заманларда Тохтасин Җалалов тәрәфиндән Маһмуди Харәзминин бир сыра рұбайләринин Дашкәнд шәһәриндә чап едилмәсі илк тәшәббүс кими тәгdirәлајгидир. Лакин тәэссүф ки, әсәрдә бир нечә мәсәлә дүзкүн гојулмамышдыр. Белә ки, мүәллиф әсәрни мүгәддимәсіндә Маһмуди Харәзминин һәјат вә јарадычылығындан данышаркән, бир сыра чидди сәһівләре вә һабелә тәһрифләре ѡол бермишидир. Мисал учын, Маһмуди Харәзминин мәшһүр тәхәллүсү олан „Гитали“ сөзүнү мүәллифиң һәрбічи ләгәби кими һесаб етмәсі дүзкүн дејилдир⁸.

شمس الدين سامي «قاموس الاعلام» جلد ٦، استانبول ١٣١٦^٥
ص: ٤٢٢٤

«مجالس العشاق» مجلس ٣٨، ل. ٦ آذارب. ССР, ЕА, РЭФ, инв. №-746.

^٧ غیاث الدین رامپوری «غیاث اللہگات» رامپور ۱۲۴۲ ص: ۸۳

⁸ پهلوان محمود، رباعیان، داشکنند ۱۹۷۲ ص: ۲۷-۲۸

Мә’лум олдуғу кими, Маһмуди Харәзми өзүнүн илк рұбаиләриндә „Пурјавәли“ ләгәбини тәхәллүс јеринә ишләтмишdir:

بشنو سخن محمود پور یای ولی
از آدم نادر سنت مردی مطلب

(Тәрчүмәси: Маһмуд Пурјавәлинин сөзүнү ешиit. Надүрүст адамда кишилик ахтарма).

Лакин о, урған елминин дәринликләrinе вардыгдан соңra „Гитали“ тәхәллүсү илә дә танынышдыr:

دستى فميرسد چوقتالى بزلف يار
قوت زپاي و زور زبازو نهاده ايم¹⁰

(Тәрчүмәси: Гитали тәк жарын зүлфүнә һеч бир кәсип әли чатмаз. Она көрә ки, вар гүвәмизи бу јолда сәрф етмишик).

Сонralар исә камала чатаркәn, шөһрәt наминә ләгәb, тәхәллүс ишләтмәkдәn әл чәкмиш, өз шे’rlәrinдә садәчә олараг Маһмуд адны ишләтмишdir:

بروجان پدر بشنوز محمود

کزانش جز حقیقت نیست مقصود¹¹

(Тәрчүмәси: Атанын чан парәси кет Маһмuddan ешиit, һәgигәtдәn башга онун бурада айры мәгсәди јохдур).

Бундан башга, Маһмуди Харәзми һаггында „Гамусул Әlam“да көстәриләn вә јухарыда геjd едиләn иki мәибәnnin барәsinde Чалаловun белә bir геjdи вардыr: „Mәshhur түрк алими Шәmәddin Sami bәj „Гамусул Ә’lam“ын бешинчи вә алтынchi чилдләrinдә Pәhlәwan Maһmud хүсусунда bә’zi mә’lumatlar kәtiрmiшdir. „Гамусул Ә’lam“ын hәr иki чилдиндә bir чур mә’lumat верилди үчүn, биz бешинchi чилдәki парчаны көчүрмәkлә гәnaetlәndik“¹².

Мә’лум олдуғу кими, Чалалов „Гамусул Ә’lam“da җазылан бу иki мәiбәnnin mәzmuni vәiđetini, eләcә, dә bir-birinи tәkmiлlәshdiрdiини kөrәrәk, өз эsәrinde hәr иki mәnbedәni istifadә etmiшdir: o ja-zyr: „Pәhlәwan Maһmud Иранын mәshhur шaирләrinde болуб, Харәzmin Orkәnch гышлағыndandыr... „Kәnзүlhәgaјig“ namly mәsnәvisi bar...¹³. Lакин Чалалов бурада bilә-bilә Maһmudi Харәzminin Kәn-cha шeһeriндәn olmasы fikrinә kөz jummушdур.

Toxtasin Чалалovun эsәri барәdә daňa chox danышmag мүмкүндүr. Lакин bu mәsәlә bizim esas mәgсәdimizdәn kәnar олдуғу үчүn онун ўzәriндә kениш дајанмадыg.

Burada Maһmudi Харәzminin „Kәnзүlhәgaјig“ mәsnәvisi һаггында danышmag istәrdik. һazyrda бу эsәrin bir nusxә әljazmасы Aзәr-бајchan CCP EA Respublika Әljazmalarы фонdunda saхlanыlmagdadыr.

پھلوان محمود، رباعیات، داشکند ۱۹۷۲ ص: ۴۱

¹⁰ Jenә oрада, cәli: 28.

¹¹ вәr: 6a, Aзәr. CCP, EA, RәF инв. № B-335-11443

پھلوان محمود. رباعیات، داشکند ۱۹۷۲ ص: ۱۰

¹² Jenә oрада.

Әljazmасы шикәstә, nәstә'lig xәttile җazylmyshdyr:

بنام آنکه اوّل گرد آخرا

Башланыр: : (вәr. 16)

جه ميخواهي برىدر معرفت كوي

خدادان و خدابين و خداگوي

Әljazmасынын башланғычына бу сөзләr әlavә edilmishdir:

هذا الكتاب كنز الحقائق من كلام درر نظام شيخ محمود شبستری
«رحمه الله عليه».¹⁴

(Tәrчүmәsi: бу „Kәnзүlhәgaјig“ kitaby Maһmudi Шәbүstәrinin gijmәtli шe’rlәrindendir. Allaһ она rәhmet elәsin).

Әljazmасынын tәsвири ilә tanysh olarken, hәr шeјdәn әvvәl, onun башланғычыnda җazylan gejdәn esәrin Maһmudi Шәbүstәrije aid. edilmәsi nәzәr-diggәti chәlb edir. hәtta bu esәr Iранда чап olunaркәn Maһmudi Шәbүstәri onun mүәlliifi kimi kөstәrilmiшdir. Belәliklә, „Kәnзүlhәgaјig“ mәsnәvisi, Шәbүstәrinin esәrlәri сырасыna дахил edilmishdir. Һalbuки tәzkiрәlәrdә, eләcә dә әdәbi mәn-bәlәrdә mүхтәлиf mүәlliiflәrin „Kәnзүlhәgaјig“ adly aýrycha esәrlәri олmalaryna bахmaяrag, onlaryn hәc birinde Maһmudi Шәbүstәri belә bir esәrin mүәlliifi kimi kөstәrilmәmiшdir. Эксинә, bu esәrin mүәlliiflәrinin сырасыnda Maһmudi Харәzminin adyna tәsaduf edirik. Misal үчүn „Mәcalisulushaq“¹⁵, „hәfti iglim“¹⁶, „Рәjazulариф“¹⁷ mүәlliiflәri Maһmudi Харәzminin tәrчүmeji-nalы barәsinde jazdyglary nissәdә onun „Kәnзүlhәgaјig“ mәsnәvisindәn нүмүнә kөstәrilәn аshaғыdakы шe’rlәrinә rast kәlirik ki, әlimizdә olan әljazmасыныn мәтии ilә ejnidir:

چەنيکو گفت آن پیر سخنдан

بدان صوفى سر گرдан و حيران...

بكس مېسنا، آنچىت نىست درخور

مسلمانى همین است اى برادر¹⁸

(Tәrчүmәsi: O maһip ustad сәrkәrdan vә hejran sofi һaggynda nә jaхshy dedi...o ishi ki, өzүnә rәva bilmirсәn, bашgasыna da rәva bilmә. Ej гардаш Mүсәлmannыg бу demәkdir).

محمود شبستری «كنز الحقائق»¹⁴ вәr: 1B Aзәr. CCP, EA, RәF, инв. № B-335/1143.

مەclis: 38. Aзәr. CCP, EA, RәF, инв. № B-746.

مجالس العشاق¹⁵ вәr: 340B, Aзәr. CCP, EA, RәF, инв. № M-73.

رضاقلى خان ھدایت «رياض البارفين» تهران ۱۳۰۵ ص: ۱۲۴-۱۲۵.

вәr: 4B, Aзәr. CCP, EA, RәF, инв. № B-335/11443.

محمد خوارزمي¹⁶ «كنز الحقائق»¹⁷ вәr: 4. B Aзәr. CCP, EA, RәF, инв. № B-335/11443.

„Кәнәүлігәјиг“ мәснәвисиндән мисал үчүн көстәрдијимиз нұмунәдан башга, әлжазмасында мүәллифиң адыны – „Маһмуд“ вә тәхәллүсүнүн – „Гитали“ мәзмунуны ифадә едән бејтләрә раст кәлирик, бу да әсәрин Маһмуди Харәзмиә мәнсуб едилмәси үчүн даға әсаслы дәллидир. Беләниклә, кечмиш катибләр тәрәфиндән әсәр гәсдән вә ja билмәјәрек Шәбүстәријә аид едилмиш вә бунун нәтичесинде дә мұхәлиф дөврләрдә үзү көңүрүлмүш нұсхәләрдә һәмин сәһв мүддәсүн’и сурәтдә сабитләшмиш вә бизим зәманәмизә кәлиб чатыштыр. Мәңгілік һәмин тәһрифә көре әсәрин чапында вә бә’зи китабларын фөнгүлдәрдән Маһмуди Шәбүстәри онун мүәллифи кими көстәрилмишидир.

„Кәнәүлігәјиг“ мәснәвисинин јухарыдақы әлжазмасынын нагис олдуруну нәзәрә алараг, мәгаләнин мүәллифи әлдә етдиңи бир сыра нұсхәләр әсасында бу әсәрин елми-тәнгиди мәтнини һазырламаг үзрәдир. Беләниклә, көркәмли мүтәфәккир, алим вә шаирләримиздән бири олан Маһмуди Харәзми вә ja Кәнчәлинин һәјат вә јарадычылығы нағында кениш тәһигат апармаг бу күнкү елмимизин гарышында дуран вәзиғәләрдәндир.

Азәрбајҹан ССР ЕА
Республика Элжазмалары фонду

Алымышдыр 1, XII 64

Курбан Али Мухамедзәде

О рукописи „Канз-ул-Хагайег“ и ее авторе

РЕЗЮМЕ

В статье говорится о творчестве Махмуда Харезми, малоизвестного в научных кругах поэта и мыслителя XIII-XIV вв., о его сочинениях и, особенно, произведении „Канз-ул-Хагайег“. В статье категорически отвергается приписываемое другим лицам авторство этого сочинения, приводятся сведения об имени, псевдониме и о родине Махмуда Харезми.

МУНДӘРИЧАТ

Риазијјат

Р. З. Хәлилов а. Ади диференциал операторори өз-өзүнә ғошма жарыммән дуд кенишләнмәсінин спектрал функциясы нағында
К. А. Кәримов. Дәжишән сүр'әтли зәрбәдә динамик кәркинилек-деформация диаграммасының тә'жини

Механика

И. И. Семёнова. Дәжишән галынылыгы ғатын мұвазинәтиң аид ох бойнча симметрик мәсәләнин һәллина даир

Кимja

Б. Г. Зејналов, А. Ахундов. Наften карбоидрокенләринин оксидләшмәсіндән наften туршуларының синтези
А. Э. Бүнядзадә, З. Н. Зулфугаров, Е. Л. Булатникова. Алчаг температурда ҳромоксиди катализаторунун шиширакы илә стиленин пропиленлә әзүтилелә биркәполимерләшмәсі

Ұзви кимja

С. Ч. Мендиев, Р. Н. Рајев, Ж. Н. Гәмбәров, Э. Ш. Новрузов а. Мәтилтсиклөксанының оксидләшdirичи аммоилизы реакциясы васитесінде бензонитрилин алымасы

Кристаллокимja

М. Б. Хәйрөв, Х. С. Мәммәдов. Сейдозерит-ринкит типли турулуш варианты нағында

Кеолокија

М. И. Рустэмов. Мыгры-Ордубад гранитоид батолитиндә габбро-пегматитләр

Нефт қеолокијасы

Б. М. Листенгарте, Э. М. Садыков, Г. Э. Султанов. Жатының бир үниссесинин габагчадан ишләнілмәсінин онун сон нефтвәрмә әмсалына тә'сирі нағында

Кеофизика

Ш. С. Рәнимов, Ф. Т. Гулиев, К. Ш. Исламов. 23 апрел 1963-
чү ил Нуха-Варташен зәлзәлеси

3

8

11

14

19

23

26

30

34

38

85

Палеонтологија

Р. Э. Элиев. Чәнуб-шәрги Гафгазын алт тәбаширинин палеонтологи характеристикасына даир 40

Стратиграфија

Т. Аб. Һәсәнов, Т. А. Һәсәнов. Ахынчачай һөвзәсендә синемур чекүнтуләринин варлыгына даир (Азәрбајҹан) 44

О. Б. Элиев. Мардакерт районунда Конјак чекүнтуләринин тапылмасы һагында материаллар (Азәрбајҹан) 48

Агрокимја

Ч. Э. Рәсүлов. Дағыстан МССР-ни бир неча торпаг типнинде фосфатларын чөврилмәси 53

Битки физиологијасы

Б. З. Һүсәнов. Ф. С. Чәфәрова. Памбыг биткисинде сулукарбон мұбадиләсінә нефт мәншәлі үзви күбрәләрин тә'сирі 57

Мешә торпагшұнаслығы

Х. Н. Һәсәнов. Шамахы јајласының дағ-мешә торпагларында минерал вә үзви маддәләрин биологи-топпанимасы 61

Физиологија

Р. Э. Абдуллаев, А. М. Мустафаев. Балалығын тәгәллүс габилюитетинә перренат натриумиң тә'сирі 65

Биокимја

И. М. Талышински, Э. С. Һәсәнов. Тут ағачларында мејвә вә јарлагларын бөјүмәси илә әлагәдар олараг каротин, рутин вә витамин С-нин дәйніш мәнгдары 69

Ме'марлыг

Ж. Рәһимзадә. Мұасир ме'марлыгда рәнкдән истифадә едилмәсі усулдарының таснифаты мәселеңинде аид 74

Шәргшұнаслығ

Гурбанәли Мәнәмәдзадә. «Қәнзүлһәгајиг» адлы әлјазмасы вә онун мүәллифи һагында 80

СОДЕРЖАНИЕ

Математика

Р. З. Халирова. О спектральной функции полуограниченного самосопряженного расширения обыкновенного дифференциального оператора 3

К. А. Керимов. Определение динамической диаграммы (ϵ) с переменной скоростью соударения 8

Механика

И. И. Семенова. К решению осесимметричной задачи о равновесии слоя переменной толщины 11

Химия

Б. К. Зейналов и А. А. Ахундов. Синтез нафтеновых кислот прямым окислением нафтеновых углеводородов 14

А. А. Буинятзаде, З. Г. Зульфугаров, Э. Л. Булатникова. Низкотемпературная сополимеризация этилена с пропиленом и α -бутиленом на окиснохромовом катализаторе 19

Органическая химия

С. Д. Мектисев, Р. Г. Ризаев, Ю. Г. Камбаров, А. Ш. Новрузова. Получение бензонитрила окислительным аммонолизом метилциклогексана 23

Кристаллохимия

М. Б. Хеиров, Х. С. Мамедов. О возможных вариантах структур сейдозерит-риккитового типа 26

Геология

М. И. Рустамов. Габбро-пегматиты мегри-ордубадского гранитоидного батолита 30

Геология нефти

Б. М. Листенгарден, А. М. Садигов, Ч. А. Султанов. О влиянии опережающей разработки отдельной части залежи на ее конечную нефтеотдачу 34

Геофизика

Ш. С. Рагимов, Ф. Т. Кулиев, К. Ш. Исラмов. Нуха-Варташенское землетрясение 23 апреля 1963 г. 38

Палеонтология

Р. А. Алиев. К палеонтологической характеристике нижнего мела юго-восточного Кавказа 40

Стратиграфия

Т. Аб. Гасанов, Т. А. Гасанов. О присутствии синемурских отложений в бассейне р. Ахунджачай (Азәрбайджан) 44

О. Б. Алиев. Материалы к установлению конъякских отложений в Мардакертском районе (Азәрбайджан). 48

Агрохимия

Д. А. Расулов. Превращение фосфатов в некоторых типах почв Дагестанской АССР	53
--	----

Физиология растений

Б. З. Гусейнов, Ф. С. Джадарова. Влияние органических удобрений нефтяного происхождения на углеводный обмен у хлопчатника	57
---	----

Лесное почвоведение

Х. Н. Гасанов. Биологическая аккумуляция минеральных и органических веществ в горнолесных почвах Шемахинского нагорья	61
---	----

Физиология

Р. А. Абдулаев, А. М. Мустафаев. Влияние патрия-рениевокислого на сократительную способность матки	65
--	----

Биохимия

Г. М. Талышинский и А. С. Гасанов. Содержание каротина, рутина и витамина С в плодах и листьях тутовых деревьев	69
---	----

Архитектура

Ю. Г. Рагимзаде. К вопросу классификации приемов использования цвета в современной архитектуре	74
--	----

Востоковедение

Курбан Али Мухаммедзаде. О рукописи «Канз-ул-Хагайег» и ее авторе	80
---	----

ПРАВИЛА ДЛЯ АВТОРОВ

1. В «Докладах Академии наук Азербайджанской ССР» помещаются краткие сообщения, содержащие законченные, еще не опубликованные результаты научных исследований, имеющих теоретическое или практическое значение.

В «Докладах» не публикуются крупные статьи, механически разделенные на ряд отдельных сообщений, статьи полемического характера без новых фактических данных, статьи с описанием промежуточных опытов без определенных выводов и обобщений, работы непринципиальные, описательного или обзорного характера, чисто методические статьи, если предлагаемый метод не является принципиально новым, а также статьи по систематике растений и животных (за исключением описания особо интересных для науки находок).

Статьи, помещаемые в «Докладах» не лишают автора права последующей публикации того же сообщения в развернутом виде в других изданиях.

2. Поступающие в «Доклады» статьи рассматриваются Редакционной коллегией только после представления их академиком по специальности.

Статьи членов-корреспондентов Академии наук Азербайджанской ССР принимаются без представления.

Редакция просит академиков при представлении статьи указывать дату получения ее от автора, а также наименование раздела, в котором статья должна быть помещена.

3. В «Докладах» публикуется не более трех статей одного автора в год. Для академиков устанавливается лимит 8 статей, а для членов-корреспондентов Академии наук Азербайджанской ССР — 4 статьи в год.

4. «Доклады» помещают статьи, занимающие не более четверти авторского листа, около 6—7 страниц машинописи (10 000 печатных знаков), включая рисунки.

5. Статьи, написанные на азербайджанском языке, должны иметь резюме на русском языке и наоборот.

6. В конце статьи должны быть указаны название научного учреждения, в котором произведена работа, и номер телефона автора.

7. Опубликование результатов работ, проведенных в научных учреждениях, должно быть разрешено дирекцией научного учреждения.

8. Статьи (включая и резюме) должны быть написаны на машинке через два интервала на одной стороне листа и представляются в двух экземплярах. Формулы должны быть вписаны четко и ясно, и при этом прописные буквы должны быть подчеркнуты (черным карандашом) двумя черточками снизу, а строчные — сверху; буквы греческого алфавита надо обводить красным карандашом.

9. Цитируемая в статье литература должна приводиться не в виде подстрочных списков, а общим списком (без новострочия), в алфавитном порядке (по фамилии автора), в конце статьи с обозначением ссылки в тексте порядковой цифрой. Список литературы должен быть оформлен следующим образом:

а) для книг: фамилия и инициалы автора, полное название книги, номер тома, город, издательство и год издания;

б) для статей в сборниках (трудах): фамилия и инициалы автора, заглавие статьи, название сборника (трудов), том, выпуск, место издания, издательство, год, страница;

в) для журнальных статей: фамилия и инициалы автора, заглавие статьи, название журнала, год, том, номер (выпуск), страница.

Ссылки на неопубликованные работы не допускаются (за исключением отчетов, диссертаций, хранящихся в научных учреждениях).

10. На обороте рисунков должны быть указаны фамилии автора, название статьи и номер рисунка. Отпечатанные на машинке подпись к рисункам представляются на отдельном листе.

11. Редакция выдает автору бесплатно 15 отдельных оттисков статьи.

Подписано к печати 24/XII 1965 г. Формат бумаги 70×108^{1/16}. Бум. лист. 2,75.
Печ. лист. 7,54. Уч.-изд. лист. 6,3. ФГ 01580. Заказ 197. Тираж 870. Цена 40 коп.

Типография «Наука» Госкомитета по печати Совета Министров Азерб. ССР,
Баку, Рабочий проспект, 96.

К СВЕДЕНИЮ АВТОРОВ!

Постановлением Совета Министров СССР от 18. IX 1959 г. № 418 и последующим решением Государственного комитета по координации научно-исследовательских работ СССР и Президиума Академии наук СССР редакции научных и научно-технических журналов обязаны представить в ВИНИТИ рефераты публикуемых материалов.

ИНСТРУКЦИЯ ПО СОСТАВЛЕНИЮ РЕФЕРАТОВ ДЛЯ АВТОРОВ ОТЕЧЕСТВЕННЫХ ПЕРИОДИЧЕСКИХ ИЗДАНИЙ

В настоящей инструкции сформулированы требования к содержанию и оформлению рефератов, которыми и следует руководствоваться.

ТРЕБОВАНИЯ, ПРЕДЪЯВЛЯЕМЫЕ К РЕФЕРАТУ

1. В реферате кратко излагается основное содержание статьи. Реферат должен дать читателю представление о характере освещаемой работы, оригинальности постановки вопроса, методике проведения исследования и его основных результатах.

2. Реферату должно предшествовать библиографическое описание в следующем виде: название статьи, фамилия и инициалы автора, название журнала, где помещается статья. Текст реферата помещается непосредственно с изложением существа работы без повторения заголовка. Форма изложения материала не обязательно должна повторять форму изложения оригинальной статьи.

3. Если оригинал содержит большое количество цифровых данных, их следует обобщить и систематизировать.

4. Средний объем реферата 1,5—2 стр. машинописного текста, отпечатанного через два интервала на белой писчей бумаге обычного формата (30×21) в двух экземплярах с полем 4 см с левой стороны.

5. Таблицы, схемы, графики и пр. могут быть включены в том случае, если они отражают основное содержание работы или сокращают текст реферата. Сообщение о наличии в реферируемой работе таблиц, схем, графиков, фотографий, карт, рисунков, необходимо давать в конце реферата. Например, табл. 2, илл. 10.

6. Формулы приводятся только в том случае, если они необходимы для понимания статьи. Громоздкие математические выражения помещать не следует. Формулы вписывать четко, не изменяя принятых в оригинале обозначений величин. Формулы и буквенные обозначения вписываются черными чернилами во второй экземпляр. Вписывание формул и буквенных обозначений, а также исправление замечанных опечаток в первом экземпляре не делается.

7. В конце реферата в квадратных скобках указывается название учреждения или предприятия, в котором автор реферируемой работы (если эти данные приводятся в статье) провел работу. Подпись автора и дату написания реферата следует ставить в левом нижнем углу на обоих экземплярах реферата.

Научно-методический отдел
ВИНИТИ